

NGU-rapport 88.170

Geofysisk og geologisk tolkning
av regionale og lokale strukturer innenfor
kartbladet 2033-4 Iesjåkka,
Karasjok kommune, Finnmark

(tilleggsrapport til NGU-rapport nr. 86.209)

Rapport nr.	88.170	ISSN 0800-3416	Åpen/Forsiktig til
Tittel: Geofysisk og geologisk tolkning av regionale og lokale strukturer innenfor kartbladet 2033-IV Iesjåkka, Karasjok kommune, Finnmark (tilleggsrapport til NGU-rapport 86.209).			
Forfatter:	Oppdragsgiver:		
Lars Petter Nilsson	NGU - Finnmarksprogrammet		
Fylke:	Kommune:		
Finnmark	Karasjok		
Kartbladnavn (M. 1:250 000)	Kartbladnr. og -navn (M. 1:50 000)		
Karasjok	2033-IV Iesjåkka		
Forekomstens navn og koordinater:	Sidelall: 92 Pris: 170,- Kartbilag: 3		
Feltarbeid utført: 1985	Rapportdato: 23.nov 1988	Prosjektnr.: 1886.41.22	Seksjonssjef: <i>J. Lindal</i>
Sammendrag: I rapporten presenteres 23 frekvensfordelingsdiagrammer for in-situ målt magnetisk susceptibilitet med en diskusjon av måleresultatene. Videre framlegges 14 modellberegnede magnetiske profiler, geologiske tolkninger til disse, samt en detaljert tolkning av magnetiske strukturer og elektromagnetiske ledere (kart nr. 3).			
Emneord	geofysikk	modellforsøk	fagrapport
berggrunsgeologi	tolkning		
magnetometri	petrofysikk		

INNHOLDSFORTEGNELSE	Side
1. Innledning	4
2. Sammenstilling av måledata fra in-situ susceptibilitetsmålingene	5
2.1. Generelt	5
2.2. Kommentarer til de enkelte diagrammer	6
3. Tolkning av magnetiske anomalier langs 14 utvalgte profiler ved hjelp av modellberegninger	11
3.1. Innledning	11
3.2. Kommentarer til de enkelte profiler	11
4. Tolkning av magnetiske strukturer og elektromagnetiske (E.M.) ledere (kart 3)	19
4.1. Generelt	19
4.2. Magnetiske og elektromagnetiske karakteristika ved de forskjellige geologiske formasjoner innen Iesjåkkabladet (ref. geologisk manuskriptkart Iesjåkka, Often et al. og Often 1985)	19
5. Referanser	22
Tabell 1: Fortegnelse over lokaliteter for in-situ målt susceptibilitet	23
Tabell 2: Fortegnelse over prøver med laboratoriemålt tetthet og magnetisk susceptibilitet	24
Frekvensdiagrammer over in-situ målt magnetisk susceptibilitet	32
Magnetiske modellberegninger	56

KARTBILAG

Kart 1: Lokalisering av 14 modellberegnede profiler på helikoptermålt kart over magnetisk totalfelt M. 1:160 000

Kart 2: Lokaliteter for in-situ målt magnetisk susceptibilitet og lokaliteter for lab.målte prøver (LPN 85). M 1:50 000

Kart 3: Tolkning av magnetiske strukturer og elektromagnetiske (E.M.)-ledere. M 1:50 000

1. INNLEDNING

Denne rapporten er en tilleggsrapport til rapport 86.209 som er en sammenstilling av et større arbeide som bl.a. inkluderer 2 diplomoppgaver ved NTH. Rapport 86.209 er forfattet av geofysiker Reidar D. Midtun, NGU på grunnlag av feltarbeid og tolkningsarbeid utført vesentlig av R.D. Midtun (kbl. Karasjok og Bæivasgiedde), Tore Kjølseth (kbl. Galmatskaidi) og L.P. Nilsson (kbl. Iesjåkka). Undertegnede utførte in-situ magnetiske susceptibilitetsmålinger innenfor Iesjåkkakartbladet i tidsrommet 6. juli - 31. august 1985, dels alene, dels sammen med tekniker Ronald Brattberg og dels sammen med ingeniør Jomar Staw, begge NGU. I alt ble det benyttet mellom 15 og 20 dagsverk til målingene. I tillegg til feltmålingene ble det tatt 129 knakkprøver for susceptibilitetsmålinger i petrofysisk laboratorium ved NGU i Trondheim. Fra tidligere var det målt susceptibilitet på 226 knakkprøver innsamlet av en rekke NGU-medarbeidere i årene 1981-84. Disse tab.-målingene sammen med feltmålingene utgjør en viktig del av basis for tolkningen av de magnetiske strukturene innenfor det helikoptermålte området som for kartblad Iesjåkkas vedkommende dekker hele kartbladet med unntak av gneis- og kvartsittområdet nord for elven Iesjåkka og vest for høydedraget Iesvarri - Roussavarri (nordlige tredjedel av kartbladet).

De data og tolkninger som her presenteres er en oppsummering av resultater (måledata) fra feltarbeidet sommeren 1985, bearbeiding av det innsamlede materialet samt tolkning av det helikoptermålte magnetiske kartet og det elektromagnetiske (E.M.) kartet.

Samlet ville dette arbeidet, som bl.a. omfatter mye datapresentasjon, spreng rammen for rapport 86.209 som i tillegg til Iesjåkkakartbladet omfatter nabokartbladene mot henholdsvis Ø, SØ og S, d.v.s. kbl. Karasjok, Bæivasgiedde og Galmatskaidi. Av den grunn ble bare et utvalg av det utførte tolkningsarbeid på Iesjåkkakartbladet tatt med i rapport 86.209. Det petrofysiske grunnlagsmaterialet (susceptibilitet og tetthet) for Iesjåkkabladet ble videre innlemmet i et felles datagrunnlag (Appendix A) hvor alle fire kartblad behandles under ett (side 12-16, m.m. i rapp. 86.209).

I nærværende rapport presenteres 14 modellberegnete magnetiske profiler mot 5 utvalgte i rapport 86.209. Det er også tatt med et kapittel med kommentarer og geologiske tolkninger til alle de 15 profilene (kap. 3.2.).

I rapport 86.209, kart 7, er bare et utvalg av de elektromagnetiske (E.M.) ledene på Iesjåkkabladet tegnet inn. I nærværende rapport er alle E.M.-indikasjoner, også en god del svake og diffuse, tatt med på grunnlag av tolkning av de helikopter-målte E.M.-kartene i M. 1:20 000. Ved denne målestokken trer det tydelig fram flere E.M.-indikasjoner som knapt/ikke framkommer på 1:50 000-kartene.

De modellberegnede profilene og den geologiske tolkningen av disse samt kart 3 med en detaljert tolkning av E.M.-ledere er hovedbidraget i denne rapporten. Det øvrige er vesentlig oppstillinger av datagrunnlag (frekvensdiagrammer, målelokaliteter, måleverdier, etc.) samt diskusjon og kommentarer til dette.

Metodebeskrivelse til de magnetiske modellberegningene, grunnlaget for aeromagnetisk- og E.M. tolkning samt kommentarer og diskusjon til de ferdigtolkede kart, diskusjon til petrofysiske måleresultater, etc., etc. er alt sammen behandlet i Midtuns (1986) rapport.

2. SAMMENSTILLING AV MÅLEDATA FRA IN-SITU SUSCEPTIBILITETSMÅLINGENE

2.1. Generelt

Resultatene fra in-situ susceptibilitetsmålingene er plottet i frekvensfordelingsdiagrammer vist på side 32-55. Det er laget diagrammer for bergarter og bergartsgrupper samlet for hele kartbladet samt tilsvarende med inndeling på grunnlag av bergarter/bergartsgrupper og stratigrafisk beliggenhet. Susceptibilitetsverdier for de enkelte målinger er vist med små fylte sirkler, trekanner, etc.; prosentvis fordeling av måleverdiene er vist som søylediagram basert på inndeling i fire og fire nabokolonner med måleverdier og kumulativ fordeling er vist som en sammenhengende linje.

For enkelte bergarter, f.eks. diamiktitt i Skuvvanvarri Formasjonen, side 40, er datagrunnlaget (antall målinger) så spinkelt at diagrammene ikke med sikkerhet kan sies å være representative for den målte bergarten/bergartsgruppen som helhet innenfor den enkelte formasjon eller innenfor hele kartbladet. Det er ikke gitt anmerkninger om kurvens pålitelighet hvor datagrunnlaget er spinkelt, men antall måleområder/målepunkter og antall målinger er gitt for hvert enkelt diagram i de fleste tilfeller.

2.2. Kommentarer til de enkelte diagrammer

Det er her vesentlig tatt med opplysninger ut over det som i diagrammene er selvforklarende.

KVARTSITT (side 33-35). Denne bergartsgruppen omfatter ren orthokvartsitt, arkose, serisittkvartsitt og noen få kvartsrike kvartsserisittskifre ("sparagmitt") f.eks. lok. 31 og lok. 118. Bergartsgruppen er plottet sammenløst (s. 33) og inndelt på formasjoner (s. 34 og 35). Det ble målt på tilsammen 313 punkter innenfor 35 måleområder/målelokaliteter, tettest omkring Ruossavarri og syd for Bieskenjarga. De fleste målingene ga svært lave susceptibilitetsverdier noe som er typisk for kvartsitter. Unntaket er bl.a. lok. 28 en veiskjæring 2,5 km syd for Bieskenjarga, se kart nr. 2. Den sterkt grønnfargete kvartsitten her ga måleverdier på inntil to til tre tierpotenser over gjennomsnittet. Det er ikke sikkert avgjort om området omkring lok. 28 tilhører Skuvvanvarriformasjonen eller om det tilhører den laveste delen av Gållebaikeformasjonen hvor lokaliteten er plottet. Det er også mulig at denne utypiske kvartsitten hører hjemme i en av de andre samlegruppene f.eks. tuffittgruppen eller metapelittgruppen?

Konklusjoner: Kvartsittene i Skuvvanvarriformasjonen (side 34) har den laveste magnetiske susceptibilitet av alle de undersøkte bergartene innenfor kbl. Iesjåkka. Kvartsittene i Gållebaikeformasjonen (side 35) har litt høyere susceptibilitet i gjennomsnitt, og samlet er kvartsittene den bergartsgruppe som kommer ut med lavest magnetisk susceptibilitet (side 33).

METAPELITT (diagram side 36-39). Denne bergartsgruppen inkluderer ren glimmerskifer, granatglimmerskifer, noen få glimmerrike kvartsserisittskifre og en lokalitet med glimmerrik klorittskifer. I alt ble det utført 146 målinger innenfor 19 måleområder/målelokaliteter. De tre høye måleverdiene er fra lok. 39. Diagrammet har en topp omkring $25-65 \times 10^{-5}$ SI-enheter, hvilket er litt under gjennomsnittet for paramagnetiske mineraler (pyroksener, amfiboler, glimmer etc.) som ligger på ca. 80×10^{-5} SI-enheter. Dette indikerer at bergartene inneholder endel kvarts og feltspat og endel paramagnetiske mineraler som biotitt. Metapelittgruppen får derfor en gjennomsnittssusceptibilitet som ligger mellom kvartsittgruppen og bergarter som er helt dominert av paramagnetiske mineraler (amfibolitter, tuffitter, gabroer, etc.).

DIAMIKTITT eller grunnmassebåret, konglomerat (diagram side 40). Diamiktitten tilhører Skuvvanvarriformasjonen og ligger vesentlig i bunnen av denne. Det ble bare målt innenfor ett eneste måleområde, nemlig langs en ca. 250 meter lang veiskjæring SV for Iesvarri. Det ble gjort 26 målinger og måle-resultatene hadde et tyngdepunkt omkring 80×10^{-5} SI-enheter. Antall målinger og måleområder er for få til å kunne si at den fremkomne kurven er representativ for diamiktittene innenfor kartbladet. Et større antall målinger ville ha gitt en "glattere" kurve, med en rundere topp i søyle-diagrammet (sammenlign med andre diagrammer med over hundre målepunkter).

TUFFITT (mest mørke t.) (diagram side 41-43). Denne gruppen inkluderer mest mørke tuffitter, herunder også noen tvilsomme båndete "amfibolitter", noen mafiske tuffer og noen mørke bergarter (klorittskifre) som kanskje grenser til rene terrigene sedimenter, f.eks. lok. 124.

Det ble gjort 106 målinger innenfor 9 måleområder/målelokaliteter herav hele 49 målinger på store steinblokker fra lok. 19 på sydsiden av Karasjåkka ved Assebakti.

Lok. 19 er et steinbrudd hvorfra det er tatt ut grovblokkig sprengstein til veifyllingen for RV 92 på nordsiden av elva her. Målingene ble gjort på grove blokker i veifyllingen.

Søylediagrammet har en klart paramagnetisk topp omkring 80×10^{-5} SI-enheter og antydning til en bimodal fordeling ved en svak ferromagnetisk topp omkring 3000×10^{-5} SI-enheter. Den siste toppen skyldes vesentlig finfordelt magnetitt i bergarten.

Diagrammet på side 41 gjelder alle målingene i gruppen TUFFITT, mens diagrammene på side 42 og 43 viser underinndeling av tuffittgruppen i Gållebaikeformasjonen og Bakkilvarriformasjonen.

AMFIBOLITT (diagram side 44-46). Gruppen inkluderer det som i felt er kartlagt som metavulkanitter uten innblanding/innslag av pyroklastisk materiale. Det ble gjort 234 målinger innenfor 22 måleområder/målelokaliteter. To av måleområdene viste anomalt høye måleverdier nemlig lok. 98 ved Iesjåkka syd for Iesvarri og lok. 113 og 114 i sydskråningen av Gåv'daroavvi. Begge disse amfibolittlokalitetene ligger stratigrafisk helt i bunnen av Gållebaikeformasjonen.

Foruten den glatte, fine paramagnetiske toppen omkring 80×10^{-5} SI har søylediagrammet en svak antydning til en ferromagnetisk topp omkring 3000×10^{-5} SI helt analogt med tuffittdiagrammet på side 41.

METAKOMATIITT (diagram side 47-49). Gruppen inneholder mosegrønne-mørkegrønne rene klorittamfibolbergarter, og lite eller intet av serpentinrike eller talk-karbonatrike varianter.

Det ble gjort 128 målinger innenfor 11 måleområder/målelokaliteter. Søyle-diagrammet har en stor, glatt paramagnetisk topp analogt med amfibolitt- og tuffittdiagrammene, mens fordelingen av ferromagnetiske mineraler i de målte bergartene har vært såpass ujevn at det ikke har "utkristallisert" seg én men to ferromagnetiske topper i den høyre delen av diagrammet. Et større antall målinger ville trolig gitt en klarere bimodal fordeling med en paramagnetisk og én ferromagnetisk topp avgrenset av et lavområde mellom ca. 200 og 700×10^{-5} SI-enheter.

METGABBRO (diagram side 50). Denne gruppen inneholder bare "rene intrusive" metagabbrroer, d.v.s. fra ordinære til meget mafiske varianter som grenser til pyroksenitter. De siste er påtruffet kun sporadisk. Alle tvilstilfeller av sterkt folierte/forskiprede varianter, etc. er tatt med i amfibolitt-gruppen. Det ble i alt gjort 135 målinger innenfor 16 måleområder/målelokaliteter. Målingene viser en klar bimodal fordeling med en paramagnetisk og en ferromagnetisk topp adskilt av et lavområde med bare noen ganske få plottede måleverdier. Dette er i samsvar med andre mafiske-ultramafiske intrusive og vulkanske bergarter som også plotter bimodalt dog ikke så distinkt bimodalt som her. Den ferromagnetiske toppen er noe flatere og mer avrundet (skydes variabelt innhold av finfordelt magnetitt) enn den paramagnetiske toppen som i hovedsak skyldes en metamorf amfibol som ved siden av mer eller mindre omvandlet plagioklas er hovedmineralet i metagabbrroene.

METADIABAS (diagram side 51). Gruppen inneholder metadiabas som opptrer i ganger i Jergulgneiskomplekset og Skuvvanvarriformasjonen. Det ble gjort 12 målinger på kun tre lokaliteter (tre diabasganger) på Iesjåkkabladet, og dette gav selvsagt et alt for spinkelt grunnlag for plotting og opptegning i frekvensdiagram. Målingene på Iesjåkkabladet ble derfor supplert med susceptibilitetsmålinger på diabasganger innenfor et av de store spylefeltene i et område innenfor Jergulgneisen på det nordenforliggende Stiipanav'zibladet. Her ble det gjort hele 420 målinger på tilsammen 52 målelokaliteter innenfor i alt 16 diabasganger tilhørende den svermen av ganger som forekommer bl.a. innenfor dette 5 km^2 store glasialt avspylte feltet helt i nordkanten av Stiipanavzibladet. Den helt analoge opptreden

av metadiabasen innenfor de to kartbladene tillater direkte sammenligning av måledata. I det hele tatt tilhører all metadiabas i JGK og Skuvvanvarrifomrasjonen den samme mafiske bergartssuite d.v.s. den/de samme gangsverm(er) som opptrer i hele den nordlige delen av JGK og omliggende områder.

Søylediagrammet har en perfekt glatt kurve med et paramagnetisk tyngdepunkt omkring 70×10^{-5} SI og et mindre veldefinert ferromagnetisk tyngdepunkt i området $800 - 2500 \times 10^{-5}$ SI. I praksis er det bare det ferromagnetiske tyngdepunkt, eller riktigere magnetittkonsentrasjoner som forårsaker dette, som gir anomalier med slik form, utstrekning, styrke, etc. at de framtrer som særpregte "ganglike" anomalier på de aeromagnetiske kartene.

GRANODIORITT (KGB) (diagram side 52). Gruppen inkluderer lyse, forgneisede granodioritter som opptrer inne i lagpakken av metasuprakrustallbergarter. Det ble gjort i alt 57 målinger på tilsammen 4 målelokaliteter innenfor de to granodiorittkroppene beliggende på hver sin side av Buordnavarrisynformen i den sydøstlige delen av kartbladet.

Målingene ga lave susceptibilitetsverdier og søylediagrammet ligner kvartsitt-gruppens diagram (side 33), men uten den runde glatte formen som kvartsittdiagrammet har p.g.a. sine 313 målinger mot bare 57 i granodioritten. At granodioritten kommer ut så lavt skyldes at den ikke inneholder ferromagnetiske mineraler (magnetitt, ilmenitt, etc.), og har meget lite av paramagnitiske mineraler (glimmer m.m.). Den er derfor i hovedsak en kvartsfeltspatbergart med innhold av lyse mineraler på linje med kvartsitt-gruppens og derfor de relativt like diogrammene.

MIGMATITT (diagram side 53). Denne gruppen inneholder diverse migmatittiske bergarter, og målingene ble gjort oppe på Buordnavarrihøyden og i nord-skråningen av denne høyden. I alt ble det gjort 54 målinger innenfor 5 måleområder/målelokaliteter. Målingene viser en distinkt bimodal fordeling selv om målegrunnlaget er tynt. Bergarten som er opphav til den ferromagnetiske toppen i frekvensdiagrammet strekker seg 6,5 km fra kartets SØ-hjørne mot NV i kjerneområdet av Buordnavarrisynformen. Migmatittbeltet strekker seg ytterligere 3-4 km mot NV, men består her overveiende/bare av bergarter som gir en paramagnetisk topp i frekvensdiagrammet.

GRANITT (JGK) (diagram side 54). Gruppen inneholder en kjøttrød-rødfiolett, middelskornet granitt. Tilsammen 20 målinger ble gjort innenfor ett eneste

måleområde, nemlig veiskjæringene langs riksvei 92 i de lange bakkene umiddelbart vest for Jergulgrenda. Måleområdet ligger på Suossjavribladet ca. 400 m vest for kartbladgrensen, men granittkroppen strekker seg inn på de vestligste delene av Iesjåkkabladet hvor den bøyer av og fortsetter ca. 10 km mot syd. Utbredelsen av denne granittkroppen er i grove trekk kjent og gjengitt bl.a. på det geologiske Nordkalottkartet (1987). Målingene viser ganske spredte susceptibilitetsverdier, men verdiene er langt over f.eks. verdiene for granodioritten (side 52). Konsentrasjonen av måleverdier omkring $500 - 1000 \times 10^{-5}$ SI-enheter skyldes et svakt innhold av finfordelt magnetitt, mens de lavere måleverdiene indikerer at det også er praktisk talt magnetittfrie partier i granitten.

Et større målegrunnlag ville trolig ha gitt en glattere kurve med et tyngdepunkt beliggende midt mellom toppene på de bimodale diagrammene for tuffitt, amfibolitt, komatiitt og gabbro der disse har et minimumspunkt.

GNEIS (JGK) (diagram side 55). Det ble gjort 124 målinger innenfor 12 måleområder/målelokaliteter med størst tetthet på sydsiden av Iesjåkka ved Jergulgrenda. Videre ble det målt østover langs Iesjåkka fram til Sadjejåkkas utløp i denne. Måleverdiene fordeler seg nogenlunde jevnt utover skalaen i frekvensdiagrammet med en svak forhøyning i området $100 - 2000 \times 10^{-5}$ SI-enheter.

Det er litt uklart hvor nordgrensen til den store granittkroppen omtalt ovenfor går. Målingene på lok. 2 og 13-18 er plassert i gneisgruppen, mens bare lok. 1 som ligger 400 meter inne på Suossjavribladet definitivt tilhører et granittlegeme. Grensen mellom gneis og granitt faller i nord i detalj ikke sammen med det orangefargete området med "middels høyt magnetiseringsnivå" på Midtuns (1986) kart 3. Det orange området på dette kartet inkluderer et gneisområde med fra middels til høyt magnetiseringsnivå. Høymagnetiske gneisbergarter er også påtruffet på nordsiden av Iesjåkka ved UTM 0900/0200 (Nilsson 1987, side 11-17 og tegn. 01). Utbredelsen av den høymagnetiske bergarten (suscept. på lab. målte prøver: 0,073 og 0,090 SI-enheter) må imidlertid være liten fordi det overhode ikke fremkommer noen anomalie her på de gamle flymålte kartene som dekker området på nordsiden av elva. Det regionale bakgrunnsnivået er ellers meget lavt innenfor denne delen av Jergul gneiskomplekset.

3. TOLKNING AV MAGNETISKE ANOMALIER LANGS 15 UTVALGTE PROFILER VED HJELP AV MODELLBEREGNINGER

3.1. Innledning

Til modellberegninger av magnetiske anomalier ble benyttet dataprogrammet GAMMA utviklet ved SGU (Lindberg 1982). Modellberegningene er vist på side 56-92. Her er også data for de konstruerte bergartskroppene tatt med i tabellform etter hvert profil. Det beregnede kurveforløpet (på grunnlag av de konstruerte kroppene) er gitt med en heltrukken linje, mens forløpet av den målte kurven er stiplet.

Tilpasningen mellom helikoptermålte og modellberegnede kurver er noe variabel bl.a. fordi flere forhold vanskeliggjør tolkningen: f.eks. liten vinkel mellom anomalidrag og flylinje, liten utstrekning av anomalier på den ene eller på begge sider av flylinjen, stor magnetisk gradient på tvers av flylinjen, etc. Jeg har forsøkt å ta hensyn til dette først og fremst ved å velge profiler hvor disse ugunstige faktorene ikke eller bare i liten grad er tilstede, men det er nærlagt selvfølgelig alltid endel vanskelige grensetilfeller. Det var f.eks. vanskelig å få gjort gode modellberegninger over det viktige komatiittførende "knuteområdet" med magnetiske anomalidrag som krysser Karasjokka flere ganger vest for Suolgajåknja' bmi (= Myrskog) (UTM 2570/9330), modellprofil 9, 10 og 11, fordi alle de tre ovennevnte problemene her er tilstede.

3.2. Kommentarer til de enkelte profiler

Profil 1 (side 57 og 58).

Den kraftigste anomalien i profil 1 skyldes en godt blottet metakomatiitt-horisont (geol. manuskart Iesjåkka, Often et al.), her modellberegnet ved hjelp av et ca. 200 meter mektig legeme (1). Susceptibiliteten (0,09) er valgt i samsvar med in-situ målinger på denne horisonten. Kuppen er avsluttet på ca. 800 meters dyp. Den kunne rimeligvis ha vært ført dypere, - ifølge gravimetriske beregninger stikker Bakkilvarriformasjonen (som denne komatiitten tilhører) her ned til ca. 3-3,5 km dyp [Midtun (1986),

Appendix B, side 7] -, men bidraget fra en påhektet del under 800 m dyp på kropp 1 ville ha vært ubetydelig (sml. bidragene fra kropp 1 og 3). Anomalien svekkes med 2. potens av dypet ned til overkant av anomaliårsaken).

Kropp 2 og 3 på hengsiden av kropp 1 antas å skyldes metakomatiitthorisonter (ingen blotninger). Disse er gitt litt høyere susceptibilitet (0,10) og kroppene er avsluttet henholdsvis ca. 50 og 100 meter før de når dagoverflaten. Dette kan virke lite sannsynlig fra geologisk synsvinkel forutsatt at det dreier seg om komatiitthorisonter og tatt mektighet og dypgående i betraktning. Den slake kurveformen indikerer imidlertid at anomaliårsakene ikke har utgående i dagen. Årsaken kan være metakomatiitthorisonter som forandrer karakter langs dypgående (disseminasjon av finkornet magnetitt avtar). Det er derfor mulig at de konstruerte kroppene kunne ha vært ført i dagen med en betydelig lavere susceptibilitet. Denne variant ble dog ikke forsøkt.

Profil 2 (side 59 og 60)

Profil 2 er lagt til et område med en rekke små metagabbrokropper. De største blotningene fins på kollen Baktevarri hvor in-situ suscept-målinger ble gjort langs et ca. 100 m langt profil SØ-NV tvers over toppområdet på kollen (fra ØSØ-pynten til pkt. 227 m.o.h.). I den østlige delen av profil 2 finns blotninger av metagabbro, og in-situ målt susceptibilitet (0,09) herfra er basis for modellberegningene. Kropp 1, 2 og 3 var lette å modellere med god tilpasning (ingen blotninger i dagen som støttepunkter gir mange muligheter), mens kropp 4 voldte noe besvær fordi anomalien ligger noe vest for en tett ansamling gabroblotninger langs profilet. Med susceptibilitet og flere blotninger som gitte parametre, er det stort sett bare formen og volumet mot dypet som er gjenværende variabler i modellen.

Profil 3 (side 61 og 62)

Profil 3 helt syd på kartbladet er lagt over en symmetrisk, nord-sydgående meget sterkt magnetisk anomali uten forstyrrende (interferende) anomalier i umiddelbar nærhet. Anomalien er den høyeste innenfor kbl. Iesjåkka med en verdi på 5500 nannotesla over bakgrunnsnivået. Den mulig største

feilkilden ved modelleringen er at anomalien taper seg meget raskt både mot N og mot S. Det er blotninger (røskinger) av båndet jernformasjon (BIF) over anomalien som også er undersøkt med 3 diamantborhull. Lokaliteten går under navnet Guoikkavarre og er beskrevet av Wennervirta (1969, s. 163-165). På grunn av symmetrien må anomaliårsaken skyldes et steiltstående legeme. De to eneste variable blir da susceptibiliteten og mektigheten på jernformasjonen. Med susceptibilitet valgt lik 0,45 ble modellering forsøkt med 110 og 120 meters mektighet. 110 meters mektighet ga den klart beste kurvetilpasning på flankene, men toppverdien ble liggende litt under den målte toppverdien. Kurven for en 120 meter mektig kropp tangerte derimot den målte toppverdien. Det "riktige" tilpasningslegemet er derfor trolig litt under 110 m mektig, men har susceptibilitet på litt over 0,45, kanskje 0,46 - 0,47 ? Med susceptibilitet valgt lik 0,60 og 120 meters mektighet ser vi at kurvetilpasningen blir svært dårlig. Ved høye susceptibiliteter begynner demagnetiseringen også å gjøre seg gjeldende. Modellberegningsprogrammet GAMMA tar ikke hensyn til denne effekten. Den enkle modellkroppen i profil 3 ser ut til å bli mer komplisert mot syd, og Wennervirtas beskrivelse av forekomsten (loc. cit., side 163) i et øst-vest løpende profil (parallelt profil 3)" gir et bilde av en skjev triangel hvis korteste ben, det østlige, står i en brattere stilling enn det vestlige". Det er derfor mulig at forekomsten lukker seg i en steiltstående isoklinal fold som kiler ut mot nord og at profil 3 skjærer denne folden hvor den er på det mektigste.

Profil 4 (side 63-66)

Profil 4 i kartbladets sydøsthjørne skjærer et relativt høymagnetisk område innenfor Tanaelv migmatittkomplekset (= Gåssjåkkaformasjonen) som kommer inn på kartområdet i kjernen av en synklinal (Buordnavarri synformen) fra SØ. Tanaelvmigmatitten strekker seg fra kartets SØ-hjørne 10,5 km mot NV, mens de relativt mer høymagnetiske delene innenfor migmatitten bare strekker seg 6,5 km mot NV hvorav de siste 2 km som en tynn gren. En like lang og delvis høymagnetisk gren bøyer av mot nord. In-situ målinger innenfor migmatittbeltet forklarer dette ved en tydelig bimodal fordeling av måle-verdiene (Midtun 1986, Appendix A, side 3 og 6). Tolkningen av profil 4 er vist med to varianter, 1 og 2, med omtrent like god (eller dårlig!) kurvetilpasning. Begge modellvariantene har 4 kropper som kan tolkes enten som steile isoklinalfoldete relativt høymagnetiske

horisonter/lag med mellomliggende lavmagnetiske lag, eller som en mer sammenhengende relativt høymagnetisk bergartsmasse med små spredte erosjonsrester av lavmagnetisk bergartsmasse over disse i kjernen av Buordnavarri-synkinalen (variant 2).

Profil 5 (side 67) skjærer den nordligste delen av den høymagnetiske grenen innen migmatittbeltet som bøyer av mot nord (nevnt under Profil 4), krummer 100° mot høyre og løper ca. 1 km mot SØ for den igjen krummer brått mot SV og stopper (se kart 1). Den modellerte kroppen kan tenkes å representere en skjæring av det relativt høymagnetiske laget akkurat hvor dette bøyer 100° rundt en steil eller vertikal foldeakse. Modellkroppen representerer det magnetiske laget i et snitt med ca. 50° vinkel til flylinjen (profillinjen).



Profil 6 (side 68-71) ligger på naboflylinjen 250 m syd for profil 5 og de to profiler må sees i nære sammenheng. Blokk 1 og 2 i profil 6 representerer da henholdsvis den SV-lige og SØ-lige forlengelse av det magnetiske laget som bøyer av i profil 5. Blokk 3 i profil 6 representerer et relativt lavmagnetisk uavhengig lag som løper mot SØ og inn på Karasjokbladet. Vi ser at det er betydelig interferens mellom bidragene fra blokk 1 og 2. Den modellberegnede kurven har et alt for høyt minimumspunkt. Det var imidlertid vanskelig å korrigere for dette på grunn av ombøyningen av det magnetiske laget umiddelbart nord for profil 6. Blokk 3 er modellert i to varianter hvorav nr. 2 har den beste tilpasningen. Blokken i variant 2 kunne ha vært ført i dagen ved å velge en noe lavere susceptibilitet (den ferromagnetiske toppen på migmatittgruppens frekvensdiagram gir rom for det da den er ganske flat og avrundet, se side 53 og Midtun 1986, Appendix A, side 3 og 6).

Profil 7. (side 72-73)

Profil 7 er tolket som en moderat foldet lagpakke med strøkretning nord-syd (blokk 1 og 2) og med en tettere fold lengst i øst. Rommet over blokk 1 og 2 samt på begge sider av blokk 3 representerer da et overliggende lavmagnetisk lag i lagpakken.

Modell-susceptibiliteten (0,030 SI-enheter) er valgt i samsvar med lab-måling av susceptibilitet (0,032) på en stoff av "glimmerskifer/amfibolitt" innsamlet av Morten Often 1984 fra en blotning på UTM 1940/9600, d.v.s. 1 km syd for profil 7 i dette svært blotningsfattige delområdet. Strøkretningen i området er imidlertid konstant N-S slik at den laboratoriemålte relativt høymagnetiske prøven antas å være representativ for de bergartene som danner de magnetiske anomaliene i profil 7.

Profil 8 (side 74-75)

Profil 8 skjærer middels høye magnetiske anomalier som ihvertfall delvis er en sydlig fortsettelse av anomaliene i profil 7. Umiddelbart syd for den vestlige halvdelen av profil 8 er det blotninger av både glimmerskifer, metakomatiitt og amfibolitt ifølge H. Wennervirtas manuskriptskart "Iesjåkka", M 1:100 000 (NGU, kartarkivet 1956). Den østlige halvdelen av profilet går tvers igjennom et tilnærmet sirkulært lavområde som muligens representerer en lavmagnetisk domstruktur forårsaket av en granitoid intrusjon med ca. 1 km tverrsnitt.

Anomaliene i profil 8 tolkes analogt med anomaliene i profil 7, dvs. som moderat magnetiske lag i veksellagring med lavmagnetiske lag, det hele foldet i relativt åpne folder med akser N-S tvers på profilretningen.

Profil 9, 10 og 11 er som nevnt innledningsvis vanskelig å tolke på grunn av naturgitte forhold. De tre profilene ligger ved siden av hverandre på tre naboflylinjer og tolkningen av dem må sees i nøye sammenheng.

Profil 9 (side 76-79)

Den vestlige anomalien i profil 9 har to bulker langt nede på flankene som kan forklares med et magnetisk lag med foldeombøyninger som ikke går helt i dagen. Det samme laget har derimot en ombøyning i selve dagskjæringen eller

rett over dagnivå midt imellom de to ombøyningene på 50-200 m dyp. Det er modellert to varianter av denne blokken (1), sml. side 76 og 78. Kroppen er modellert som en massiv takkete blokk, men det ville med all sannsynlighet vært riktigere å modellere den som et enkelt lag foldet fem ganger. Dette ville ha krevd en underinndeling i 2 eller 3 mindre kropper pga. dataprogrammets kapasitetsbegrensning. Blokk nr. 2 kunne også med fordel ha vært modellert som en enkel antiklinal fordi opphavet til anomaliene i dette området er meta-suprakrustallbergarter (metakomatiitter, amfibolitter og forskjellige metapelitter).

Profil 10 (side 80-81)

Den østlige anomalien i profil 10 er den sydlige forlengelse av den vestlige anomalien i profil 9. Den magnetiske gradienten mellom profilene er sterk. Dette kan tolkes som at det høymagnetiske laget stikker på dypet mot syd, dvs. at foldeaksen til antiklinalen i blokk 2, profil 9 faller moderat/sterkt mot SØ. Blokk 2 i profil 10 kan derfor analogt med blokk 2 i profil 9 tolkes som en enkel antiklinal, i profil 10 svakt overbikket mot vest.

Den vestlige anomalien i profil 10 er høy med bratte flanker hvis årsak har utgående i dagen (blokk 1). Anomalিårsaken er muligens også her en relativt høymagnetisk horisont/lag formet i en antiklinal hvor selve ombøyningen er i nærheten av skjæringen med dagoverflaten.

Profil 11 (side 82-85)

Anomalien i profil 11 er en sydlig forlengelse av den vestlige anomalien i profil 10. Den er bare halvparten så høy, 350 nannotesla mot 700 nannotesla, men har større halverdibredde. Dette kan tolkes ved hjelp av et legeme med lavere susceptibilitet, 0,018 mot 0,045, og mindre steile flanker (antiklinalen flater ut mot syd). En alternativ tolkning (ikke forsøkt!) kan være å beholde den høye susceptibiliteten fra profil 10, men ikke la blokken få utgående i dagen. Anomalien er modellert i to nesten like varianter, men variant 2 beskriver noe bedre enn 1 en foldeombøyning.

Profil 12 (side 86-88)

Profil 13 skjærer en karakteristisk rettlinjet moderat magnetisk anomali. Slike anomalier opptrer gjerne parallelt/subparallelt over store lav-magnetiske gneisområder og i slikt antall at vi kan snakke om svermer. Dette er de karakteristiske anomaliene som kjennetegner diabasgangsvermer. Profil 13 skjærer en særlig mektig diabasgang modellberegnet til ca. 200 m mektighet. Vanligvis ligger diabasgangenes mektighet i området ca. 3-30 m. Det er ekstremt sparsomt med blotninger av diabasganger på Iesjåkkabladet slik at de petrofysiske grunnlagsmålingene (in-situ og lab. susceptibilitetsmålingene) stammer vesentlig fra det nordlige nabokartbladet, 2034-3 Stiipanav'zi hvor gangsvermen(e) kommer inn for full tyngde fra SSV og er blottet i store glaciale spylefelt langs vest- og nordgrensen på dette nabokartbladet. Profil 13 er modellberegnet i fire varianter som alle er basert på et legeme (1) med steile kontakter og med utgående i dagen. Blokk 2 er modellert som et lite gabbro/diabas-legeme uten utgående i dagen, men med samme susceptibilitet som blokk 1 i variant 1, 3 og 4 og med tilnærmet samme susceptibilitet i variant 2. Et legeme (2) med betydelig lavere susceptibilitet kunne ha vært ført i dagen og sannsynligvis gitt like god kurvetilpasning, dvs. vi hadde fått to parallelle diabasganger.

Profil 13 (side 89-90)

Profil 14 krysser et relativt høymagnetisk bånd nær nordgrensen av det området med "middels høyt magnetiseringsnivå" som er nevnt under avsnittet Profil 12 på denne siden, og vist i Midtun (1986), kart 3. Profilet er tolket ved hjelp av et femkantet blokklegeme med susceptibilitet (0,025) valgt på grunnlag av in-situ målinger og innsamlet materiale fra denne lokaliteten (Nilsson 1987, side 15-17 og tegning 01). Også her er muligheten åpen for et høymagnetisk, tykt lag i en antiform noe overbikket mot vest.

Profil 14 (side 91 og 92)

Profil 15 ligger i den østlige delen av kartbladet, på neset der elvene Iesjåkka og Karasjokka møtes, og krysser en relativt sterk og veldefinert tilnærmet symmetrisk N-S løpende anomali. Denne kan tolkes som et høy-magnetisk suprakrustall-lag i en noe åpen antiform, eller som en langstrakt gabbroid kropp representert ved den 6-kantete blokktolkningen på side 91, eventuelt som en liten rund høymagnetisk gabbrokropp i en sekvens av mer moderat magnetiske suprakrustaler. Den første tolkningen er muligens å foretrekke pga. anomaliens utholdenhets. Man har støttepunkter i flere blotninger av suprakrustallbergarter på østsiden av Karasjokka 1-2 km syd for profilet, men det er også gabroblotninger i dette området ifølge geologisk manuskriptkart Iesjåkka (Often et al.).

4. TOLKNING AV MAGNETISKE STRUKTURER OG ELEKTROMAGNETISKE (E.M.) LEDERE
(KART nr.3)

4.1. Generelt

Dagnære, veldefinerte magnetiske bånd opptrer i mindre antall på Iesjåkka-bladet enn på de tre nabokartbladene mot Ø, SØ og S. Dette skyldes dels stor utbredelse av den lavmagnetiske Jergulgneisen og dels liten utbredelse av migmatittbeltet hvor de magnetiske bånd ligger meget tett.

De mest markerte båndene skyldes amfibolitt- og metakomatiitthorisonter/lag, metagabbrokropper, noen få høymagnetiske bånd innen migmatittbeltet i SØ og i ett tilfelle opptreden av en båndet jernformasjon (BIF).

En del dypeliggende bånd opptrer i de lavmagnetiske og middels magnetiserte områdene innenfor kartbladet. Slike dypeliggende bånd er også tolket på Bæivasgieddebladet og på den vestlige delen av Karasjok-bladet i det samme stratigrafiske nivå (Iddjajavriggruppen).

Elektromagnetiske ledere opptrer i stort antall på Iesjåkka-bladet og da særlig i deler av Iddjajavriggruppen.

4.2. Magnetiske og elektromagnetiske karakteristika for de forskjellige geologiske formasjoner innen Iesjåkka-bladet (ref. geologisk manuskriptkart Iesjåkka (Often et al.) og Often 1985)

Jergulgneiskomplekset er karakterisert ved et uregelmessig magnetiserings-mønster med et lavt magnetiseringsnivå (Midtun 1986, kart 3). Komplekset gjennomsettes av en NNØ-SSV løpende sverm av diabasganger som kjennetegnes ved rettlinjede, diskordante, middels høyt magnetiske anomalier som grovt sett faller sammen med de enkelte diabasgangene eller grupper av disse. I Jergulgneisen opptrer et avgrenset felt med middels høyt magnetiseringsnivå og sterke men noe diffuse interne strukturer (bånd). Dette feltet tolkes med støtte i berggrunnsblotninger som en stor granitoid intrusjon.

Skuvvanvarriformasjonen løper syd for Iesjåkka som et smalt bånd N-S gjennom kartbladet. Formasjonen består av et underste diamiktittlag, derover

diverse metasandsteiner eventuelt med intraformasjonale diamiktittlag. Diabasgangsvermen gjennomsetter også Skuvvanvarriformasjonen. Metasandsteinene tilhører definitivt de mest lavmagnetiske bergartene innen kartbladet, men på grunn av varierende og noe sterkere magnetisk gneis under metasandsteinene er dette til liten hjelp ved opptegning av formasjonen i de mest overdekkede områdene. Mest hjelp får man fra en VNV-ØSØ løpende EM-leder som indikerer forløpet av Skuvvanvarriformasjonen over en 4-5 km lang strekning i området øst for Skaide-cårro (UTM 1050/9250).

Nær bunnen av Gållebaikeformasjonen opptrer både komatiitt og amfibolittlag. På enkelte amfibolittblotninger (på nordbredden av Iesjåkka ved Miellemåkke-guoika (UTM 2620/0360) og lengst ned i sydøstsentreringen av Gåv'daroavvi (UTM 2650/9390)) ble det målt tildels meget høy susceptibilitet. Det magnetiske kartet indikerte derimot ingen stor utbredelse av disse høy-magnetiske lagene. Gållebaikeformasjonen er ellers kjennetegnet ved hyppig forekommende EM-ledere og enkelte høymagnetiske metagabbrokropper i de jevnt over lavmagnetiske metasuprakrustallene.

Bakkilvarriformasjonen kjennetegnes ved mektige amfibolitt og komatiittlag, og enkelte av komatiittene kommer meget godt fram på det magnetiske kartet, f.eks. omkring UTM 2800/9200. Komatiittene forandrer imidlertid ofte karakter langs strøket, og det kan være vanskelig å bruke de magnetiske anomaliene i de geologiske tolkningene hvilket er tilfelle bl.a. i det viktige knuteområdet langs Karasjokka vest for [Suolgajåknjal'bmi (Myrskog)]. Bakkilvarriformasjonen er også kjennetegnet ved hyppig opptrædende EM-ledere. Flere av disse lederne kuttes av lyse, forgneisede granodioritt-intrusjoner med lengdeutstrekning langs strøkretningen. De partier hvor ellers regelmessige og utholdende EM-ledere er borte kan sammen med blotninger benyttes til å bestemme utstrekningen av disse intrusjonene.

Raitegår'ziformasjonen kjennetegnes av metapelitter hvor EM-ledere opptrer tett (særlig på nordsiden av Buordnavarrisynformen) og ofte har stor utholdenhets langs strøket selv om indikasjonene (amplitudene) delvis er meget svake. Metapelittene i denne formasjonen er lavmagnetiske.

Tanaelv migmatittbelte (=Gåzzjåkka migmatittbelte) opptrer innen kartbladet bare i kjernen av Buordnavarrisynformen som kommer inn på kartbladets SØ-

hjørne og løper mot NV. Migmatitten har en bimodal fordeling av de målte susceptibilitetsverdier. Dette gir seg til kjenne ved ett område med høyt og uregelmessig magnetiseringsnivå med sterk men diffus intern bånding (Midtun 1986, kart 3). Omkring dette er et annet område med båndet magnetiseringsmønster og lavt magnetiseringsnivå tilsvarende Raitegårziformasjonens mønster og nivå. Det er ellers meget få og meget svake EM-indikasjoner innenfor migmatitten på Iesjåkkabladet.

En mer utdypende tolkning hvor også gravimetri og dislokasjonstolkninger er inkludert er gitt i Midtun (1986) s. 19-29.

Til slutt en særlig takk til geofysiker Reidar D. Midtun som våren 1986 meget tålmodig veiledet meg i tolkningsprogrammet GAMMA, m.m. Videre takk til følgende: geofysiker Odleiv Olesen som kritisk har gått gjennom manuskriptet, geolog Morten Often for hjelp med geologiske problemer, Gunn Sandvik Nielsen som har maskinskrevet manus og rettet opp teksten en rekke ganger, John Fredriksen og Gunnar Grønli for tegnearbeid og Ingemar Aamo for foto og reproarbeid.

Trondheim, 23. november 1988
NORGES GEOLOGISKE UNDERSØKELSE
Berggrunnsavdelingen

Lars Petter Nilsson

Lars Petter Nilsson

5. REFERANSER

Geological Map, Northern Fennoscandia, 1:1 mill. Geological Surveys of Finland, Norway and Sweden, Helsinki 1987.

Lindberg, H. 1982: Användbeskrivning för GAMMA, ett datorprogram för beräkning av gravimetriska eller magnetiska anomalier. Upublisert. SGU-rapport FR8210/FM8219, 24 s.

Midtun , R.D. 1986: Geofysisk og geologisk tolkning av regionale strukturer innenfor kartbladene Karasjok, Galmatskai'di, Bæivasgieddi og Iesjåkka, Karasjok kommune, Finnmark. Upublisert NGU-rapport 86.209, 60 s. + 7 kartbilag.

Nilsson, L.P. 1987: Geologisk undersøkelse av to lokaliteter innenfor Jergul gneiskomplekset nordøst for Jergul, kbl. Iesjåkka, Finnmarksvidda. NGU-rapport 87.174, 25 s.

Often, M. m.fl. 1984: Kartblad 2033-4 Iesjåkka. Geologisk manuskriptkart/ arbeidskart.

Often, M. 1985: The early Proterozoic Karasjok Greenstone Belt of Norway; a preliminary description of lithologies, stratigraphy and mineralization. Nor. Geol. Unders. 403, 75-88.

Wennervirta,H. 1956: Kartblad Iesjåkka,M. 1:100 000.
Geologisk manuskriptkart. NGU - Kartarkivet.

Wennervirta,H. 1969: Karasjokområdets geologi.
Nor. Geol. Unders. 258, 131 - 184.

Tabell 1. Fortegnelse over lokaliteter for in-situ målt magnetisk susceptibilitet. Lokaliteter som i tillegg er prøvetatt og hvor prøvematerialet er målt på petrofysisk lab., NGU, er listet opp i tabell (med kode LPN85 i kolonnen lengst til høyre)

Lok. nr.	UTM-koord.	Bergart	Anm.
1	0610/0010	rød,middelskornet granitt	denne ene lok. ligger 400 m inne på kbl. Suossjavri. Senterkoordinater
9	2155/0520	arkose	
12	2970/0775	metased.m.	
13	0798/0035	py-impregn. gneis (J.G.C.)	
14	0827/0030	" (")	
16	0887/0080	" (")	
17	0900/0095	" (")	
18	0873/0085	" (")	
24	2690/0067	metagabbro	
25	2688/0070	"	
26	2685/0072	"	
27	2686/0075	"	
30	2468/9375	serisittkvartsitt	
32	2485/9368	"	
33	2470/9385	"	
35	2250/9203	glimmerskifer	
37	2325/9275	metasediment	
39	2333/9285	granatglimmerskifer	
43	2617/0130	serisittkvartsitt	
45	2575/0170	metagabbro	
46	2590/0190	"	
48	2455/0100	amfibolitt	
50	2435/0130	metakomatiitt?	
61	2362/8865	migmatitt	
62	2355/8853	"	
64	2428/9071	kvartsgl.sk.?	
67	1905/8889	rusten, sulfidholdig? kvartsitt?	
69	1780/8868	kvartsglimmerskifer	
74	2553/9216	amfibolitt?	senterkoordinater
75	2580/9208	amfibolitt?	
76	2616/9176	granatgl.sk.	senterkoordinater
80	2531/9160	metakomatiitt	
84	2948/0770	"	
85	2935/0070	"	
89	2640/0685	kvartsitt	
90	2665/0710	"	senterkoordinater
91	2670/0760	"	
93	2780/0850	"	
95	2785/0875	"	
96	2770/0885	"	
100	2430/9938	"	
101	2445/ 9935	" (1b?)	
106	2700/9940	"	
107	2675/9862	metasediment	
112	2685/9547	kvartsitt	
119	2567/9377	metasediment	
137	1960/8880	grnatamfibolitt	
138	2505/9190	metakomatiitt?	
139	2550/9150	?	

Tabell 2.

Fortegnelse over prøver med laboratoriemålt tetthet (kolonne 9) og magnetisk susceptibilitet (kolonne 10).

I kolonne 14 og 15 er vist hvem som har samlet inn (har stått ansvarlig for) prøvene og i hvilket år prøveinnsamlingen skjedde.

AK = Allan Krill

APS = Arne Sølli

AS = Anna Siedlecka

MO = Morten Often

OO = Odleiv Olesen

RDM = Reidar D. Midtun

SO = Svein Olerud

LPN = Lars Petter Nilsson

82	83A	20334	35	42520	769270	V23	GAB	granatamfibolitt	2938	0.0082	.23
86	86	20334	35	42404	769325	V23	GAB	granatamfibolitt	3066	.00137	2.23
87A	87A	20334	35	42947	770748	V24	GAB	tuffitt	3012	.00105	.37
87B	87B	20334	35	42950	770715	V23	GAB	amfibolitt	2996	.00116	.07
88	88	20334	35	42950	770715	V24	GAB	tuffitt	2647	.00009	.80
92A	92A	20334	35	42645	770755	S11	SKU	kvartsitt	2634	.00041	.5.25
92B	92B	20334	35	42685	770780	S11	SKU	diabas	2603	.00004	.1.12
94	94	20334	35	42685	770780	I62	SKU	kvartsitt	2950	.00091	.44
97	97	20334	35	42820	770865	S11	SKU	kvartsitt	2603	.00005	.1.33
98/1	98/1	20334	35	42820	770865	S11	SKU	kvartsitt	2611	.00008	-.99
99	99	20334	35	42620	770348	V23	GAB	amfibolitt	2946	.03967	.01
105	105	20334	35	42655	770385	S11	SKU	kvartsitt	2608	.00001	.19
108	108	20334	35	42573	769985	I55	GAB	metagabbro	3109	.00088	.08
109	109	20334	35	42597	769985	I55	GAB	metagabbro	3109	.00005	1.11
110/1	110/1	20334	35	42613	769997	I55	GAB	metagabbro	3139	.09195	.17
110/2	110/2	20334	35	42613	769997	I55	GAB	metagabbro	3134	.07419	.03
111	111	20334	35	42672	769977	S11	SKU	kvartsitt	2643	.00006	-.99
113	113	20334	35	42670	769939	V24	GAB	tuffitt	3020	.01291	.30
114	114	20334	35	42690	769796	S11	SKU	kvartsitt	2658	.00604	.61
115A	115A	20334	35	42715	769725	I55	GAB	metagabbro	3090	.07031	.24
115B	115B	20334	35	42715	769725	I55	GAB	metagabbro	3132	.06627	.33
116	116	20334	35	42690	769627	S11	SKU	serisittkvarstsitt	2653	.00011	.76
117	117	20334	35	42670	769985	V23	GAB	amfibolitt	3055	.00106	.27
118	118	20334	35	42630	769385	V23	GAB	glimmerkvarstsitt	3122	.19020	.22
120	120	20334	35	42660	769438	S11	SKU	glimmerkvarstsitt	2709	.01327	.00
121	121	20334	35	42660	769438	S11	SKU	glimmerkvarstsitt	2860	.05078	.1.33
122	122	20334	35	42660	769365	V23	BKA	tuffibolitt	2612	.00006	1.87
123/2	123/2	20334	35	42287	769360	I55	BKA	metagabbro	2637	.00003	-.99
124/1	124/1	20334	35	42292	769352	S24	BKA	glimmerklorittskifer	2683	.00017	.41
125	125	20334	35	42298	769344	V24	BKA	metagravakk/tuffitt	2637	.00036	-.99
126	126	20334	35	42298	769344	S24	BKA	metagabbro	3158	.01438	.32
127/1	127/1	20334	35	41960	768865	V23	BKA	glimmerkvarstsitt	2908	.00075	.15
128	128	20334	35	42495	769200	V23	BKA	glimmerkvarstsitt	2888	.00088	.1.08
129	129	20334	35	42480	769175	V23	BKA	glimmerkvarstsitt	3018	.00093	.09
130	130	20334	35	41915	768885	V23	BKA	glimmerkvarstsitt	3119	.00110	.11
131	131	20334	35	41980	768920	M08	GAS	glimmerkvarstsitt	3190	.001192	.13
132	132	20334	35	42535	768935	M08	GAS	glimmerkvarstsitt	3048	.00096	.15
133	133	20334	35	42580	769140	V31	BKA	metakomatit	3120	.00139	.4.09
134	134	20334	35	42495	769195	V31	BKA	metakomatit	3097	.00108	.06
135/1	135/1	20334	35	42485	768775	M08	GAS	migmatit	3027	.00082	.09
136/1	136/1	20334	35	40900	770200	M00	JER	gneis	2957	.00601	.19
136/3	136/3	20334	35	42440	771018	I62	SKU	diabas	3083	.00100	.07
136/5	136/5	20334	35	42440	771018	I62	SKU	diabas	3111	.00114	.08
3/1C	3/1C	20334	35	41240	770325	I70	JER	ultramaf.gang?	2946	.00101	.1.11
3/7A	3/7A	20334	35	41240	770325	I70	JER	ultramaf.gang	2998	.00207	.22
3/7B	3/7B	20334	35	41240	770325	I70	JER	ultramaf.gang	2989	.00136	.10
3/8B	3/8B	20334	35	41240	770325	I02	JER	granitt	2629	.00045	.24
3/8D	3/8D	20334	35	41240	770325	I02	JER	granitt	2620	.00030	.49
87001A	87001A	20334	35	40810	770060	M00	JER	gneis	2607	.00076	.06
87002A	87002A	20334	35	40810	770060	I62	JER	diabas	2795	.02180	.05
87002B	87002B	20334	35	40745	769945	M00	JER	gneis	2610	.00091	.92
87003A	87003A	20334	35	40745	769945	M00	JER	gneis bio.-rik	2731	.00624	.18
87003A	87003A	20334	35	40795	769990	M00	JER	gneis	2612	.00833	.14

87003B	40795	769990	M00	JER	gneis
87004	35	40810	770015	M00	JER gneis, mørk
87005	35	40840	770045	M00	JER gneis
87006	35	40890	770075	M00	JER gneis
87007	35	40945	770100	M00	JER gneis
87008	35	40965	770095	M00	JER gneis
87009	35	40650	769940	M00	JER gneis
87010A	35	40655	769990	M00	JER gneis
87010B	35	40655	769990	I62	JER diabas
87011	35	40655	770035	M00	JER gneis
87012A	35	40660	770090	M00	JER gneis
87012B	35	40660	770090	I55	JER gabbro
87013	35	40690	770125	M00	JER gneis
87014	35	40690	770210	M00	JER gneis
87015	35	40740	770220	M00	JER gneis
87016	35	40810	770155	M00	JER gneis
601A	20334	35	42865	770250	V23 GAB amfibolitt m/biotitt
601B	20334	35	42865	770250	V23 GAB amfibolitt
602	20334	35	42880	770240	V23 GAB amfibolitt
604	20334	35	43010	770190	V31 BAK metakomatitt
606	20334	35	42890	770285	S11 GAB kvartsitt
630A	20334	35	42970	770350	S24 GAB glimmerskifer
630B	20334	35	42970	770350	S11 GAB kvartsitt
630C	20334	35	42970	770350	S11 GAB kvartsitt
631	20334	35	42840	770250	V10 GAB interm. vulkanitt
632	20334	35	42780	770050	I55 GAB metagabbro
634	20334	35	42770	769970	S11 GAB kvartsitt
639	20334	35	43015	770350	S24 GAB grnt glimmerskifer
640	20334	35	42760	769475	S11 GAB kvartsitt
641A	20334	35	42790	769430	V23 GAB glimmerskifer
641B	20334	35	42790	769430	V23 GAB amfibolitt
642	20334	35	42795	769410	I72 GAB pyrokseinit
643A	20334	35	42800	769400	I62 GAB albittdiabas
643B	20334	35	42800	769400	I62 GAB albittdiabas
647	20334	35	42795	769240	I62 GAB metakomatitt
650	20334	35	42795	769195	V31 BAK metakomatitt
632A	20334	35	42780	770050	I55 metagabbro
632B	20334	35	42780	770050	I55 metagabbro
652	20334	35	42830	769170	V31 BAK metakomatitt
603A	20334	35	42990	770190	V31 BAK metakomatitt
603B	20334	35	42990	770190	V31 BAK metakomatitt
313A	20334	35	40860	770070	I03 JER mørk granodioritt
313A/2	20334	35	40860	770070	I03 JER granodioritt
313A/3	20334	35	40860	770070	I03 JER kvartsdioritt
313B	20334	35	40860	770070	M04 JER kvartsdioritt-amf. gneis
314A	20334	35	40875	770045	I03 JER lys granodioritt
314A/2	20334	35	40875	770045	I03 JER lys granodioritt
314B	20334	35	40875	770045	I30 JER dioritt
314B/2	20334	35	40875	770045	I30 JER dioritt
16E	20334	35	41370	768440	S24EGAB metasedim. granatfør.
16G	20334	35	41460	768660	M31EGAB omv. bergart kvlinse
117A	20334	35	41390	769070	M01JER grannitisk gneis
117B	20334	35	41460	769040	S13EGAB meta siltstein
117E	20334	35	41540	769070	S41EGAB marmor
117F	20334	35	41550	769060	I55EGAB mylonittisk gabbro
117G	20334	35	41670	769090	V31HGAB komatisulf. føren.
118A	20334	35	42840	769670	M00EGAB gneis /fol. Kongl.
118C	20334	35	42840	769670	I62HGAB doleritt
118E	20334	35	42860	769670	I62HGAB doleritt
119A	20334	35	42000	768930	S24MRAI skifer

19B	42000	7688930	V23MBAK	amfibolitt		84
19E	42000	7688930	V23MBAK	amfibolitt		84
19F	42150	7688820	S24MRAI	skiffer		84
19G	42200	7688820	V23MRAI	amfibolitt		84
19H	42200	7688820	M00MGA	gneis? brecciert		84
19K	42300	7688820	M00MGA	granatförende gneis		84
19L	42300	7690900	M00MGA	kalksilikat		84
19N	42300	7691120	S41MGAS			84
20A	41820	7691130	V23MRAI	amfibolitt		84
20B	41820	7691130	I03HBAK	granodioritt		84
20C	41760	7691130	I03HBAK	amfibolitt		84
20D	41730	7691140	I03HBAK	granodioritt		84
20F	41850	7690500	I03HBAK	granodioritt		84
20G	41950	7688970	M04MRAI	glimmergneis		84
20H	41950	7688970	M04MRAI	glimmergneis		84
20I	41950	7688970	M04MRAI	glimmergneis		84
20K	41950	7688970	M04MRAI	glimmergneis		84
21A	41610	7697970	I02EJER	Jergui gneis granitt		84
21B	41610	7697970	M00EJER	gneis		84
21C	41075	769425	V23EJER	amfibolitt linse		84
21D	41075	769425	M00EJER	gneis		84
21H	41760	769480	V31EBAK	omvändl. komat. skiffr.		84
21I	41940	770020	V23EBAK	amfibolitt		84
21K	41940	770020	V23EBAK	amfibolitt		84
22A	41600	769235	V23HBAK	amfibolitt		84
22B	41620	769330	V23HBAK	amfibolitt m/granat		84
22A	41620	768640	M00MRAI	(migmatit) gneis		84
23A	42350	768640	M01MRAI	granatisk gneis		84
23C	42350	768650	M04MRAI	glimmergneis		84
23D	42350	768760	M02MRAI	glimmergneiss		84
23F	42300	768760	M02MRAI	glimmergneiss		84
24A	42410	769040	S20MRAI	kyanitt glimmergneiss		84
24B	42410	769040	S20MRAI	kyanitt glimmergneiss		84
24C	42410	769040	S20MRAI	kyanitt glimmergneiss		84
24D	42410	769040	S20MRAI	kyanitt glimmergneiss		84
24E	42410	769040	S20MRAI	kyanitt glimmergneiss		84
24F	42410	769040	S20MRAI	kyanitt glimmergneiss		84
24G	42410	769040	S20MRAI	kyanitt glimmergneiss		84
24I	42410	769040	M04MRAI	glimmergneis		84
24G/1	42430	769040	M04MRAI	glimmergneis		84
24G	42430	769065	M04MRAI	glimmergneis		84
24M	42440	769102	V31HBAK	komattit		84
24D/1	42440	769102	V31HBAK	komattit		84
24G/2	42440	769102	S53HBAK	jerformasjon		84
24R	42440	769102	S53HBAK	jerformasjon		84
24S	42440	769102	S53HBAK	jerformasjon		84
24U	42440	769130	M02HBAK	glimmergneiss		84
24V	42440	769130	M02HBAK	glimmergneiss		84
24W	42500	769200	S24HGB	glimmerskifer		84
25B	42295	769115	I55MRAI	gabbro m/kis		84
25C	42295	769115	I55MRAI	gabbro m/kis		84
25L	42170	769160	M04MRAI	glimmergneis		84
27D	41780	769970	V31EBAK	komattit		84
27E	41625	769970	M00EJER	gneis/granitt		84
52A	42970	779660	S24PLEV	granulitt		84
52B	42940	779640	I03HLEV	granodioritt		84
18F	42270	769640	M00HGB	gneis felsrik		84
19I	42270	769060	M00MGA	gneis m/granit		84
21E	41375	769450	S24EGAB	skifer		84
20334	41520	769430	S24EGAB	musk.skifer		84
20334	41520	769430	S24EGAB	musk.skifer		84

Frekvensdiagrammer over in-situ målt
magnetisk susceptibilitet

SUSCEPTIBILITETSMÅLINGER

35 måleomr./måtelok.
313 målinger

Kartblad 2033-4 Iesjákka
Bergart KVARTSITT
Dato juli - august 1985

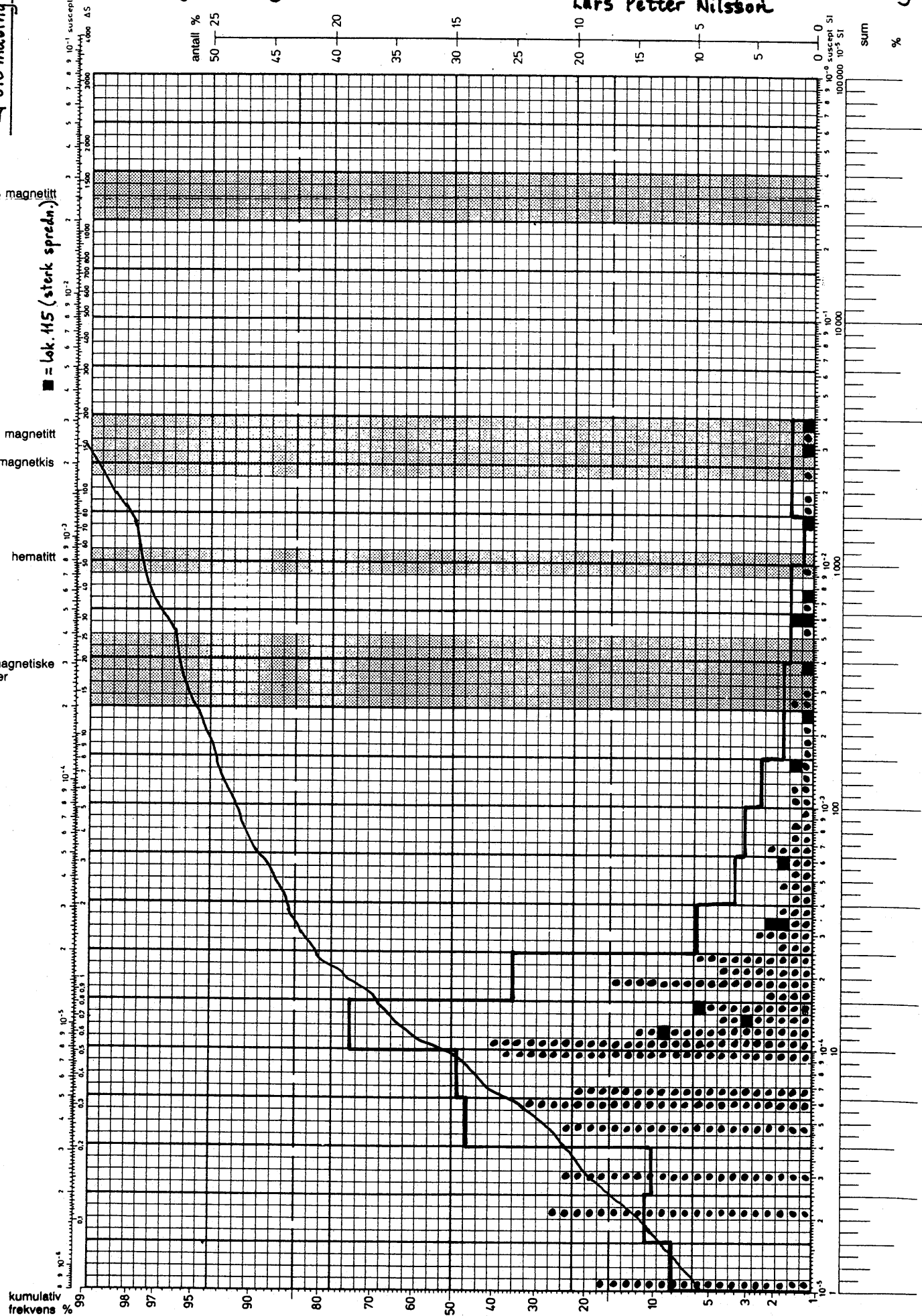
Område Skurvanv. + Gållebaike Fm.
Prosjekt nr. 1886. 41
Observatør Ronald Bratberg, Jørner Staur og
Lars Petter Nilsson

ca. 10% magnetitt

■ = lok. 415 (sterk spredn.)

ca. 1% magnetitt
magnetkis

hematitt

paramagnetiske
silikater

SUSCEPTIBILITETSMÅLINGER

Kartblad

Iešjakka

Område

Skuvvanvarri Fm.

Bergart

KVARTSITT

Prosjekt nr.

1886.41

Dato

1985

Observatør

RB, JS, LPN

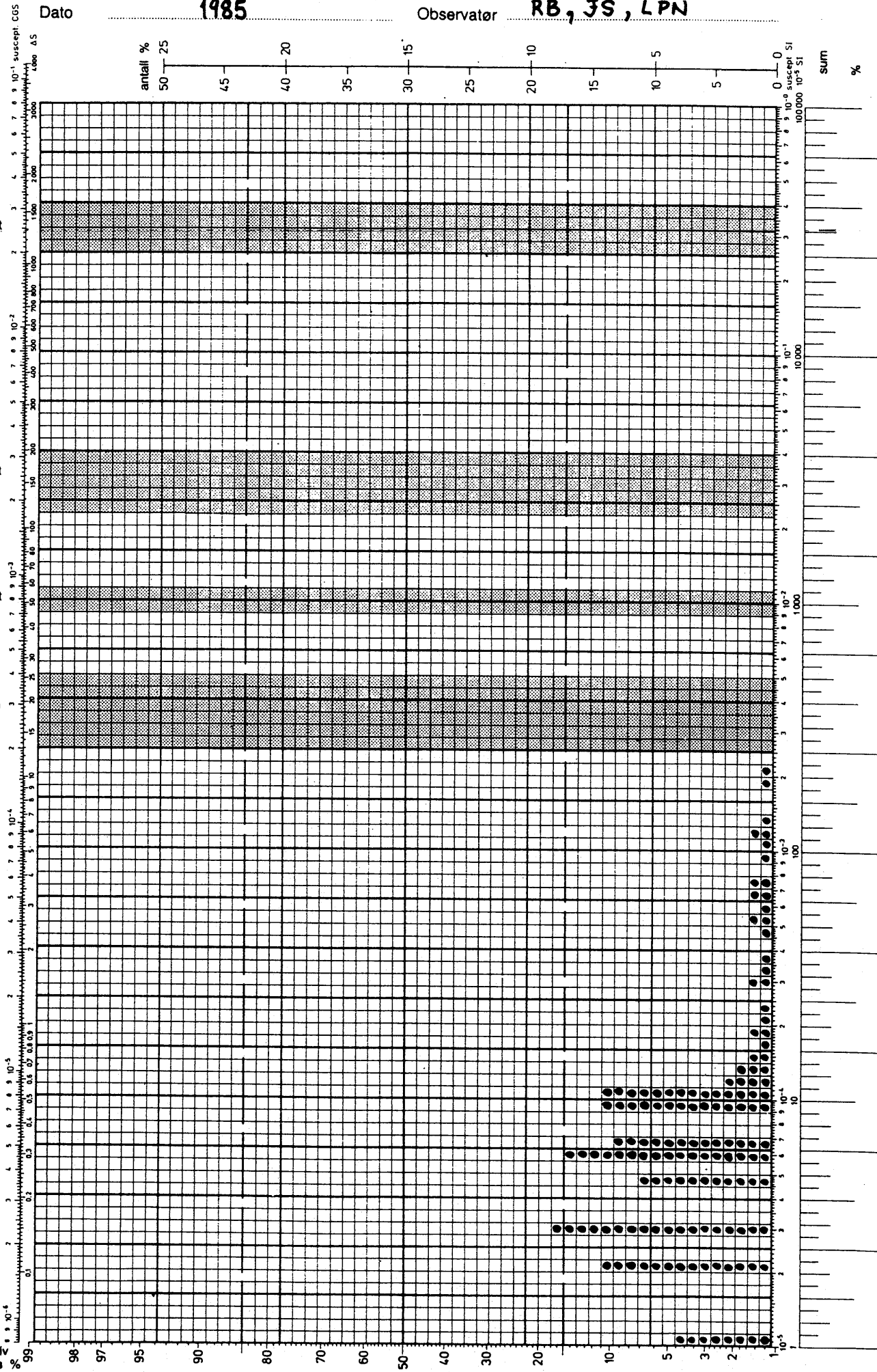
ca. 10% magnetitt

ca. 1% magnetitt

magnetkis

hematitt

paramagnetiske silikater



SUSCEPTIBILITETSMÅLINGER

Kartblad

Iešjakkå

Område

Gallebaike Fm.

Bergart

KVARTSITT

Prosjekt nr.

1886. 41

Dato

1985

Observatør

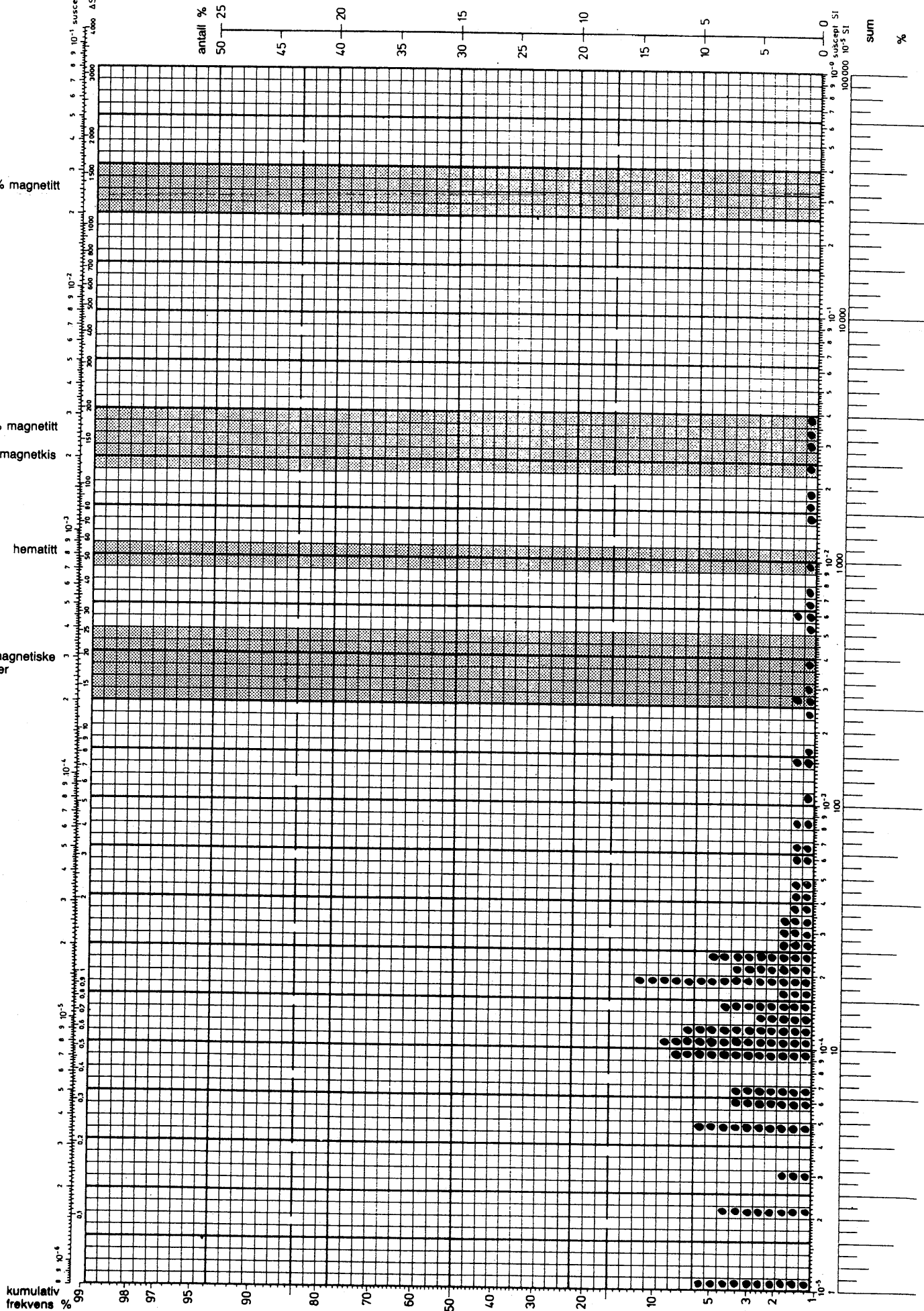
RB, JS, LPN

ca. 10% magnetitt

ca. 1% magnetitt

magnetkis

hematitt

paramagnetiske
silikater

SUSCEPTIBILITETSMÅLINGER

W 19 måleomr. /målelok.
W W 146 målinger

Kartblad

Iešjákka

Bergart

METAPELITT

Område

Gallebaike-, Bakkilvarré- og
Raitegårz Fm.

Dato

juli-aug. 1985

Prosjekt nr.

1886.41

Observatør

RB, JS, LPN

ca. 10% magnetitt

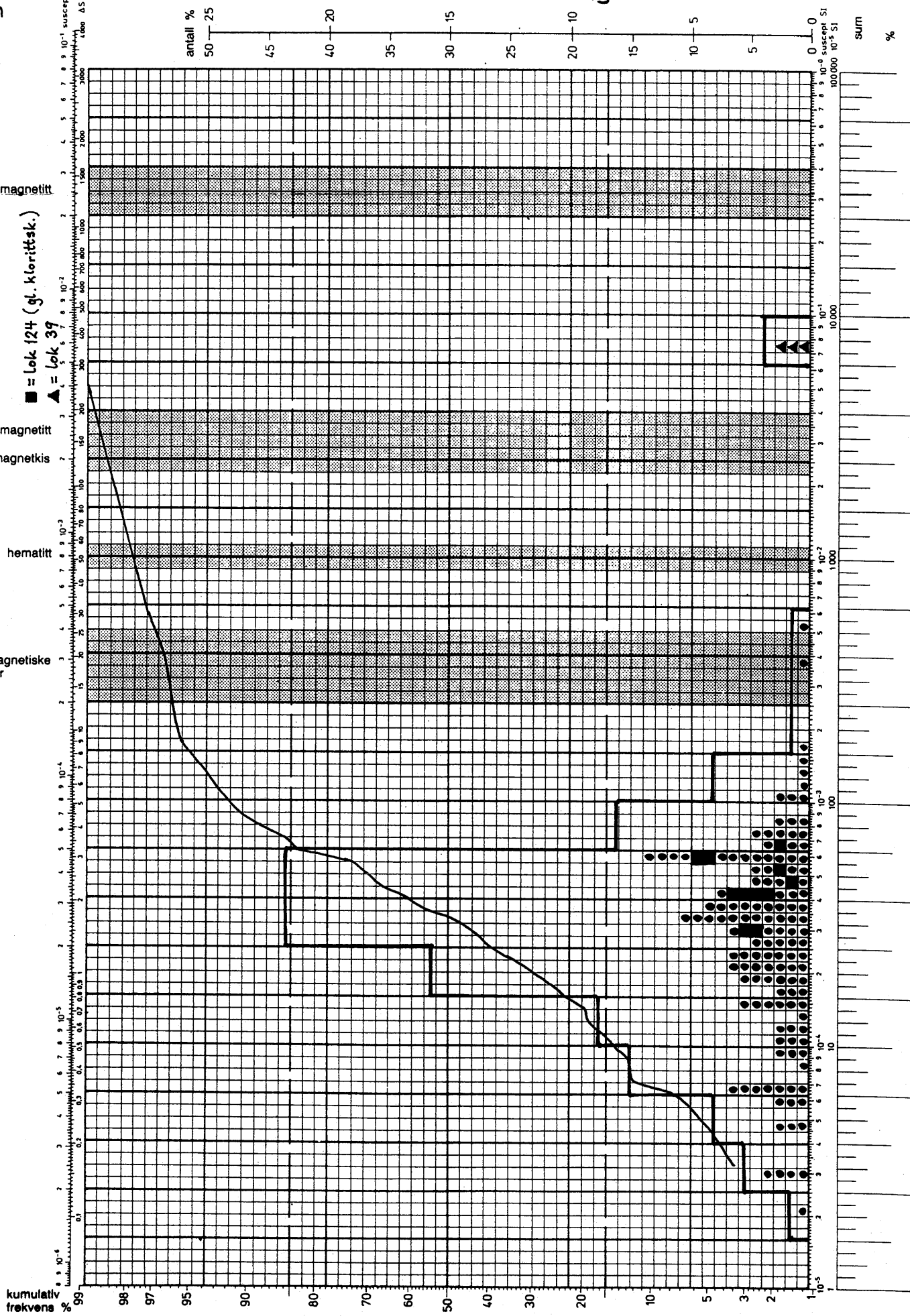
■ = lok 124 (gl. korittsk.)

▲ = lok 39

ca. 1% magnetitt

magnetisk

hematitt

paramagnetiske
sillikater

SUSCEPTIBILITETSMÅLINGER

Kartblad

Ješjäkka

Område

Gallebaike - Fm.

Bergart

METAPELITT

Prosjekt nr.

1886.41

Dato

juli - august 1985

Observatør RB, JS, LPN

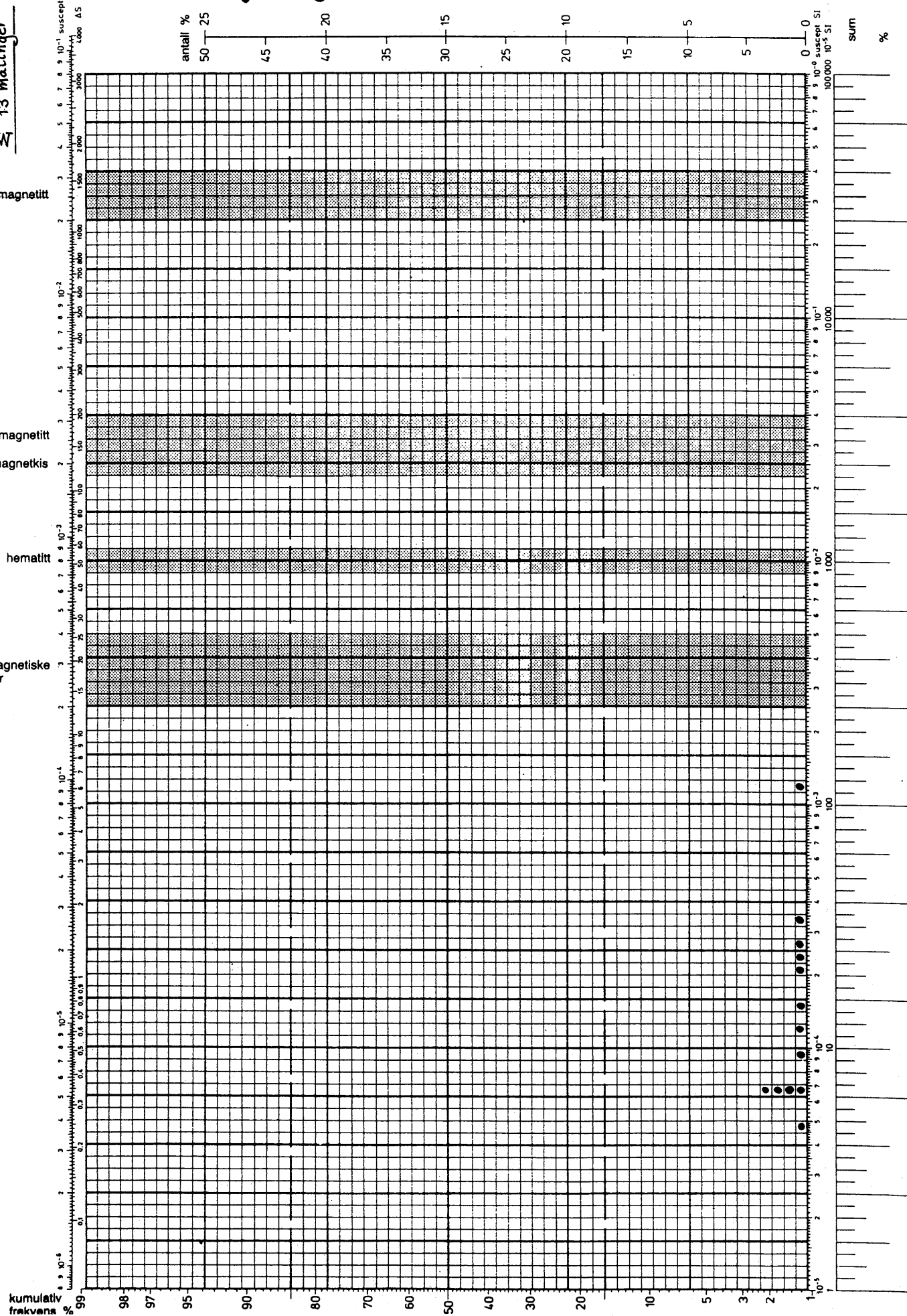
W
ca. 13 målinger

ca. 10% magnetitt

ca. 1% magnetitt

magnetkis

hematitt

paramagnetiske
sillkater

SUSCEPTIBILITETSMÅLINGER

Kartblad Iesjäkka
 Bergart METAPELITT
 Dato jul.-aug. 1985

Område Bakkilvarri - Fm.
 Prosjekt nr. 1886.41
 Observatør RB, JS, LPN

W
81 målinger

ca. 10% magnetitt

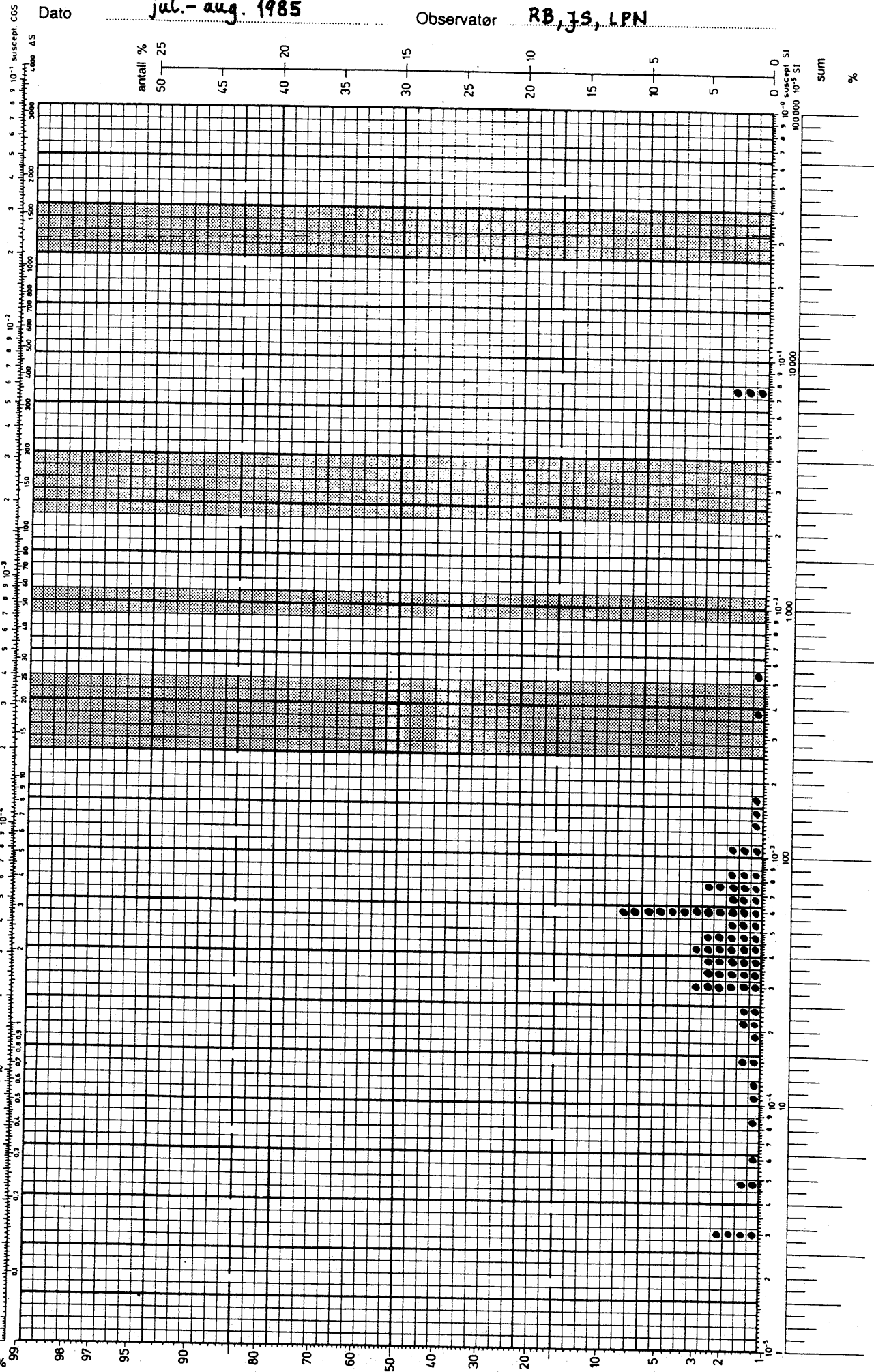
ca. 1% magnetitt

magnetkis

hematitt

paramagnetiske
silikater

kumulativ
frekvens



SUSCEPTIBILITETSMÅLINGER

Kartblad Iešjakkå
 Bergart METAPELITT
 Dato 1985

Område Raitegårzi-Fm.
 Prosjekt nr. 1886.41
 Observatør RB, JS, LPN

52 målinger

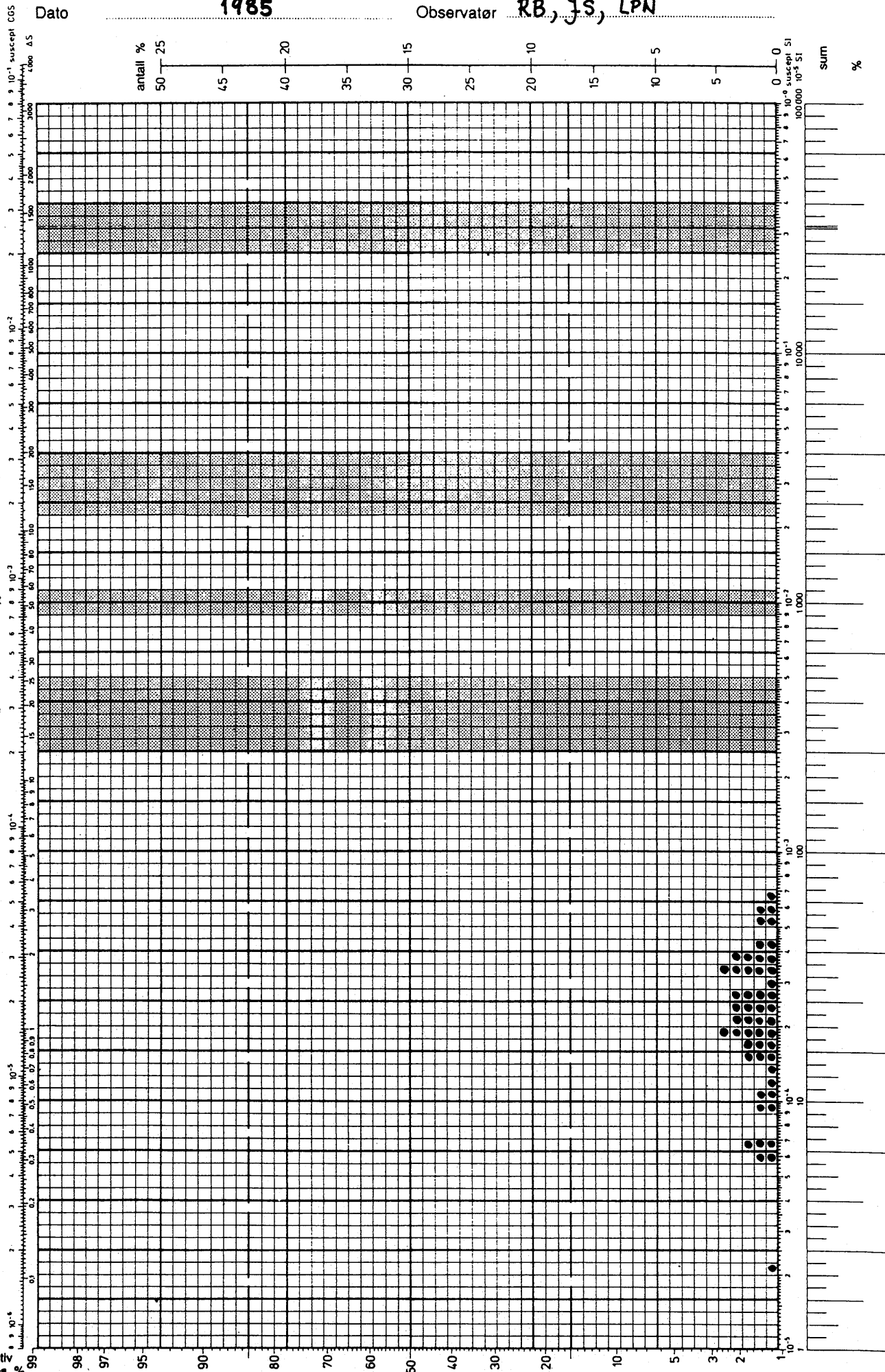
ca. 10% magnetitt

ca. 1% magnetitt
magnetkis

hematitt

paramagnetiske
silikater

kumulativ
frekvens



SUSCEPTIBILITETSMÅLINGER

(40)

Kartblad

Iešjakkå

Område

Skuvvanvarri - Fm.

Bergart

DIAMIKTITT (kg/l)

Prosjekt nr.

1886.41

Dato

juli-aug 1985.

Observatør RB, J.S., LPN

1 måleomr.
 $\Sigma 26$ målinger

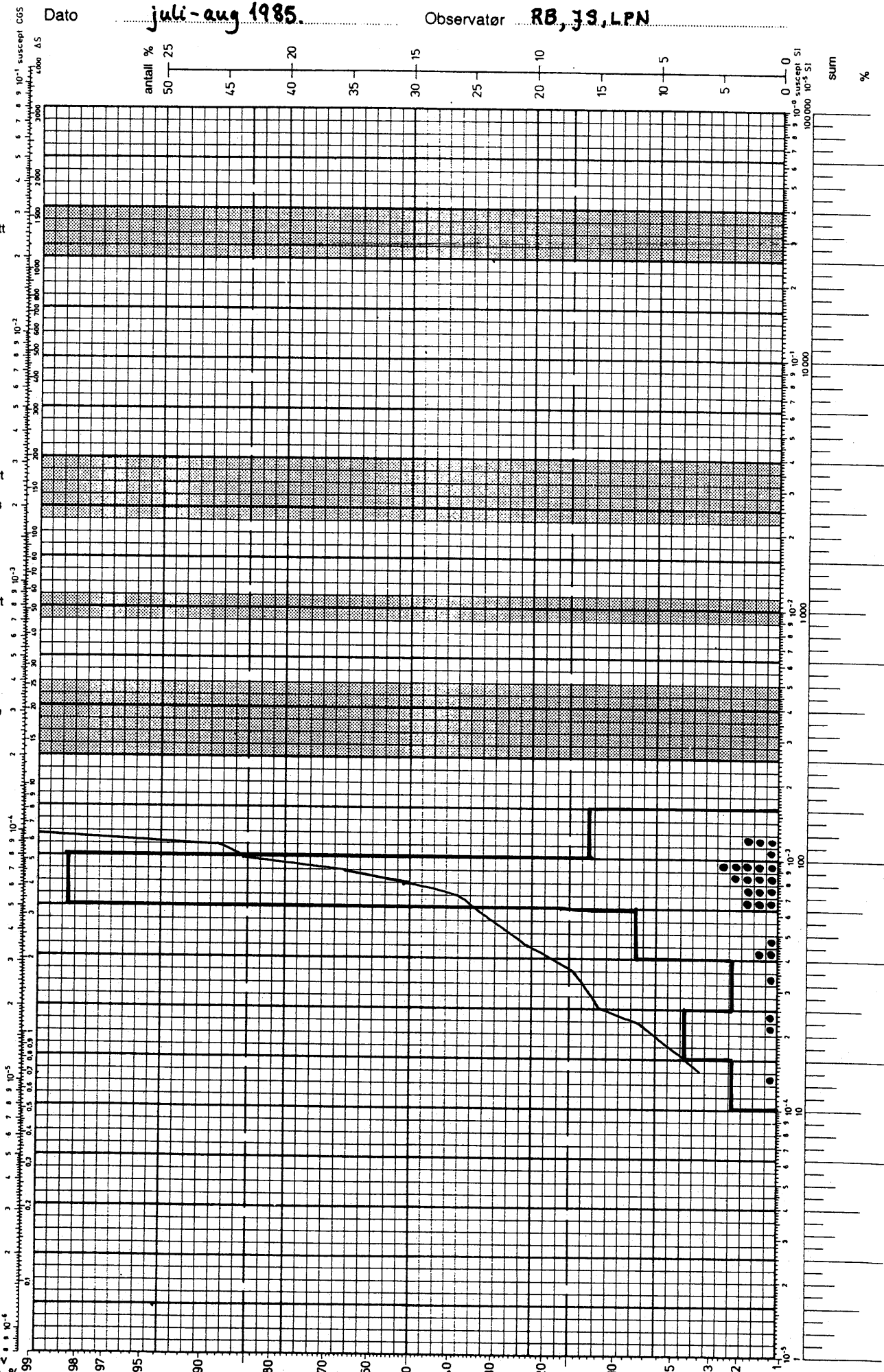
ca. 10% magnetitt

ca. 1% magnetitt
magnetkis

hematitt

paramagnetiske
silikater

11.10.10.82



SUSCEPTIBILITETSMÅLINGER

Kartblad

Iešjäkka.

Område

Gälleba

Bergart

TUFFITT (nest maf.t.)

Projekt nr.

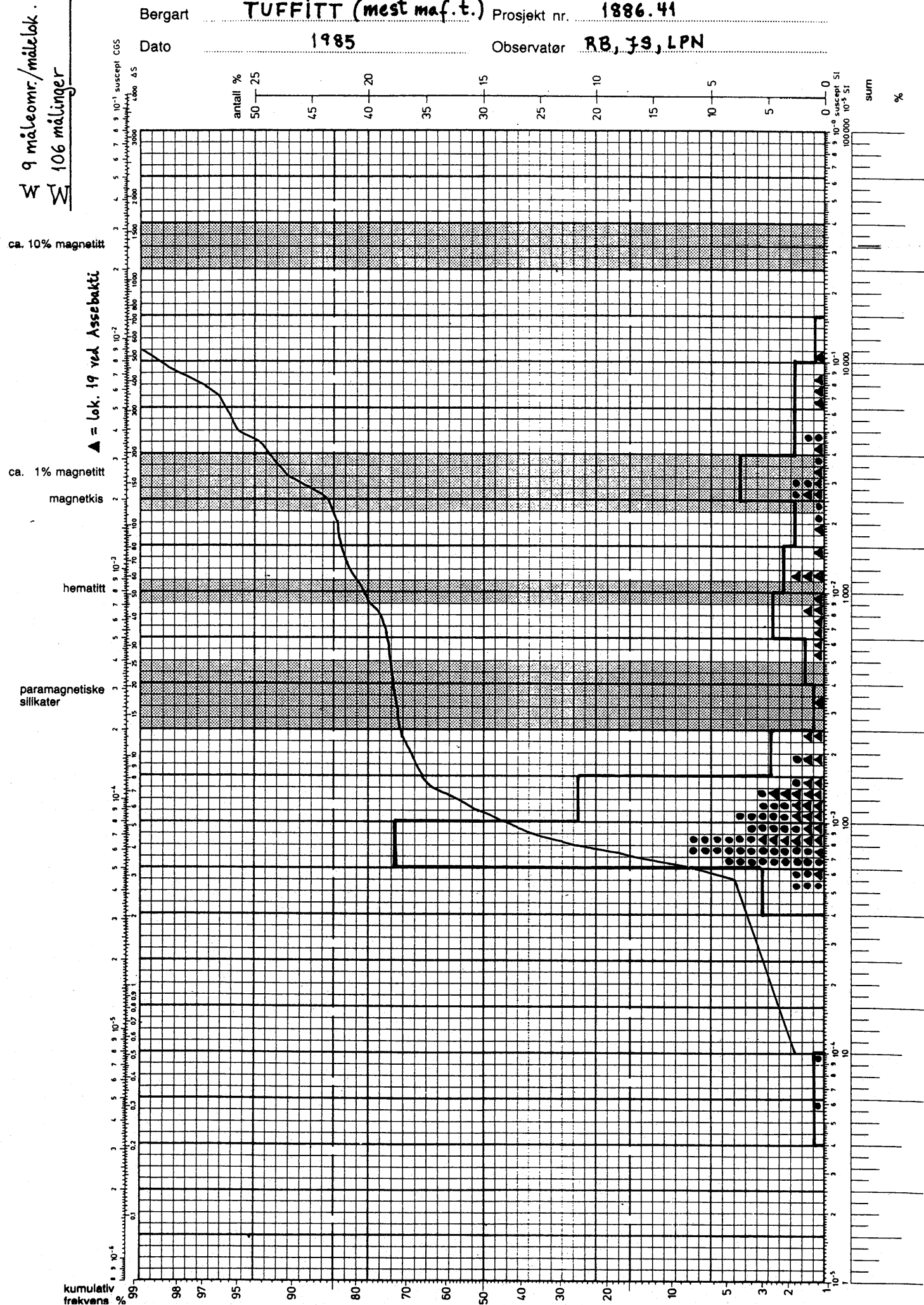
1886.41

Dato

1985

Observator

1886. 41



SUSCEPTIBILITETSMÅLINGER

Kartblad

Iešjakkå

Område

Gallebaike-Fm.

Bergart

TUFTITT

Prosjekt nr.

1886. 41

Dato

1985

Observatør

RB, JS, LPN

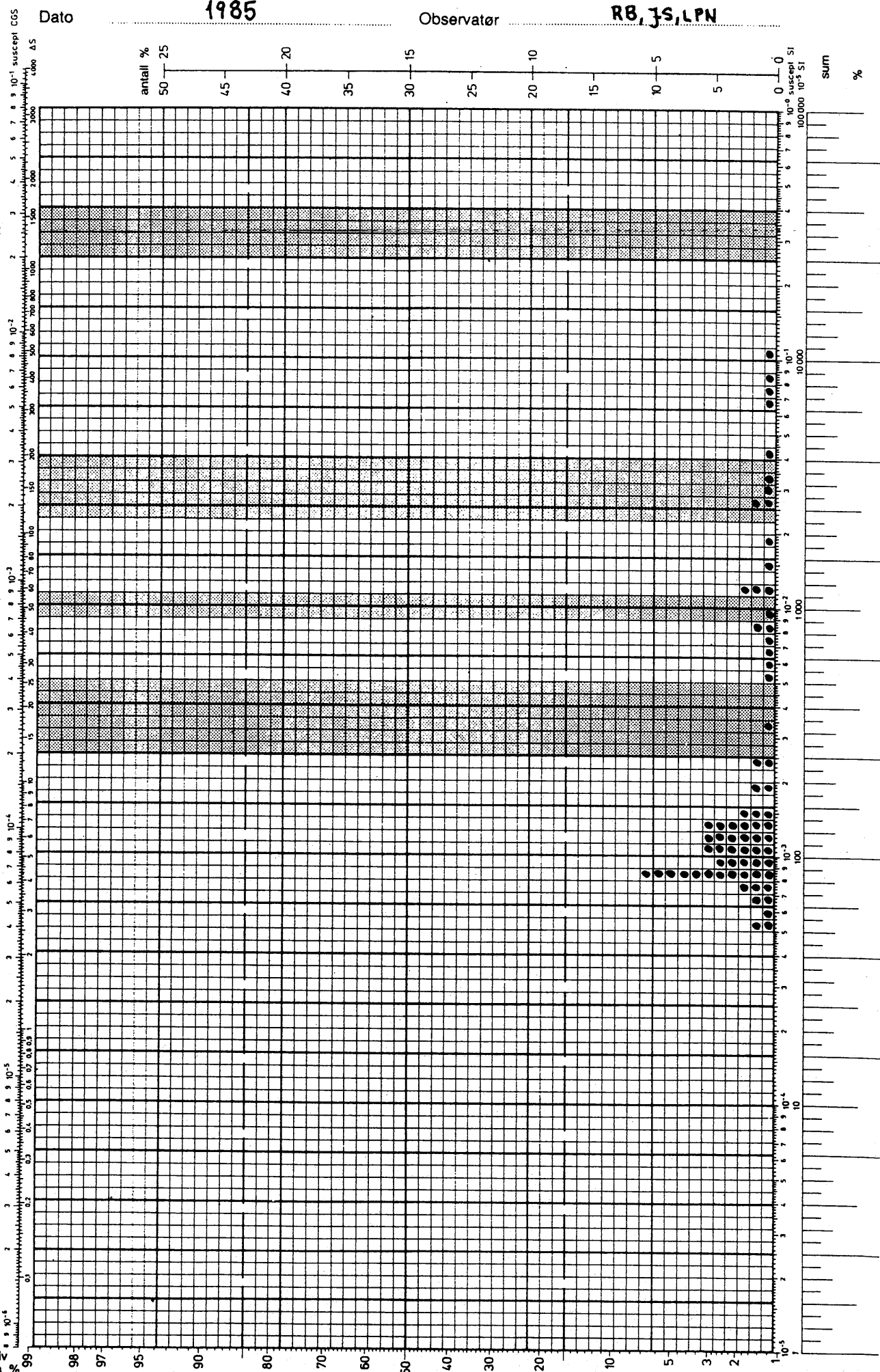
74 målinger

ca. 10% magnetitt

ca. 1% magnetitt

magnetkis

hematitt

paramagnetiske
silikaterkumulativ
frakvens

SUSCEPTIBILITETSMÅLINGER

(43)

Kartblad

Iešjäkka

Området

Bakkilvarri - Fm

Bergart

TUFFIT

Projekt nr

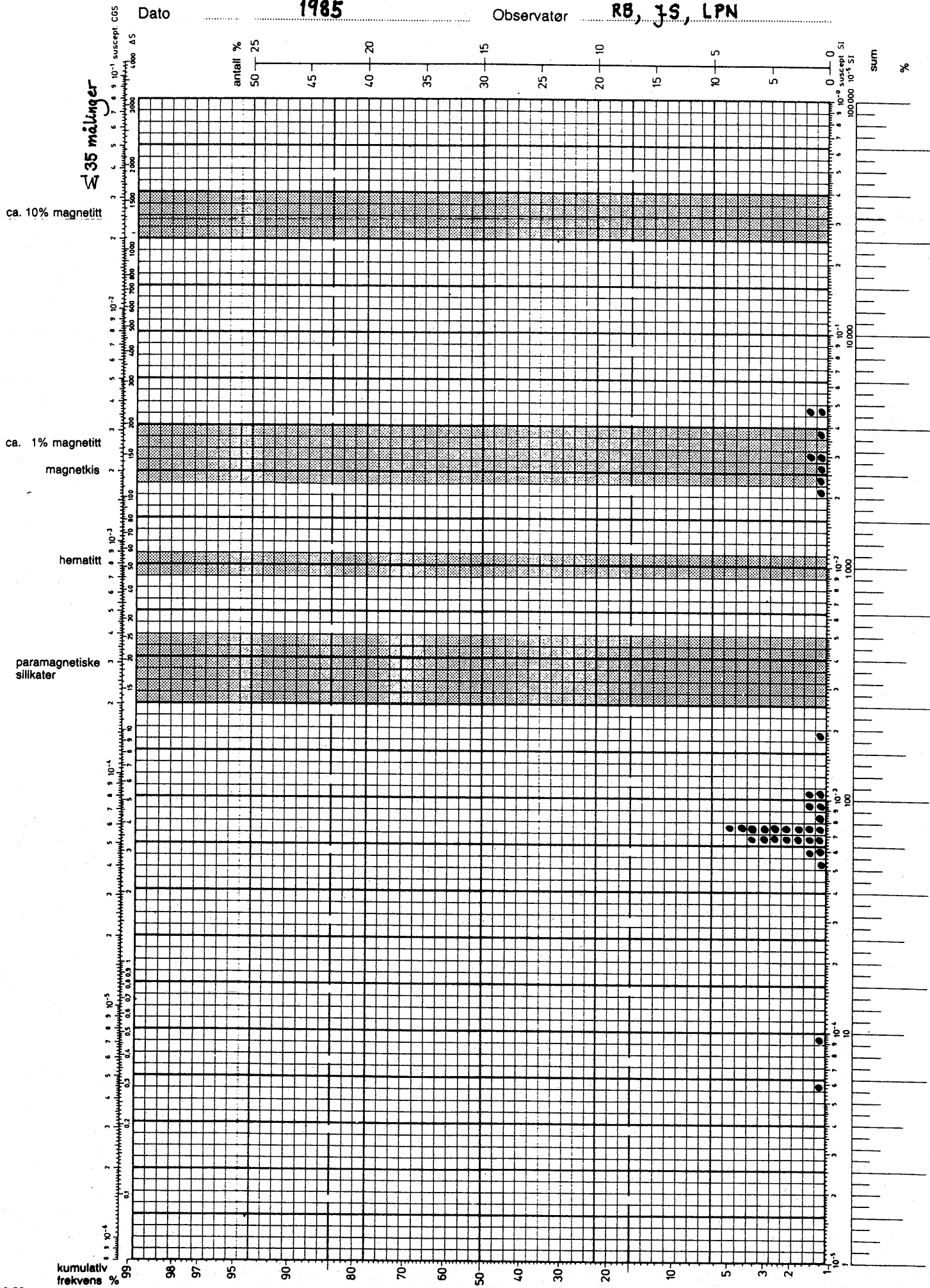
1886. 41

Dato

1985

Observator

RB, TS, LPN



SUSCEPTIBILITETSMÅLINGER

Kartblad

iešjakkå

Område

Gallebaike- og Bakkilvarri - Fm.

Bergart

AMFIBOLITT

Prosjekt nr.

1886. 41

Dato

1985

Observatør

RB, JS, LPN

W 22 måleomr. / -målinger
W 234 målinger

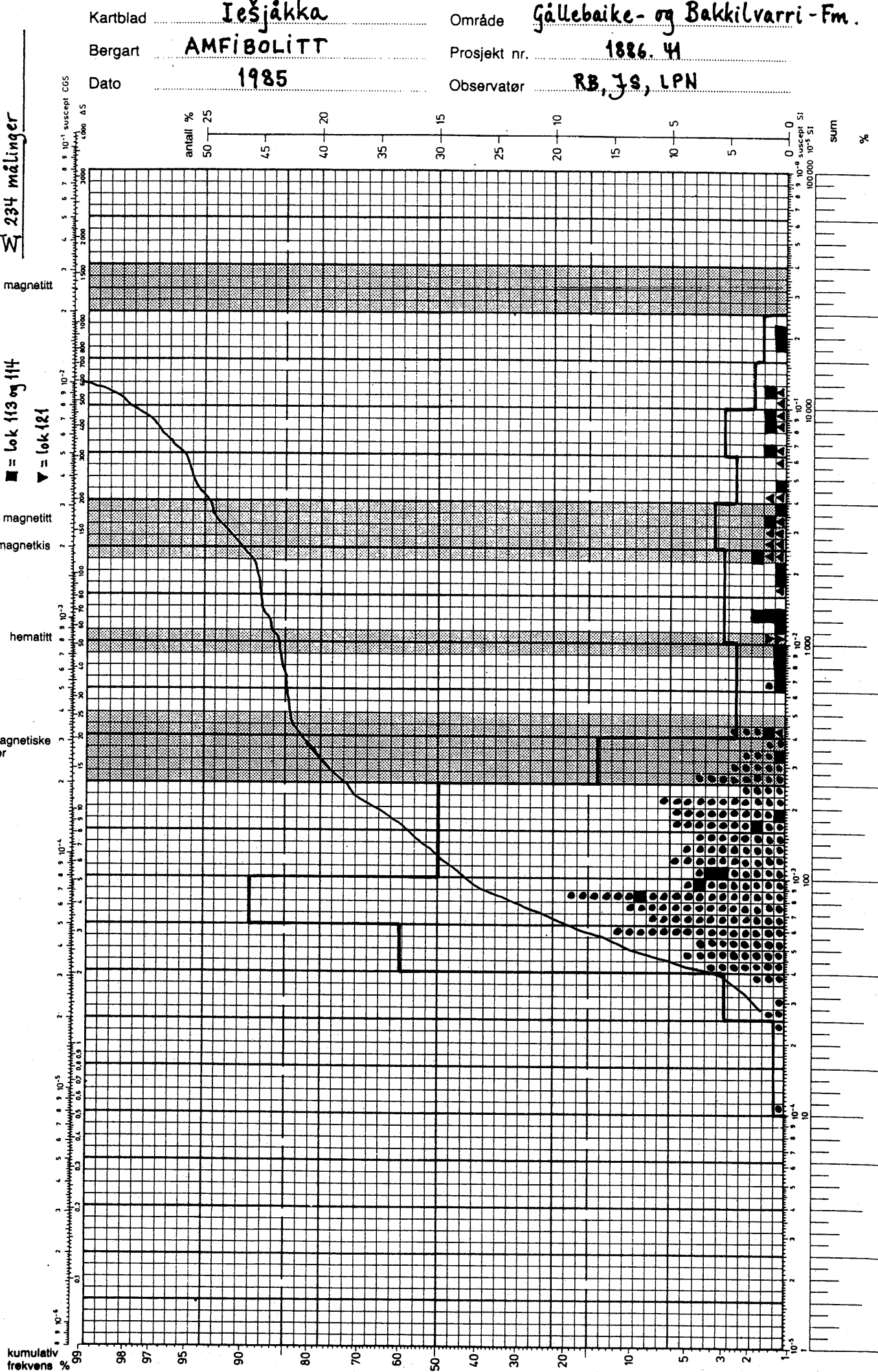
ca. 10% magnetitt

▲ = lok 98
■ = lok 113 og 114
▼ = lok 121

ca. 1% magnetitt

magnetkis

hematitt

paramagnetiske
silikater

SUSCEPTIBILITETSMÅLINGER

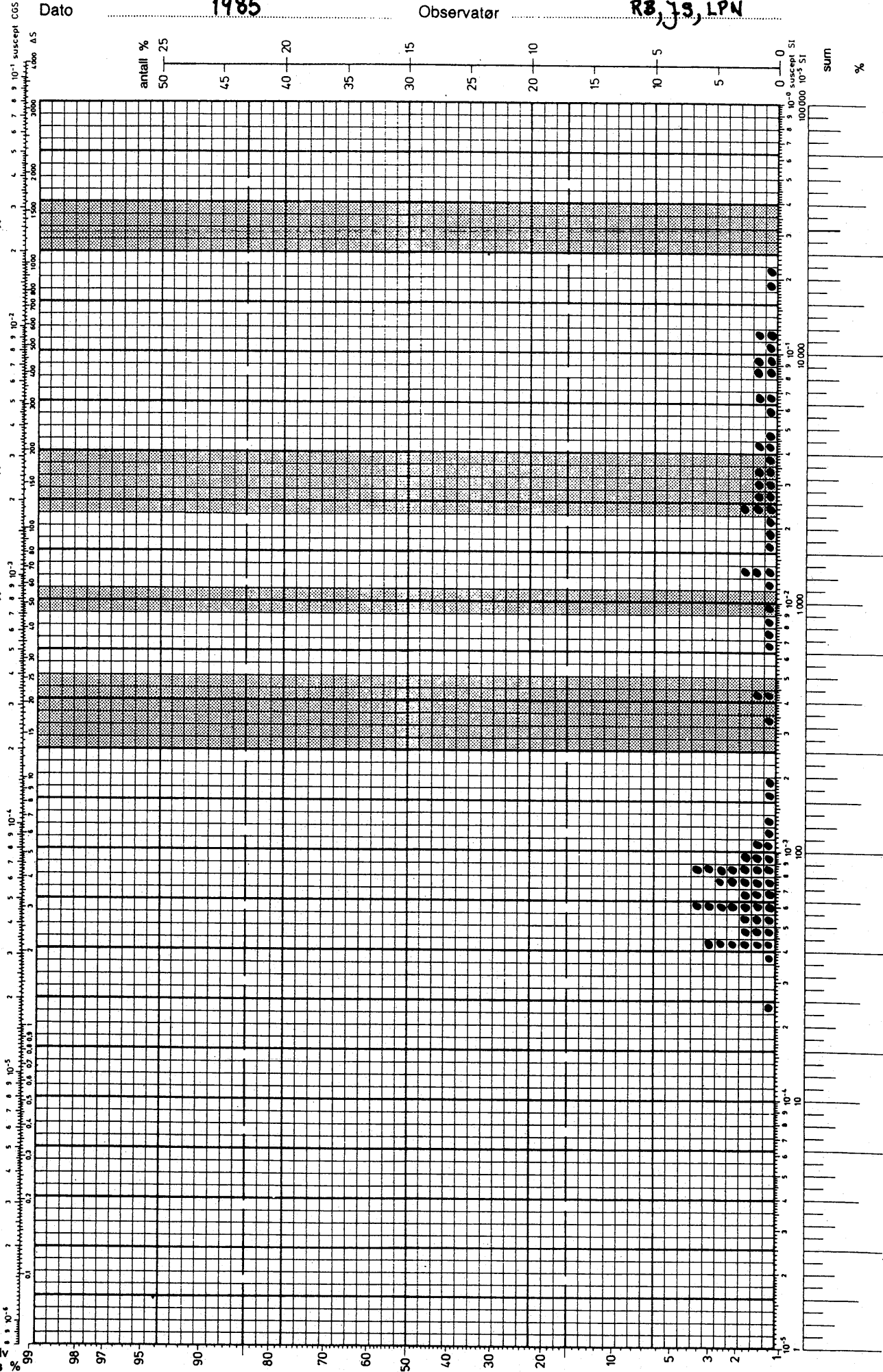
(45)

Kartblad **Iesjäkka**
 Bergart **AMFIBOLITT**
 Dato **1985**

Område **Gállebaikke - Fm.**
 Prosjekt nr. **1886. 41**
 Observatør **R8, J3, LPN**

W 84 mälinger

ca. 10% magnetitt



SUSCEPTIBILITETSMÅLINGER

Kartblad

Iešjakkå

Område

Bakkilvarri-Fm.

Bergart

AMFIBOLITT

Prosjekt nr.

1886.41

Dato

1985

Observatør

RB, JS, LPN

ca. 150 målinger

ca. 10% magnetitt

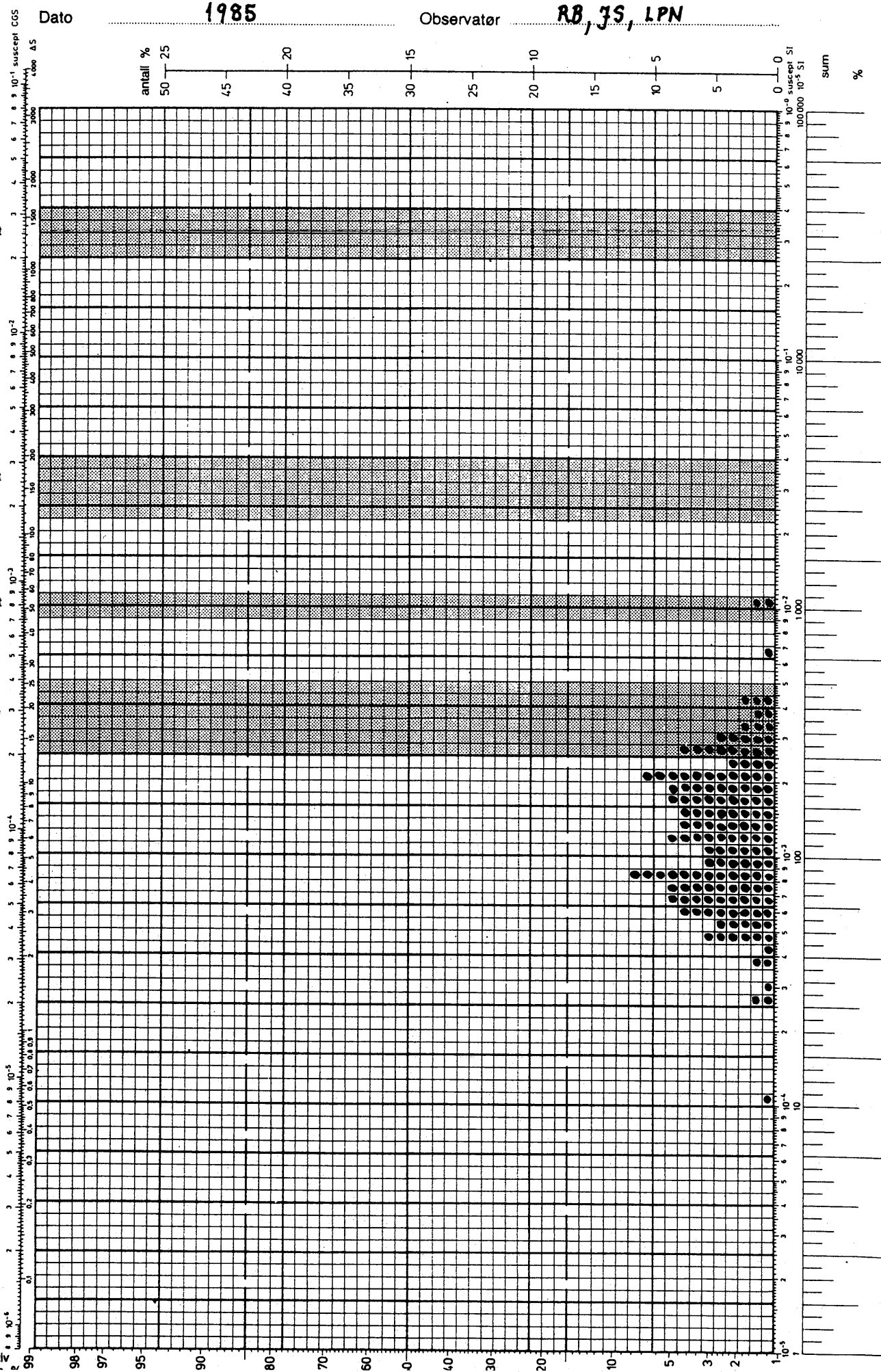
ca. 1% magnetitt

magnetkis

hematitt

paramagnetiske
silikater

kumulativ



SUSCEPTIBILITETS MÅLINGER

11 måleområder / lokaliseter
128 målinger

Kartblad Iešjakk
Bergart METAKOMATIITT
Dato 1985

Område Gallebaie - og Bakkilvarri Fm.
Prosjekt nr. 1886. 41
Observatør RB, JS, LPN

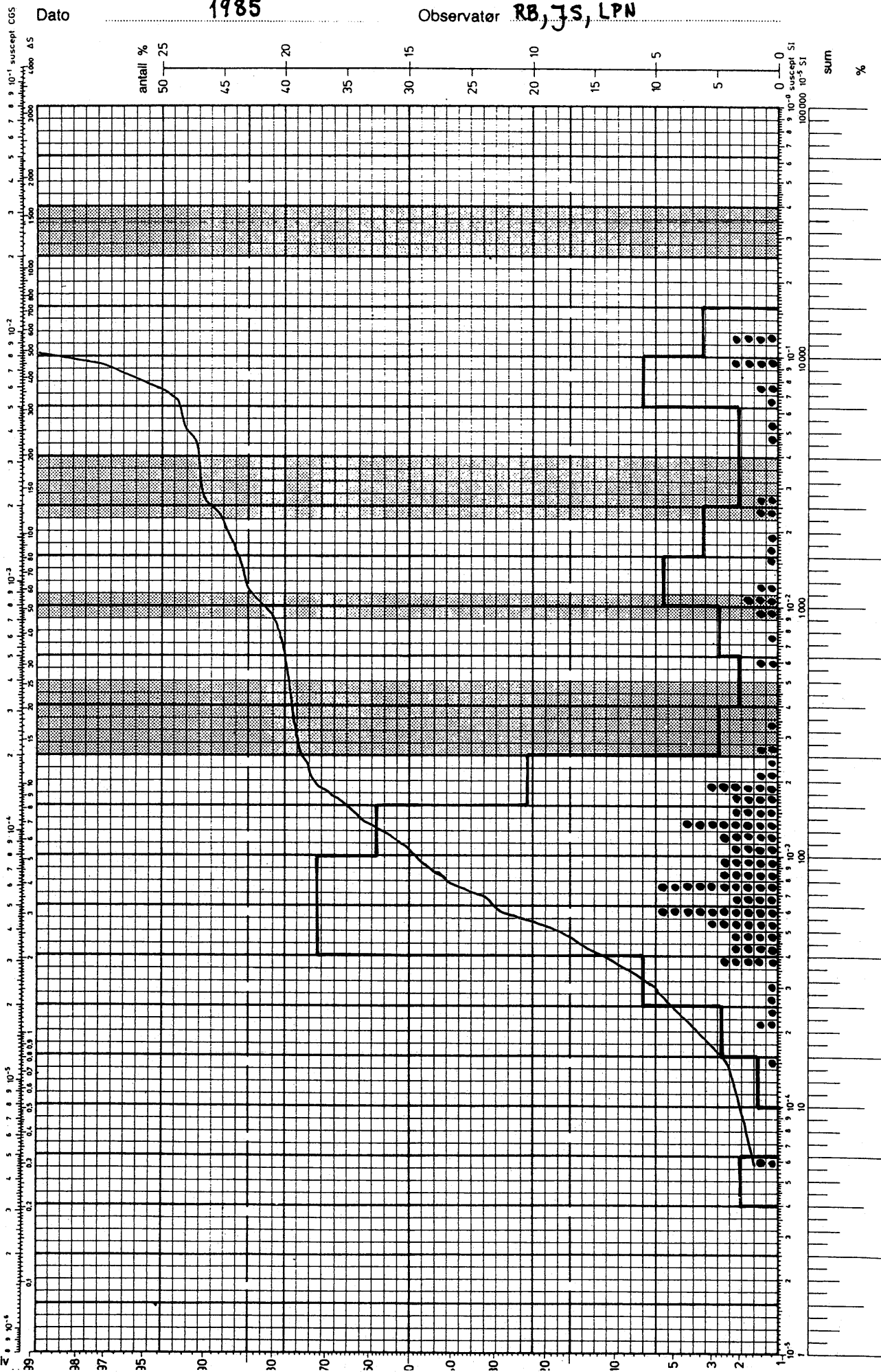
ca. 10% magnetitt

ca. 1% magnetitt
magnetkis

hematitt

paramagnetiske
sillikater

kumulativ



SUSCEPTIBILITETSMÅLINGER

Kartblad Iešjäkka
 Bergart METAKOMATIITT
 Dato 1985

Område Gållebaike - Fm.
 Prosjekt nr. 1886. 41
 Observatør RB, JS, LPN

W 32 målinger

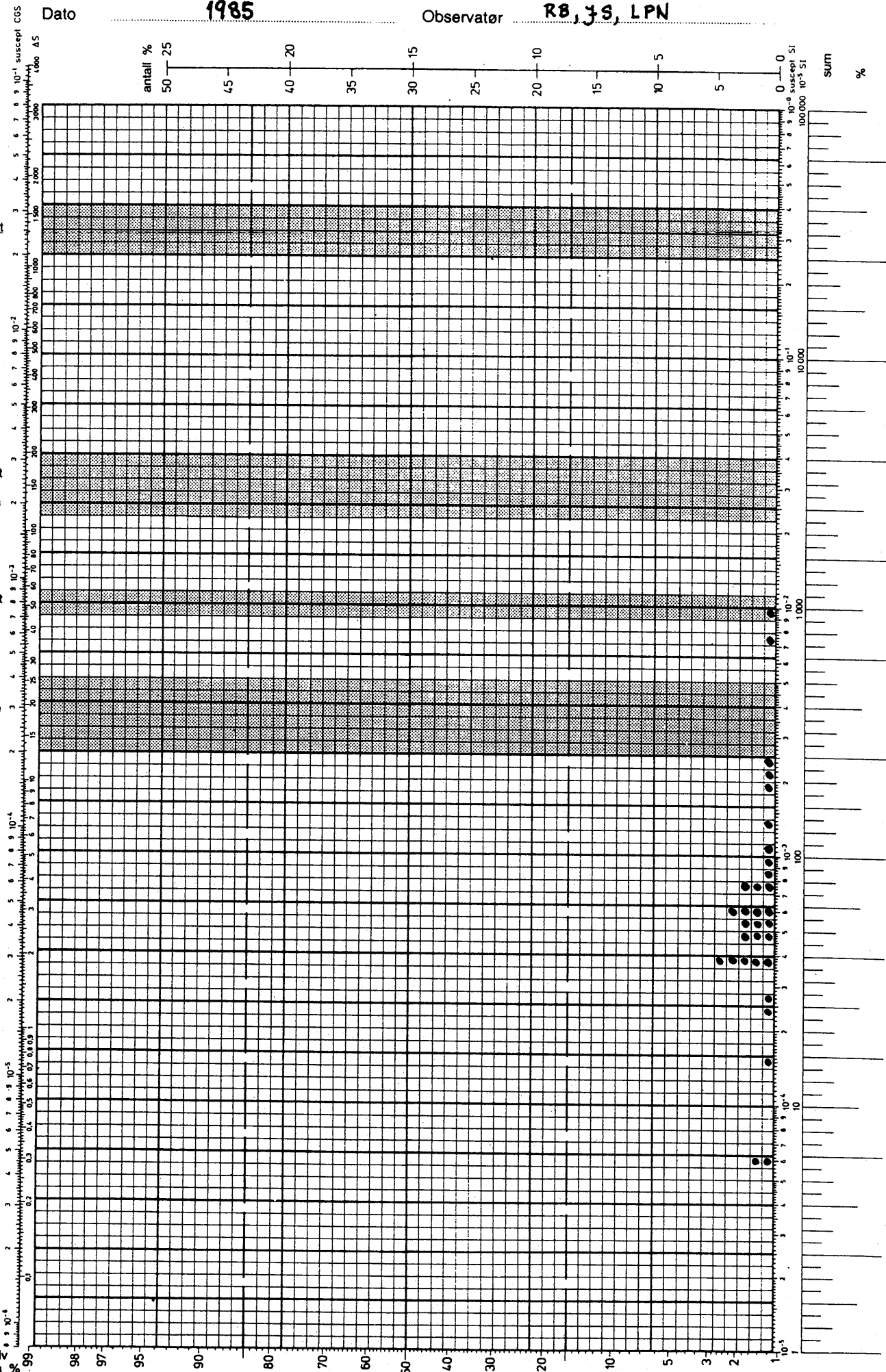
ca. 10% magnetitt

ca. 1% magnetitt
magnetkis

hematitt

paramagnetiske
silikater

kumulativ
frekvens



SUSCEPTIBILITETSMÅLINGER

Kartblad Iešjakkå
 Bergart METAKOMATIITT
 Dato 1985

Område Bakkivarri - Fm.
 Prosjekt nr. 1886. 41
 Observatør RB, JS, LPN

ca. 93 målinger

ca. 10% magnetitt

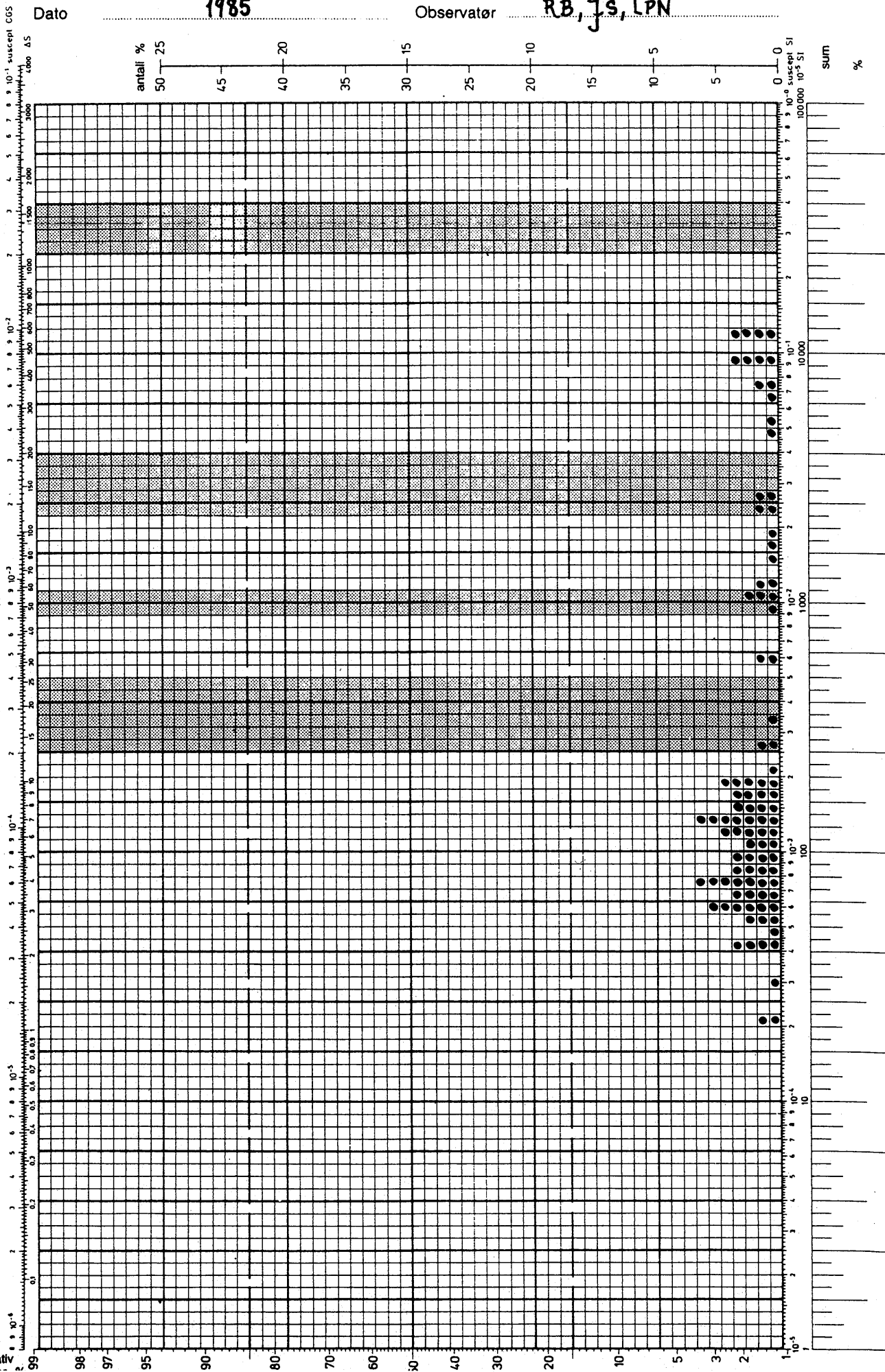
ca. 1% magnetitt

magnetkis

hematitt

paramagnetiske
silikater

kumulativ



SUSCEPTIBILITETSMÅLINGER

Kartblad **Iesjakkå**
 Bergart **METAGABBRO**
 Dato **1985**

Område
 Prosjekt nr. **1886. 41**
 Observatør **RB, JS, LPN**

W 16 måleomr. / målelok.
 N 135 målinger

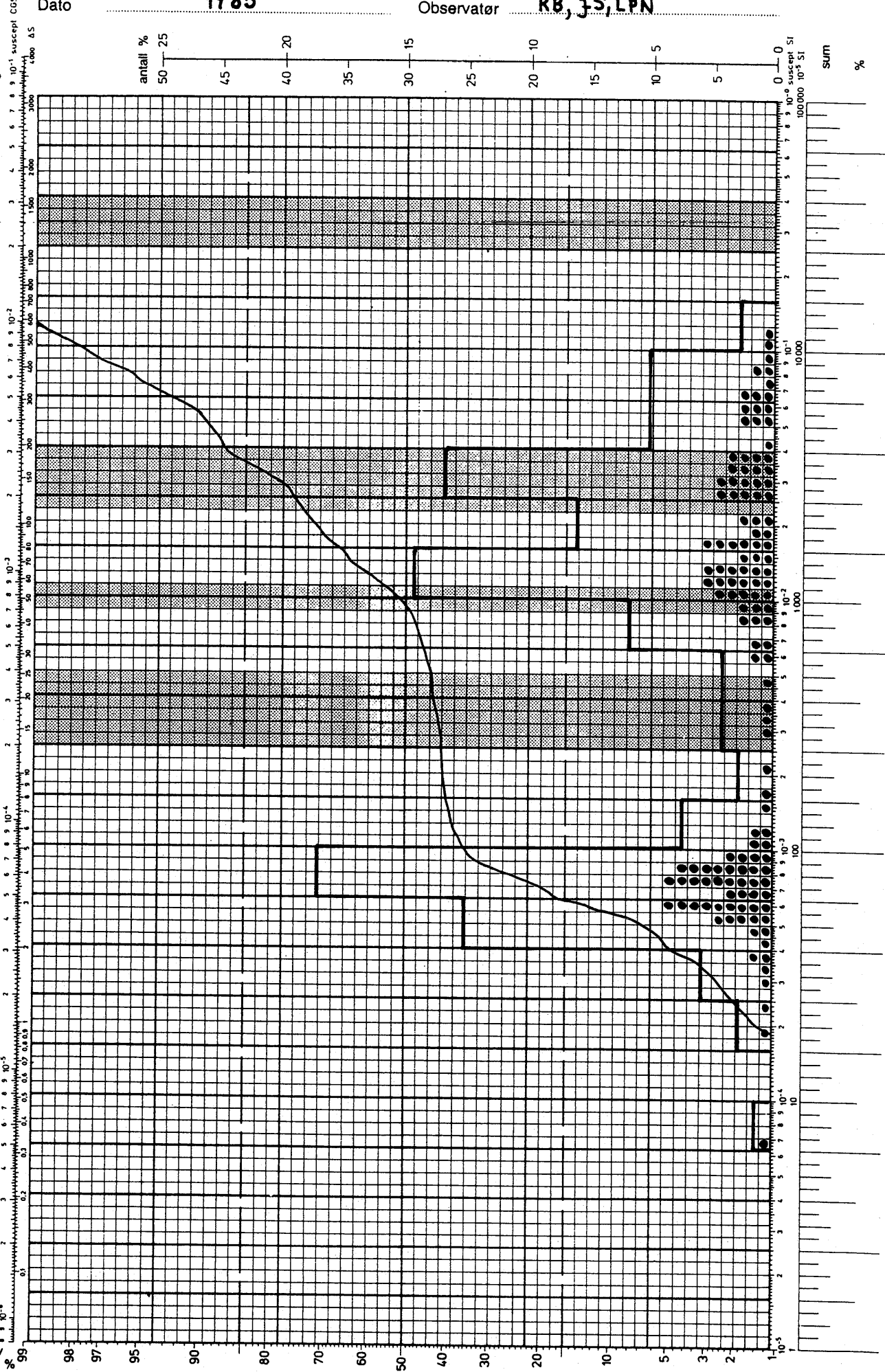
ca. 10% magnetitt

ca. 1% magnetitt
magnetkis

hematitt

paramagnetiske
silikater

kumulativ
frekvens %



SUSCEPTIBILITETS MÅLINGER

2033-4 Iešjakk og
2034-3 Stippan av

Kartblad

Bergart

Område

JGK

Dato

Prosjekt nr.

1886.41

Observatør

RB, JS, LPN

juli - sept. 1985

WW	3 målelok. på kbl. Iešjakk
WW	12 målinger på -II-
WW	55 målelok. på kbl. Iešjakk + Stippan
WW	-II-
WW	432 målinger på -II-

ca. 10% magnetitt

- = innenfor kbl. Stippanavrå
- = lok. 92B
- X = lok. 3
- ▲ = lok. 6

ca. 1% magnetitt

magnetisk

hematitt

paramagnetiske
silikaterkumulativ
frekvens

%

suscept CGS

AS

10⁻¹10⁻²10⁻³10⁻⁴10⁻⁵10⁻⁶10⁻⁷10⁻⁸10⁻⁹10⁻¹⁰10⁻¹¹10⁻¹²10⁻¹³10⁻¹⁴10⁻¹⁵10⁻¹⁶10⁻¹⁷10⁻¹⁸10⁻¹⁹10⁻²⁰10⁻²¹10⁻²²10⁻²³10⁻²⁴10⁻²⁵10⁻²⁶10⁻²⁷10⁻²⁸10⁻²⁹10⁻³⁰10⁻³¹10⁻³²10⁻³³10⁻³⁴10⁻³⁵10⁻³⁶10⁻³⁷10⁻³⁸10⁻³⁹10⁻⁴⁰10⁻⁴¹10⁻⁴²10⁻⁴³10⁻⁴⁴10⁻⁴⁵10⁻⁴⁶10⁻⁴⁷10⁻⁴⁸10⁻⁴⁹10⁻⁵⁰10⁻⁵¹10⁻⁵²10⁻⁵³10⁻⁵⁴10⁻⁵⁵10⁻⁵⁶10⁻⁵⁷10⁻⁵⁸10⁻⁵⁹10⁻⁶⁰10⁻⁶¹10⁻⁶²10⁻⁶³10⁻⁶⁴10⁻⁶⁵10⁻⁶⁶10⁻⁶⁷10⁻⁶⁸10⁻⁶⁹10⁻⁷⁰10⁻⁷¹10⁻⁷²10⁻⁷³10⁻⁷⁴10⁻⁷⁵10⁻⁷⁶10⁻⁷⁷10⁻⁷⁸10⁻⁷⁹10⁻⁸⁰10⁻⁸¹10⁻⁸²10⁻⁸³10⁻⁸⁴10⁻⁸⁵10⁻⁸⁶10⁻⁸⁷10⁻⁸⁸10⁻⁸⁹10⁻⁹⁰10⁻⁹¹10⁻⁹²10⁻⁹³10⁻⁹⁴10⁻⁹⁵10⁻⁹⁶10⁻⁹⁷10⁻⁹⁸10⁻⁹⁹10⁻¹⁰⁰10⁻¹⁰¹10⁻¹⁰²10⁻¹⁰³10⁻¹⁰⁴10⁻¹⁰⁵10⁻¹⁰⁶10⁻¹⁰⁷10⁻¹⁰⁸10⁻¹⁰⁹10⁻¹¹⁰10⁻¹¹¹10⁻¹¹²10⁻¹¹³10⁻¹¹⁴10⁻¹¹⁵10⁻¹¹⁶10⁻¹¹⁷10⁻¹¹⁸10⁻¹¹⁹10⁻¹²⁰10⁻¹²¹10⁻¹²²10⁻¹²³10⁻¹²⁴10⁻¹²⁵10⁻¹²⁶10⁻¹²⁷10⁻¹²⁸10⁻¹²⁹10⁻¹³⁰10⁻¹³¹10⁻¹³²10⁻¹³³10⁻¹³⁴10⁻¹³⁵10⁻¹³⁶10⁻¹³⁷10⁻¹³⁸10⁻¹³⁹10⁻¹⁴⁰10⁻¹⁴¹10⁻¹⁴²10⁻¹⁴³10⁻¹⁴⁴10⁻¹⁴⁵10⁻¹⁴⁶10⁻¹⁴⁷10⁻¹⁴⁸10⁻¹⁴⁹10⁻¹⁵⁰10⁻¹⁵¹10⁻¹⁵²10⁻¹⁵³10⁻¹⁵⁴10⁻¹⁵⁵10⁻¹⁵⁶10⁻¹⁵⁷10⁻¹⁵⁸10⁻¹⁵⁹10⁻¹⁶⁰10⁻¹⁶¹10⁻¹⁶²10⁻¹⁶³10⁻¹⁶⁴10⁻¹⁶⁵10⁻¹⁶⁶10⁻¹⁶⁷10⁻¹⁶⁸10⁻¹⁶⁹10⁻¹⁷⁰10⁻¹⁷¹10⁻¹⁷²10⁻¹⁷³10⁻¹⁷⁴10⁻¹⁷⁵10⁻¹⁷⁶10⁻¹⁷⁷10⁻¹⁷⁸10⁻¹⁷⁹10⁻¹⁸⁰10⁻¹⁸¹10⁻¹⁸²10⁻¹⁸³10⁻¹⁸⁴10⁻¹⁸⁵10⁻¹⁸⁶10⁻¹⁸⁷10⁻¹⁸⁸10⁻¹⁸⁹10⁻¹⁹⁰10⁻¹⁹¹10⁻¹⁹²10⁻¹⁹³10⁻¹⁹⁴10⁻¹⁹⁵10⁻¹⁹⁶10⁻¹⁹⁷10⁻¹⁹⁸10⁻¹⁹⁹10⁻²⁰⁰10⁻²⁰¹10⁻²⁰²10⁻²⁰³10⁻²⁰⁴10⁻²⁰⁵10⁻²⁰⁶10⁻²⁰⁷10⁻²⁰⁸10⁻²⁰⁹10⁻²¹⁰10⁻²¹¹10⁻²¹²10⁻²¹³10⁻²¹⁴10⁻²¹⁵10⁻²¹⁶10⁻²¹⁷10⁻²¹⁸10⁻²¹⁹10⁻²²⁰10⁻²²¹10⁻²²²10⁻²²³10⁻²²⁴10⁻²²⁵10⁻²²⁶10⁻²²⁷10⁻²²⁸10⁻²²⁹10⁻²²⁰10⁻²²¹10⁻²²²10⁻²²³10⁻²²⁴10⁻²²⁵10⁻²²⁶10⁻²²⁷10⁻²²⁸10⁻²²⁹10⁻²²⁰10⁻²²¹10⁻²²²10⁻²²³10⁻²²⁴10⁻²²⁵10⁻²²⁶10⁻²²⁷10⁻²²⁸10⁻²²⁹

SUSCEPTIBILITETSMÅLINGER

Kartblad Iešjäkka

Bergart GRANODIORITT (i KGB)

Dato 1985

Område Rai'tebuolžat og Säk'karav'ži

Prosjekt nr. 1886.41

Observatør RB, JS, LPN

W 4 måleområder/-lokalteter
W 57 målinger

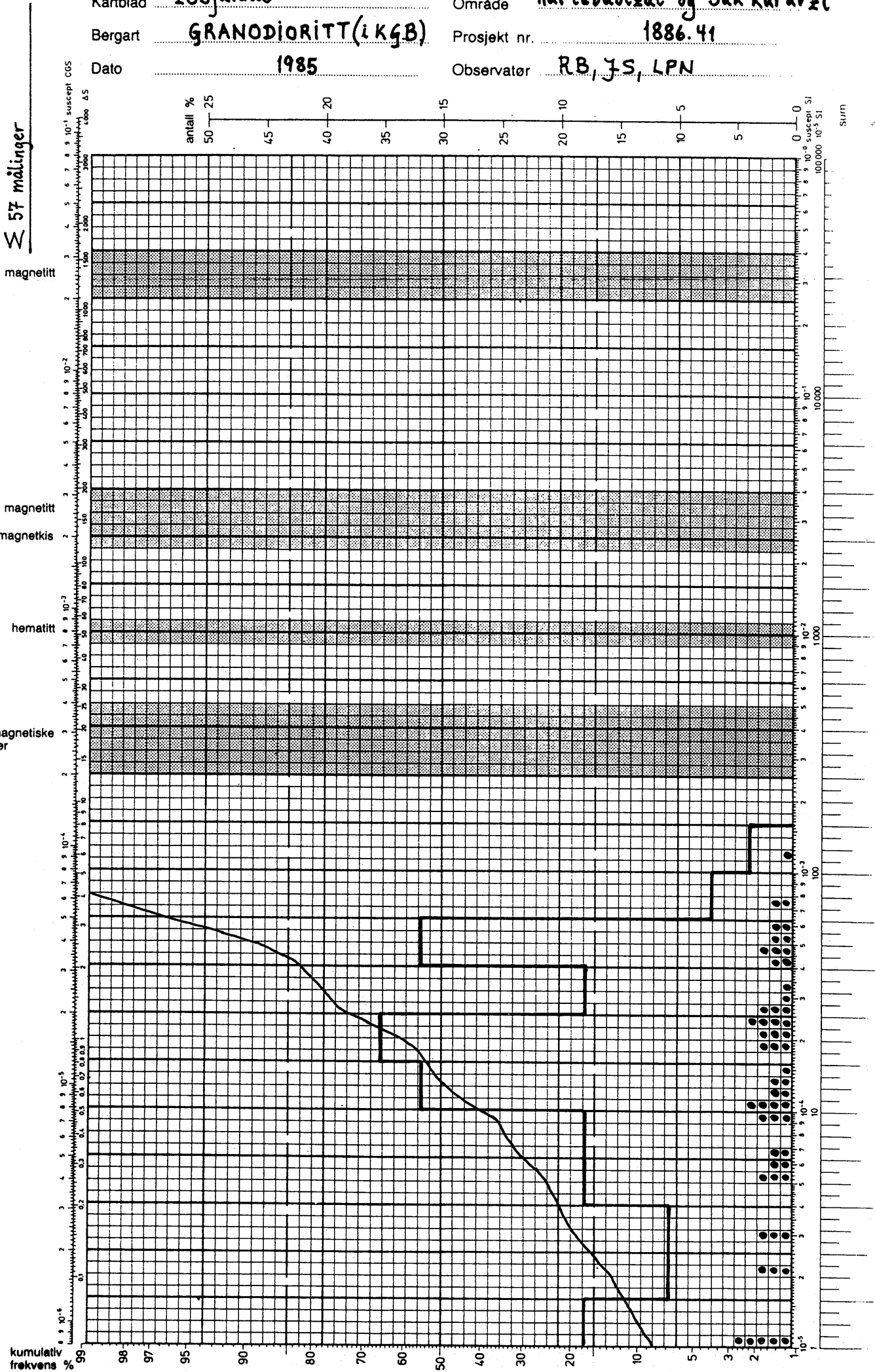
ca. 10% magnetitt

ca. 1% magnetitt

magnetkis

hematitt

paramagnetiske silikater



SUSCEPTIBILITETS MÅLINGER

Buordnavarri.

Kartblad

Iešjakkå

Bergart

MIGMATITT

Område

Tanaelv Migmatittkompleks

Dato

1985

Prosjekt nr.

1886.41

Observatør RB, JS, LPN

W 5 maledomr. / - lokaliteter
W 54 målinger

ca. 10% magnetitt

ca. 1% magnetitt

magnetkis

hematitt

paramagnetiske
silikaterkumulativ
relativane10⁻¹ suscept CGS10⁻² suscept CGS10⁻³ suscept CGS10⁻⁴ suscept CGS10⁻⁵ suscept CGS10⁻⁶ suscept CGS10⁻⁷ suscept CGS10⁻⁸ suscept CGS10⁻⁹ suscept CGS10⁻¹⁰ suscept CGS10⁻¹¹ suscept CGS10⁻¹² suscept CGS10⁻¹³ suscept CGS10⁻¹⁴ suscept CGS10⁻¹⁵ suscept CGS10⁻¹⁶ suscept CGS10⁻¹⁷ suscept CGS10⁻¹⁸ suscept CGS10⁻¹⁹ suscept CGS10⁻²⁰ suscept CGS10⁻²¹ suscept CGS10⁻²² suscept CGS10⁻²³ suscept CGS10⁻²⁴ suscept CGS10⁻²⁵ suscept CGS10⁻²⁶ suscept CGS10⁻²⁷ suscept CGS10⁻²⁸ suscept CGS10⁻²⁹ suscept CGS10⁻³⁰ suscept CGS10⁻³¹ suscept CGS10⁻³² suscept CGS10⁻³³ suscept CGS10⁻³⁴ suscept CGS10⁻³⁵ suscept CGS10⁻³⁶ suscept CGS10⁻³⁷ suscept CGS10⁻³⁸ suscept CGS10⁻³⁹ suscept CGS10⁻⁴⁰ suscept CGS10⁻⁴¹ suscept CGS10⁻⁴² suscept CGS10⁻⁴³ suscept CGS10⁻⁴⁴ suscept CGS10⁻⁴⁵ suscept CGS10⁻⁴⁶ suscept CGS10⁻⁴⁷ suscept CGS10⁻⁴⁸ suscept CGS10⁻⁴⁹ suscept CGS10⁻⁵⁰ suscept CGS10⁻⁵¹ suscept CGS10⁻⁵² suscept CGS10⁻⁵³ suscept CGS10⁻⁵⁴ suscept CGS

antall %

50

25

0

45

40

20

35

15

30

10

20

15

5

10

5

0

25

20

15

10

10

5

5

0

0

0

0

0

0

0

0

0

0

0

0

0

0

0

0

0

0

0

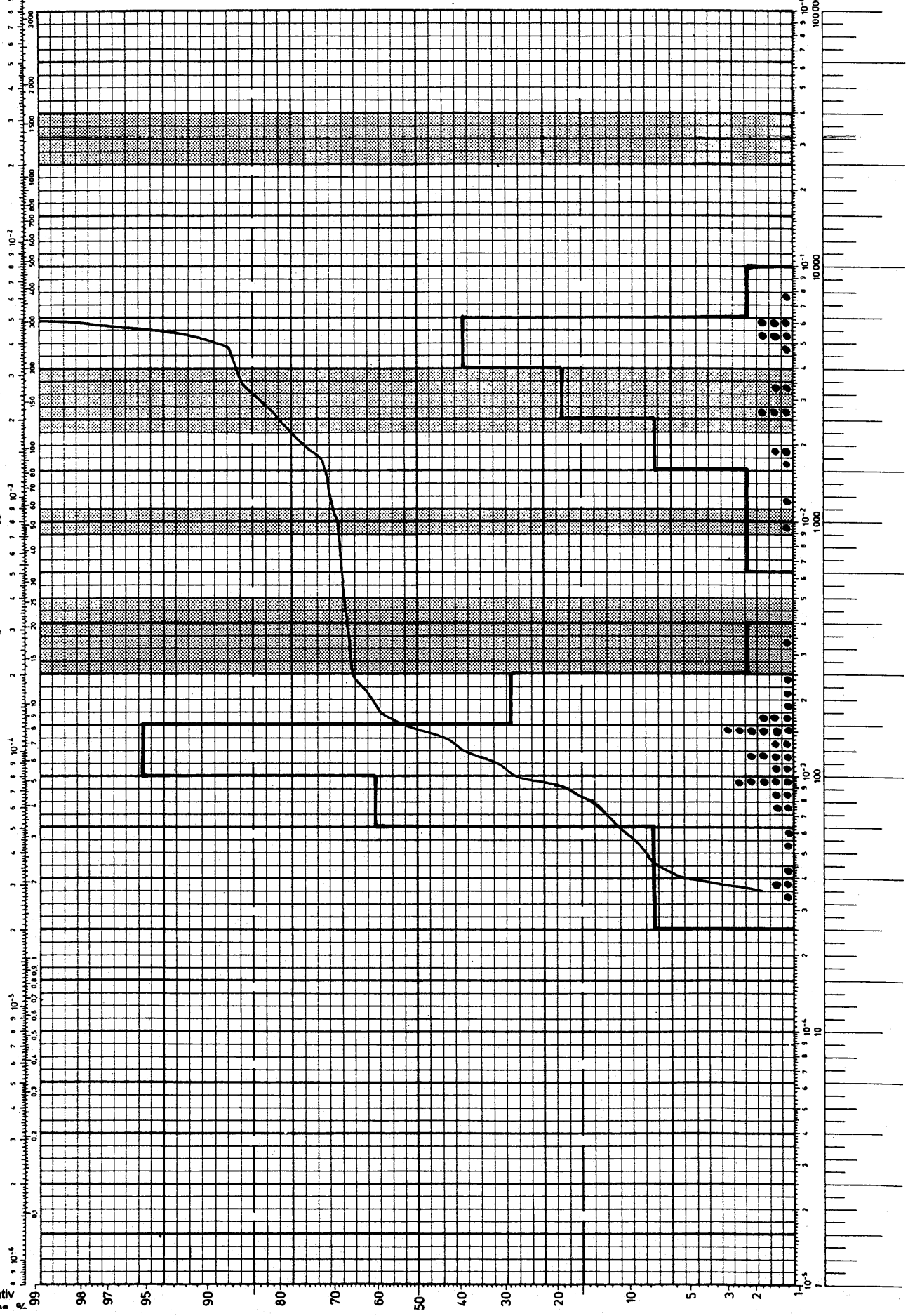
0

0

0

sum

%



SUSCEPTIBILITETSMÅLINGER

Kartblad 1933-1 Šuoššjavrri

Område

Langs riksvei 92, 400 m vest
for kartbladsgrensen Iešjäkka/Šuoššjavri

Bergart

GRANITT (i J.G.K.)

Prosjekt nr.

1886.41

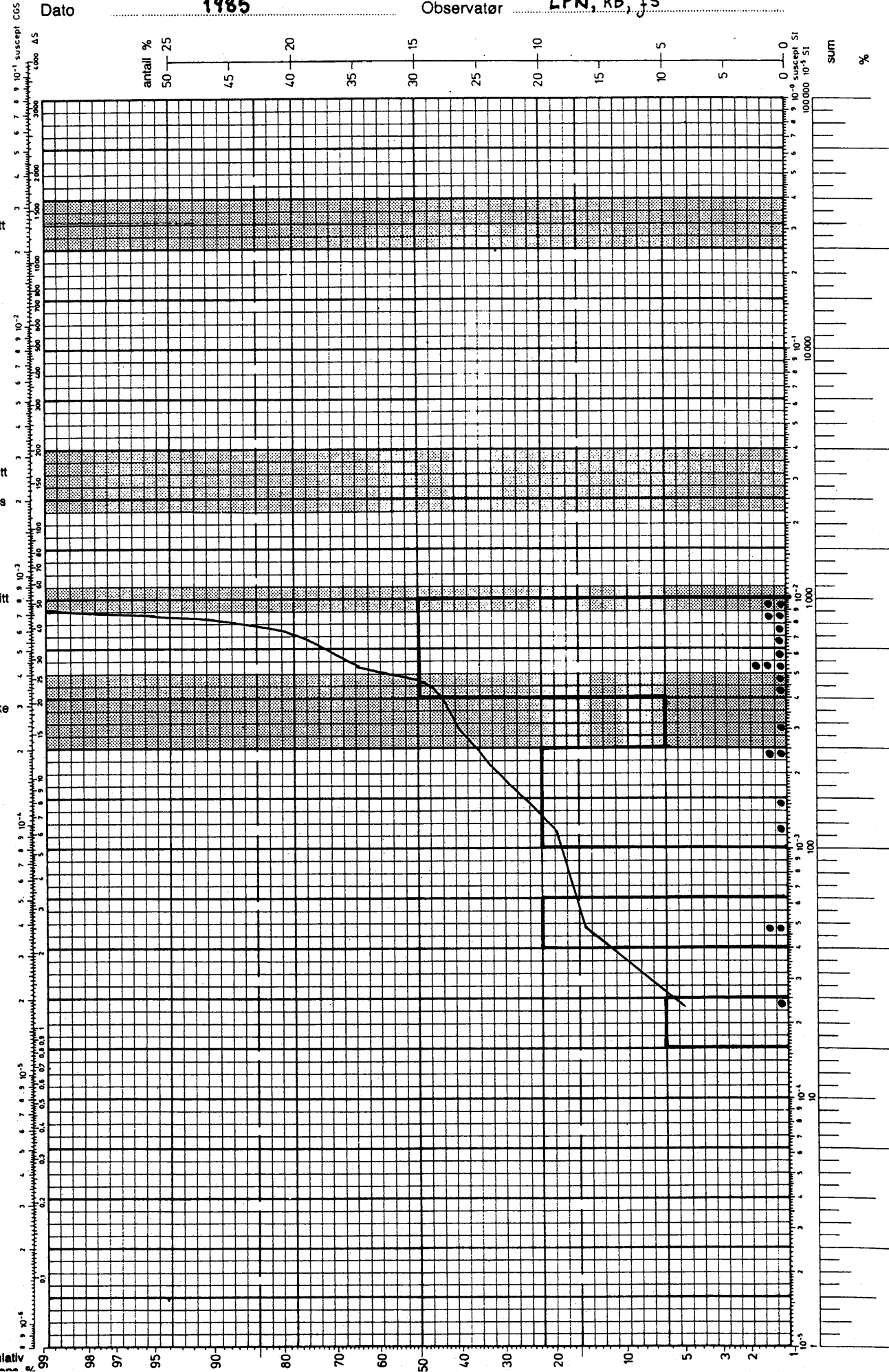
Dato

1985

Observatør

LPN, RB, JS

W 1 måleområde
W 20 målinger
ca. 10% magnetitt



SUSCEPTIBILITETSMÅLINGER

N 12 måleområder/målestokk
W 124 målinger

Kartblad Iešjakk
Bergart GNEIS (JGK)
Dato 1985

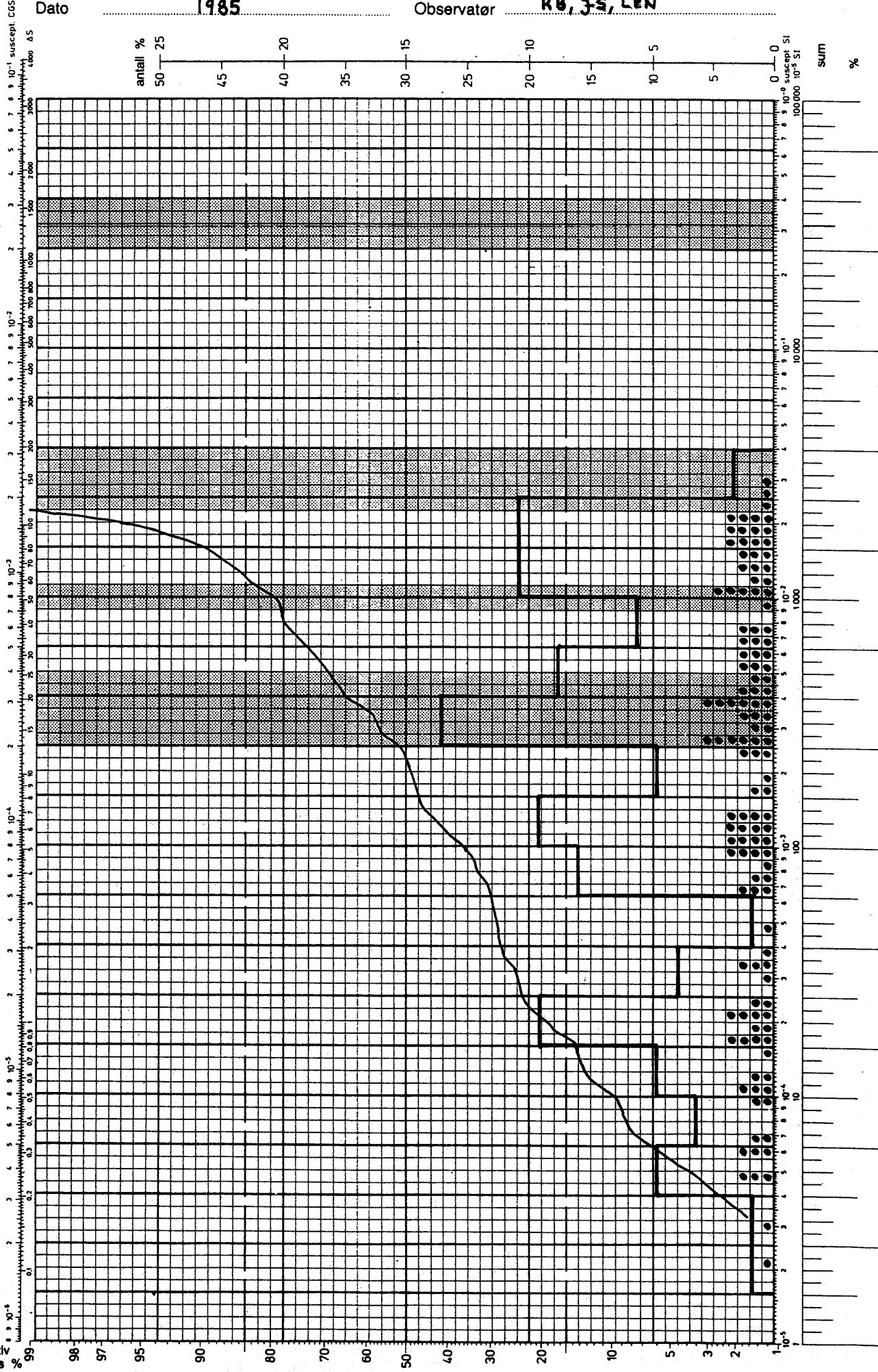
Område
Prosjekt nr. 1886.41
Observatør RB, JS, LEN

ca. 10% magnetitt

ca. 1% magnetitt

magnetkis

hematitt

paramagnetiske
sillikaterkumulativ
frekvens %

Magnetiske modellberegninger

***COMMANDE: PROFIL ①

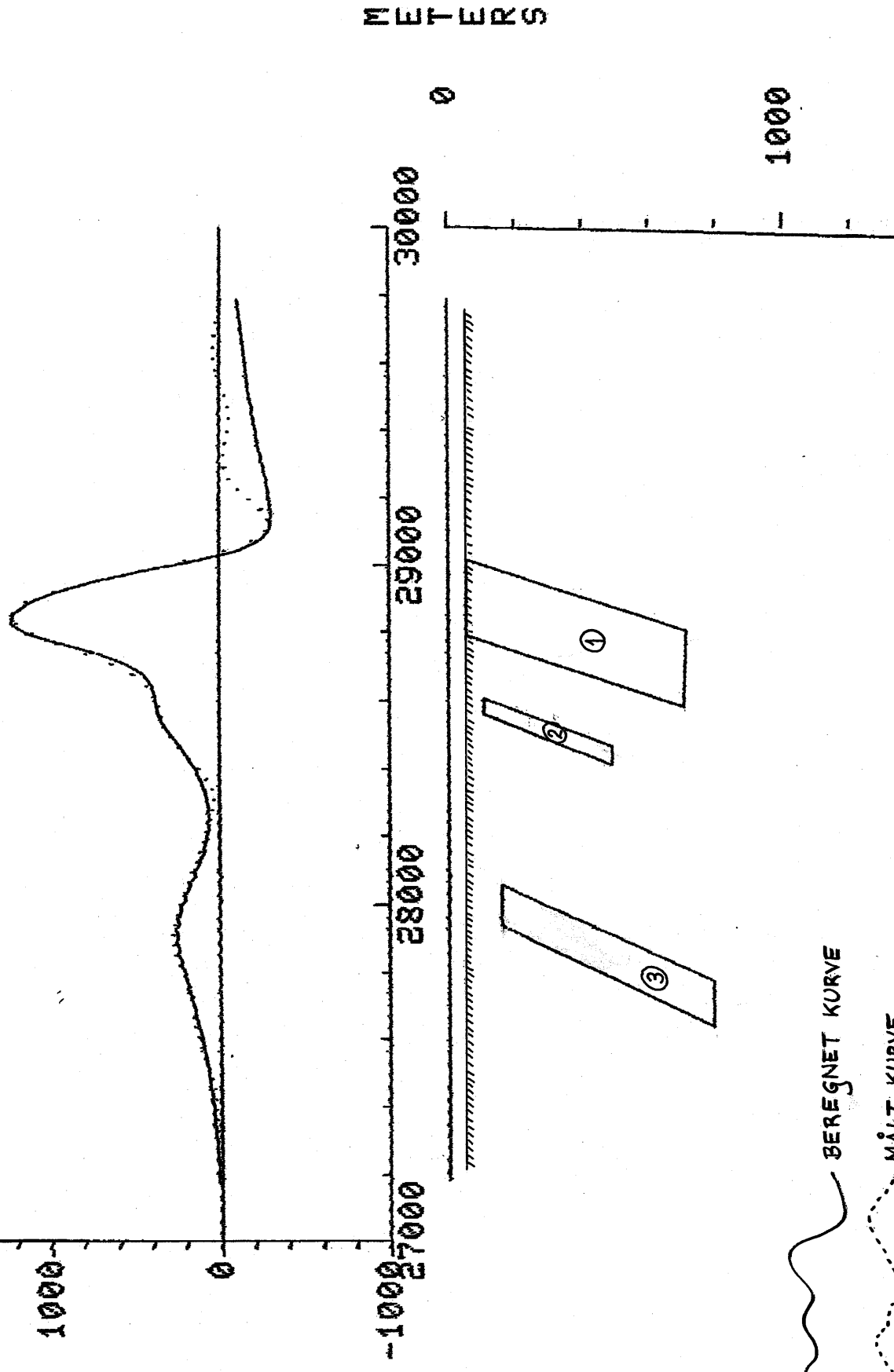
kbl. 2033-4 Iesjäkka

METERS

SD = 81.666

2000

n a n o t e s i a s



BEREGNET KURVE

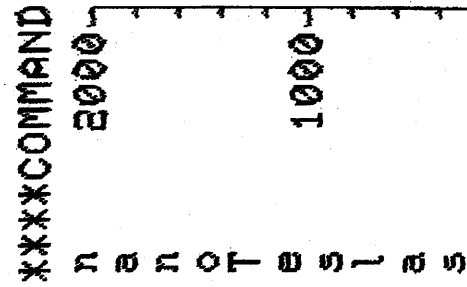
MÄLT KURVE

MAGNETIC PARAMETERS :

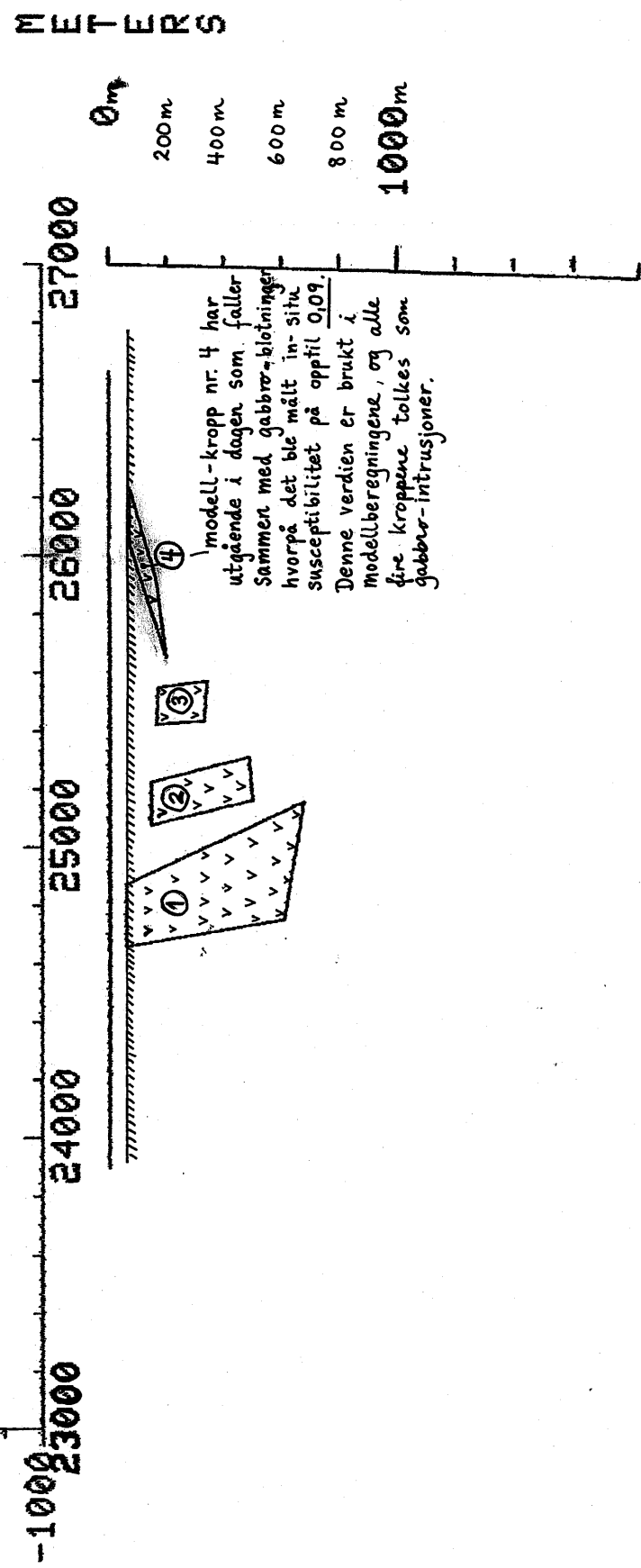
BODY(1)	ANGLE OF BODY	40 . 00
	ANOMALOUS DENSITY	.00
	SUSCEPTIBILITY OF BODY	.90E-01
	REMANENCE (Q-FACTOR) OF BODY	.00
	YLOCATION OF BODY	.00
	YMIN OF BODY	-2250 . 00
	YMAX OF BODY	1500 . 00
BODY(2)	ANGLE OF BODY	40 . 00
	ANOMALOUS DENSITY	.00
	SUSCEPTIBILITY OF BODY	.10E+00
	REMANENCE (Q-FACTOR) OF BODY	.00
	YLOCATION OF BODY	.00
	YMIN OF BODY	-2250 . 00
	YMAX OF BODY	1500 . 00
BODY(3)	ANGLE OF BODY	55 . 00
	ANOMALOUS DENSITY	.00
	SUSCEPTIBILITY OF BODY	.10E+00
	REMANENCE (Q-FACTOR) OF BODY	.00
	YLOCATION OF BODY	.00
	YMIN OF BODY	-1500 . 00
	YMAX OF BODY	2000 . 00

DO YOU WANT TO CHANGE ANY PARAMETERS ?

kbl. 2033-4 i Esjåkka
PROFIL ②



SD = 72,625



MAGNETIC PARAMETERS :

BODY(1)	ANGLE OF BODY	.00
	ANOMALOUS DENSITY	.00
	SUSCEPTIBILITY (Q-FACTOR) OF BODY	.85E-01
	REMANENCE (Q-FACTOR) OF BODY	.00
	YLOCATION OF BODY	.00
	YMIN OF BODY	-6000.00
	YMAX OF BODY	16000.00
BODY(2)	ANGLE OF BODY	.00
	ANOMALOUS DENSITY	.00
	SUSCEPTIBILITY (Q-FACTOR) OF BODY	.90E-01
	REMANENCE (Q-FACTOR) OF BODY	.00
	YLOCATION OF BODY	.00
	YMIN OF BODY	-1000.00
	YMAX OF BODY	16000.00
BODY(3)	ANGLE OF BODY	.00
	ANOMALOUS DENSITY	.00
	SUSCEPTIBILITY (Q-FACTOR) OF BODY	.90E-01
	REMANENCE (Q-FACTOR) OF BODY	.00
	YLOCATION OF BODY	.00
	YMIN OF BODY	-1000.00
	YMAX OF BODY	16000.00
BODY(4)	ANGLE OF BODY	.00
	ANOMALOUS DENSITY	.00
	SUSCEPTIBILITY (Q-FACTOR) OF BODY	.90E-01
	REMANENCE (Q-FACTOR) OF BODY	.00
	YLOCATION OF BODY	.00
	YMIN OF BODY	-1000.00
	YMAX OF BODY	-150.00

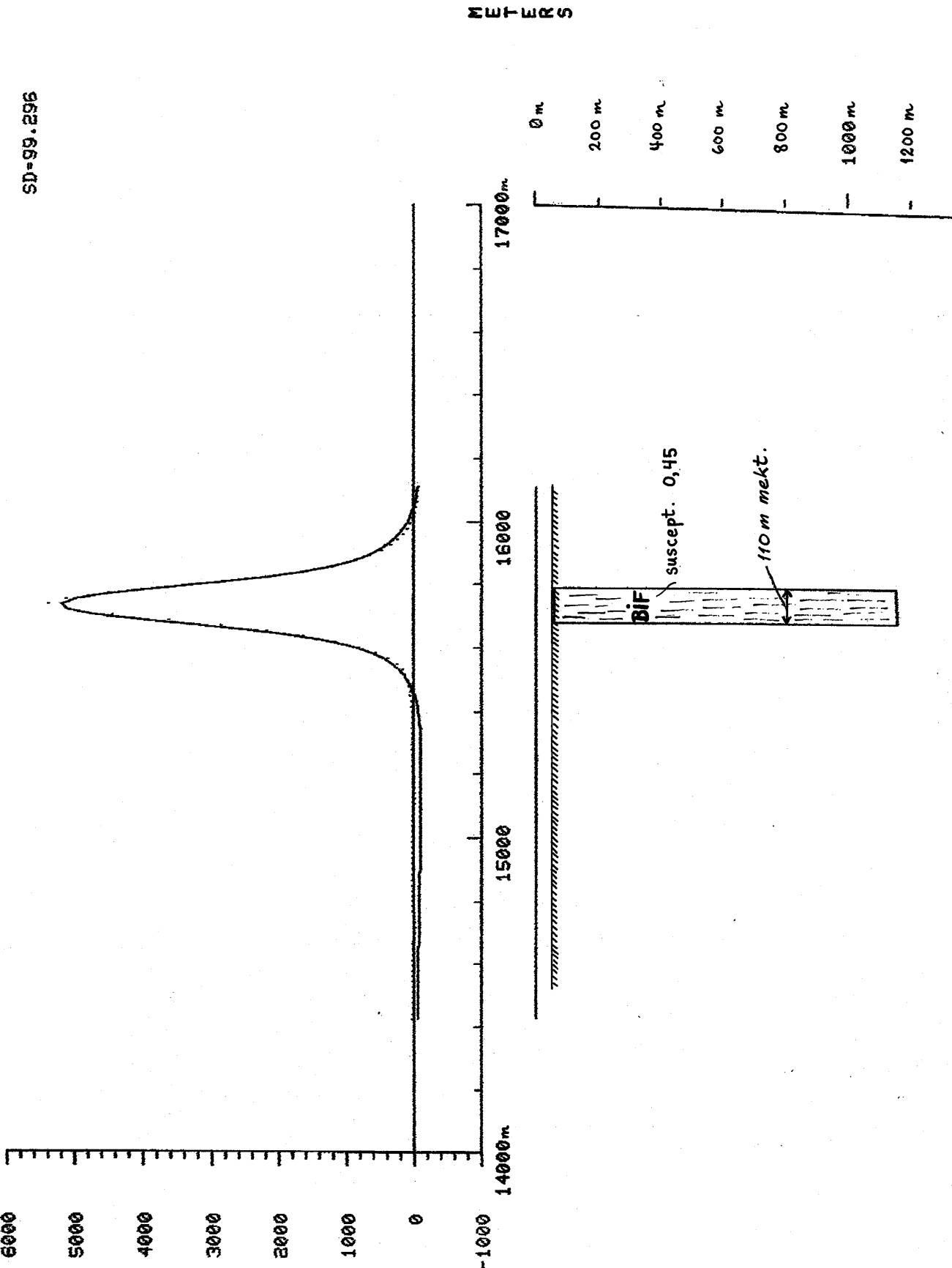
klu. 2033-4 Iesjäkka
PROFIL (3)

****COMMAND:

n a n o t e s i s s

METERS

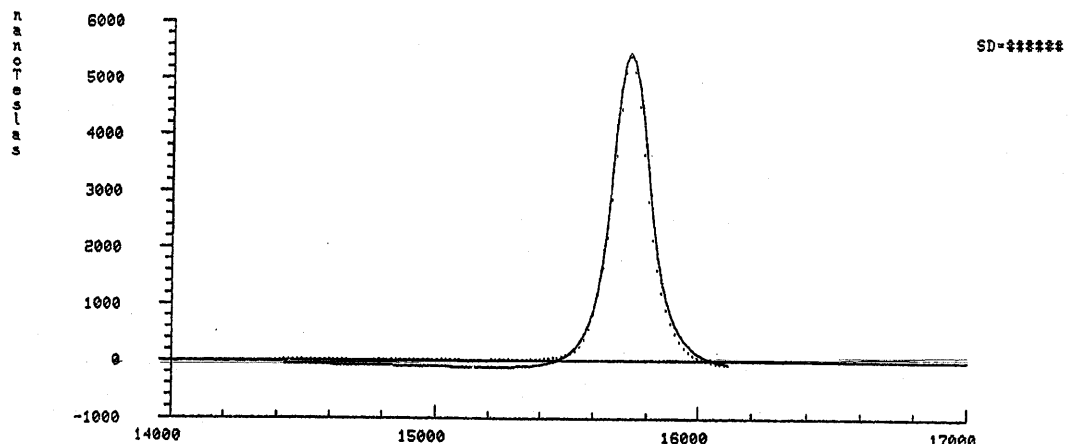
SD=99.296



$y_{min} = -300m$
 $y_{max} = 700m$

****COMMAND:

METERS



Suscept.: 0,45

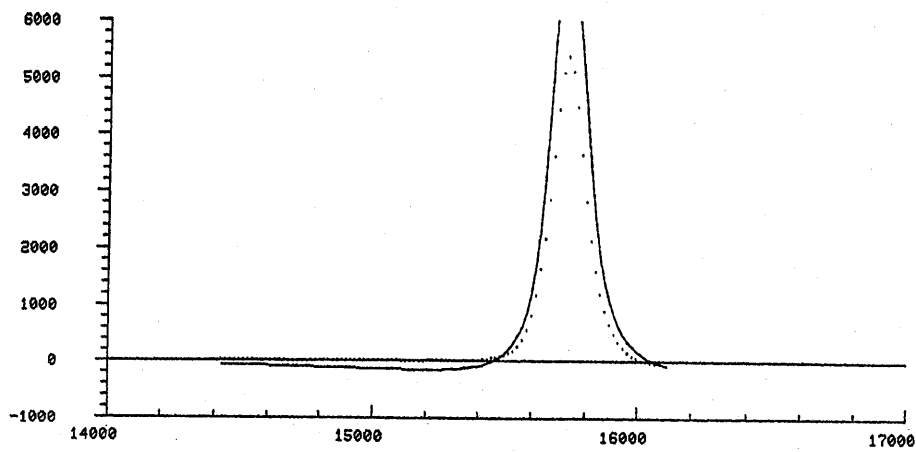
120 m mekt.

METER

****COMMAND:

METERS

SD=****



Suscept.: 0,60

120 m mekt.

1000

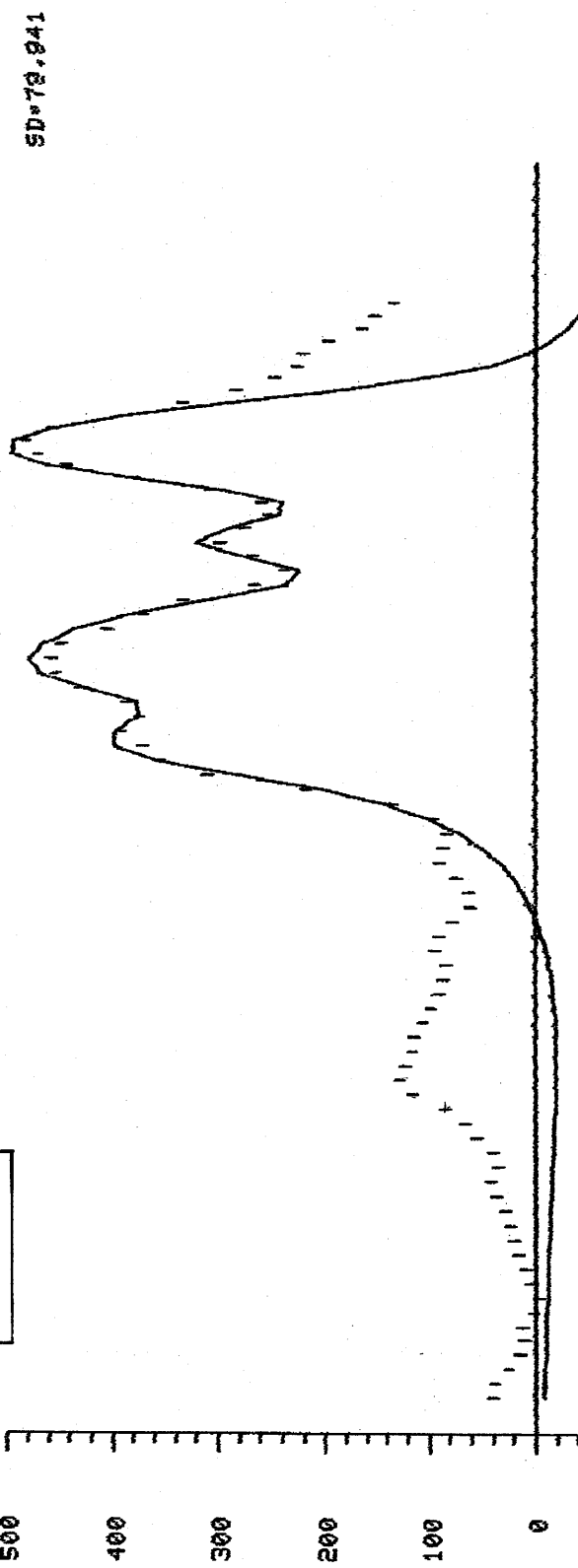
***COMMAND:

n
a
n
o
r
e
s
t
l
s
5

kbl. 2033-4 ūšjäkka
PROFIL (4)

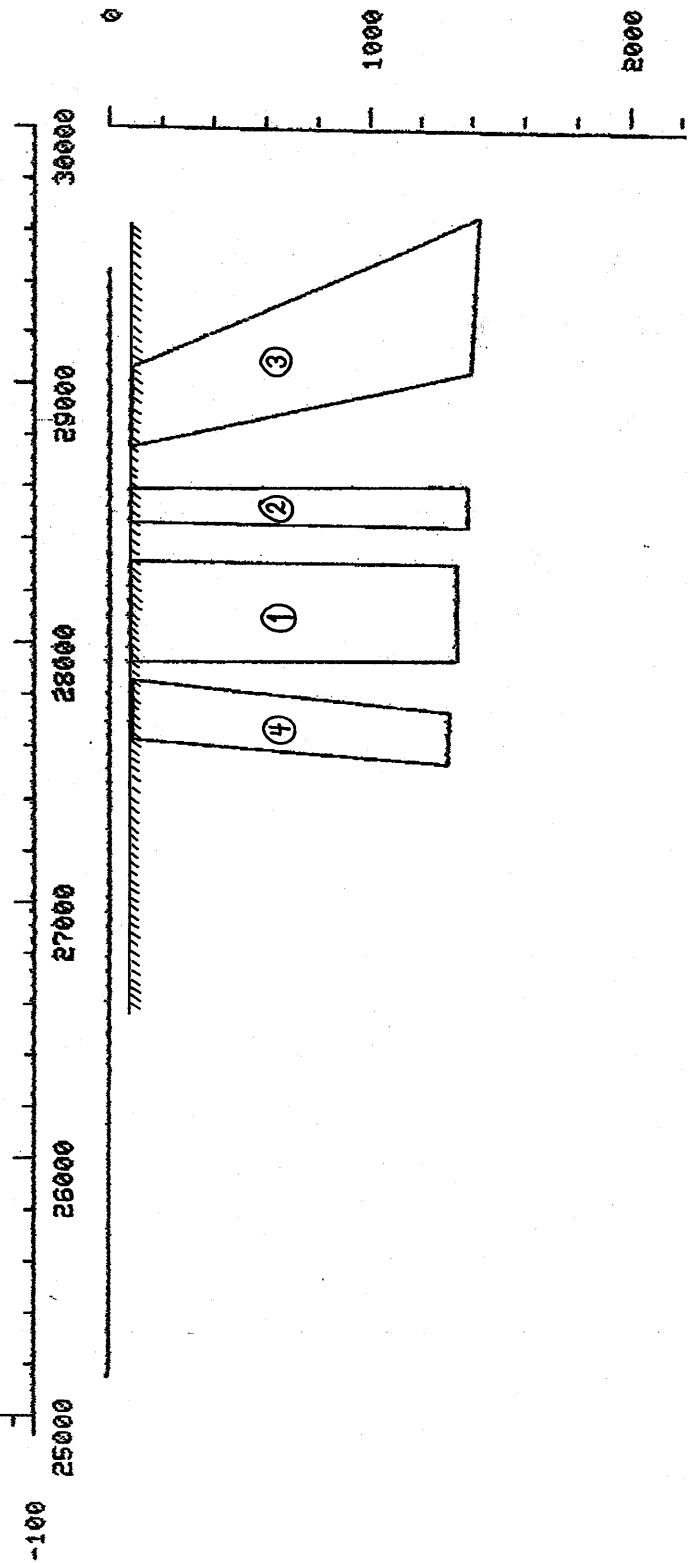
VARIANT 1

METERS



SD = 72.941

METERS



*****NOT DEFINED COMMAND*****
*****COMMAND:U1,4

MAGNETIC PARAMETERS :

BODY(1)
ANGLE OF BODY
ANOMALOUS DENSITY
SUSCEPTIBILITY (Q-FACTOR) OF BODY
REMANENCE (Q-FACTOR) OF BODY
YLOCATION OF BODY
YMIN OF BODY
YMAX OF BODY

45.00
.00
.28E-01
.00
-1000.00
2000.00

BODY(2)
ANGLE OF BODY
ANOMALOUS DENSITY
SUSCEPTIBILITY (Q-FACTOR) OF BODY
REMANENCE (Q-FACTOR) OF BODY
YLOCATION OF BODY
YMIN OF BODY
YMAX OF BODY

45.00
.00
.37E-01
.00
-1000.00
2000.00

BODY(3)
ANGLE OF BODY
ANOMALOUS DENSITY
SUSCEPTIBILITY (Q-FACTOR) OF BODY
REMANENCE (Q-FACTOR) OF BODY
YLOCATION OF BODY
YMIN OF BODY
YMAX OF BODY

45.00
.00
.37E-01
.00
-1000.00
2000.00

BODY(4)
ANGLE OF BODY
ANOMALOUS DENSITY
SUSCEPTIBILITY (Q-FACTOR) OF BODY
REMANENCE (Q-FACTOR) OF BODY
YLOCATION OF BODY
YMIN OF BODY
YMAX OF BODY

45.00
.00
.27E-01
.00
-1000.00
2000.00

DO YOU WANT TO CHANGE ANY PARAMETERS ? N

*****COMMAND:L1,4

SURROUNDING DENSITY: .00
ALL DISTANCES ARE TO BE GIVEN IN METERS

BODY(1)
ANGLE OF BODY 45.0
ANOMALOUS DENSITY .28E-01
SUSCEPTIBILITY (Q-FACTOR) OF BODY
YLOCATION OF BODY
YMIN OF BODY
YMAX OF BODY

1 27921.43 71.43
2 28292.86 1335.71
3 28314.29 71.43
4 ANOMALOUS MASS = .000 MTION
TOTAL MASS = .000 MTION

BODY(2)
ANGLE OF BODY 45.0

ANOMALOUS DENSITY .00
SUSCEPTIBILITY .37E-01
YMIN -1000.00 YMAX 2000.00
1 28464.29 78.57
2 28435.71 1371.43
3 28592.86 1371.43
4 ANOMALOUS MASS = .000 MTION
TOTAL MASS = .000 MTION

0.280E-01
YMIN -1000.00 YMAX 2000.00
1 28756.00 78.57
2 29035.71 1392.86
3 29635.71 1421.43
4 29664.29 85.71
ANOMALOUS MASS = .000 MTION
TOTAL MASS = .000 MTION

BODY(3)
ANGLE OF BODY 45.0
ANOMALOUS DENSITY .00
SUSCEPTIBILITY .37E-01
YMIN -1000.00 YMAX 2000.00
1 27621.43 85.71
2 27528.57 1302.86
3 27722.86 1302.86
4 27850.00 85.71
ANOMALOUS MASS = .000 MTION
TOTAL MASS = .000 MTION

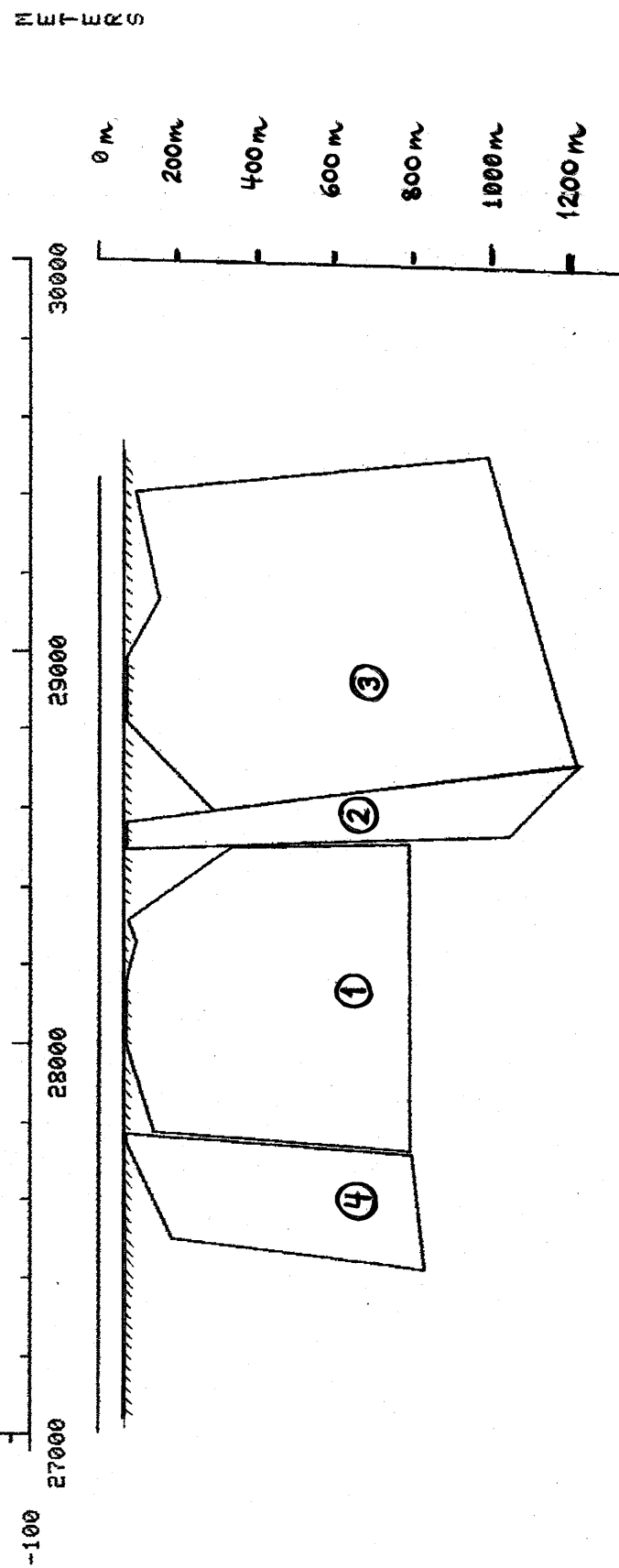
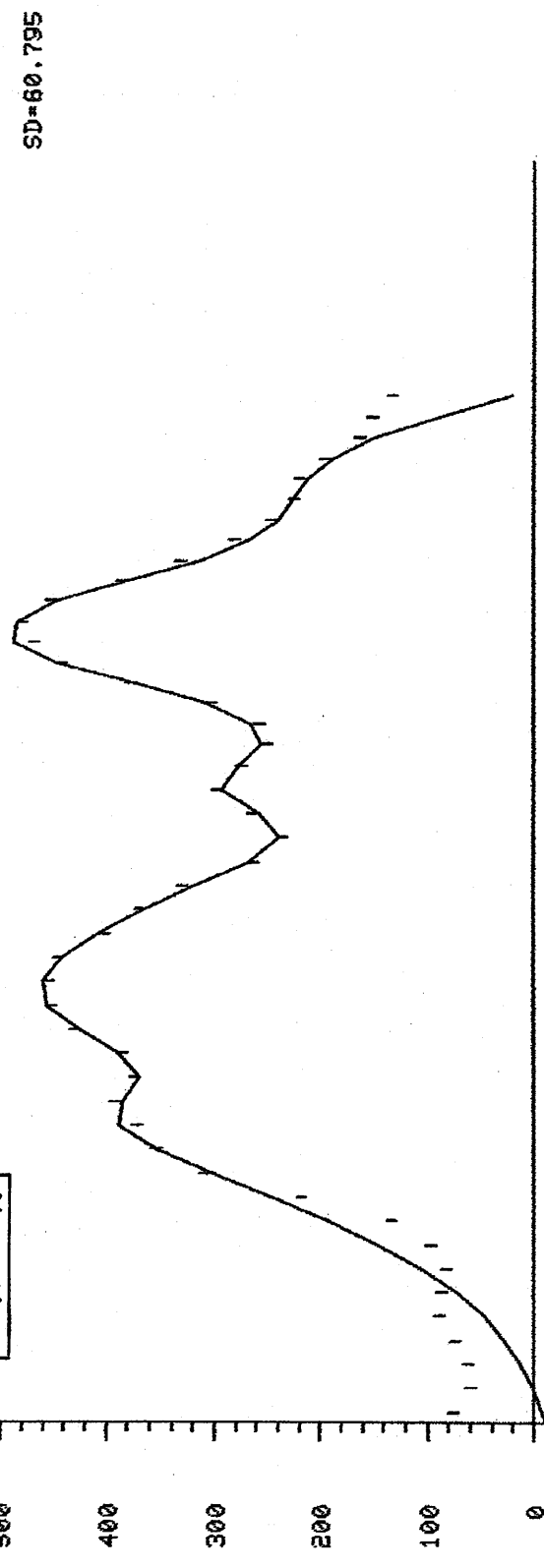
BODY(4)
ANGLE OF BODY 45.0
ANOMALOUS DENSITY .00
SUSCEPTIBILITY .37E-01
YMIN -1000.00 YMAX 2000.00
1 27837.14 81.43
2 27850.00 81.43
3 27852.86 1302.86
4 27855.00 81.43
ANOMALOUS MASS = .000 MTION
TOTAL MASS = .000 MTION

*****COMMAND:

ANGLE OF BODY 45.0
ANOMALOUS DENSITY .28E-01
SUSCEPTIBILITY (Q-FACTOR) OF BODY
YLOCATION OF BODY
YMIN OF BODY
YMAX OF BODY

1 27921.43 71.43
2 28292.86 1335.71
3 28314.29 71.43
4 ANOMALOUS MASS = .000 MTION
TOTAL MASS = .000 MTION

***COMMAND:
N S
E O T S I A S
kbl. 2033-4 Žesjaka
PROFIL ④
VARIANT 2



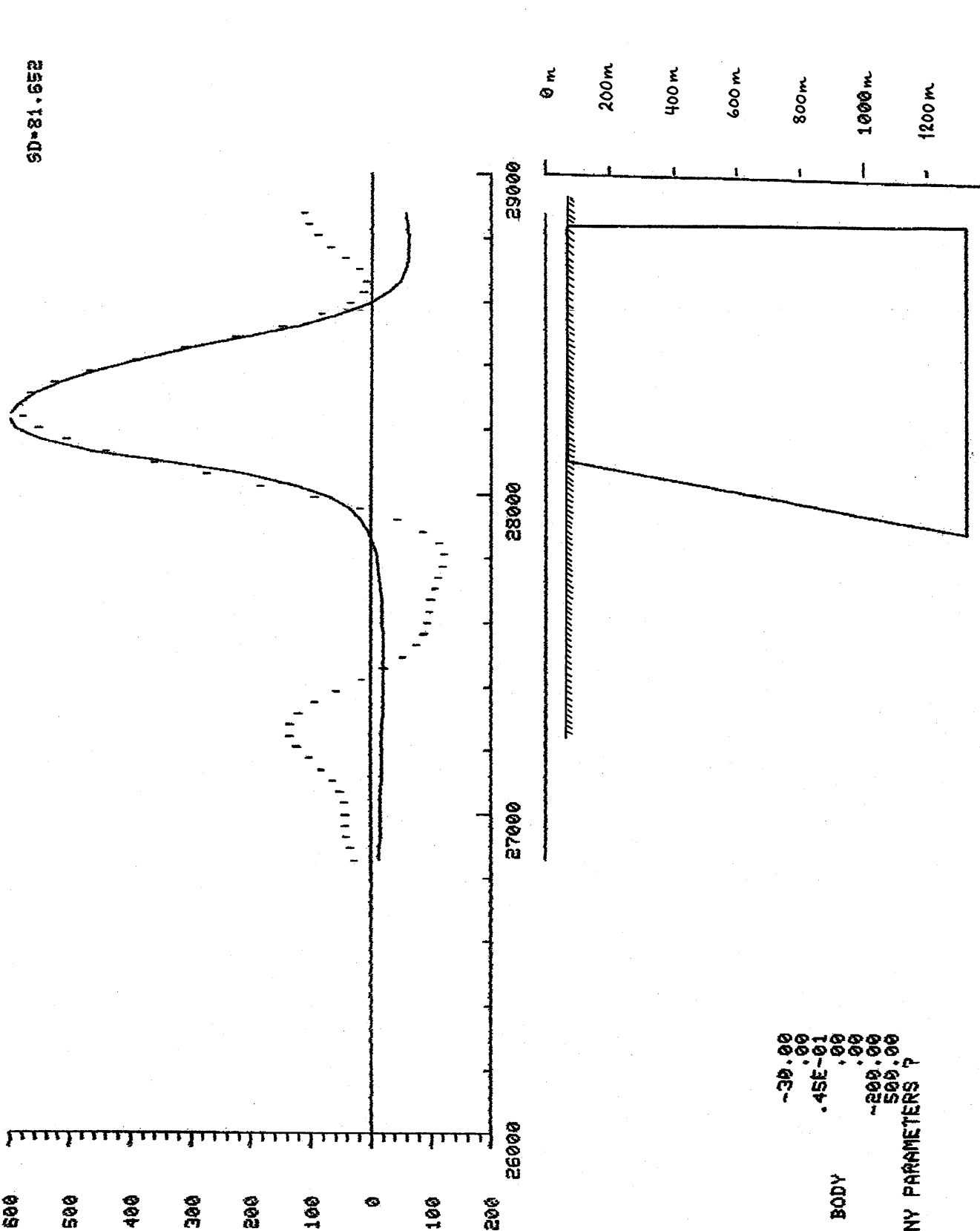
NOT DEFINED COMMAND
 ***COMMAND:1
 MAGNETIC PARAMETERS
 DEVIATION OF FIELD DATA
 TYPE OF LENGTH M=1, CM=2
 SURROUNDING DENSITY
 FIELD TO BE CALCULATED:
 TOTAL FIELD:
 INCLINATION:
 DECLINATION:
 XMIN: 27000. XMAX: 30000.
 ANOMALOUS DENSITY 45.0
 ANGLE OF BODY 45.0
 SUSCEPTIBILITY: 280E-01
 YMIN -1000.00 YMAX 2000.00
 1 38817.14 68.57 FROM BODY ? 1
 2 38594.23 291.43 TO BODY ? 4
 3 38767.14 124.29 MAGNETIC PARAMETERS :
 4 39500.99 992.86 BODY(1)
 5 39408.57 90.00 ANGLE OF BODY
 6 29130.00 150.00 ANOMALOUS DENSITY
 7 28984.29 68.57 SUSCEPTIBILITY OF BODY
 ANOMALOUS MASS=.000 MTON
 TOTAL MASS=.000 MTON
 REMANENCE (Q-FACTOR) OF BODY
 YLOCATION OF BODY .00
 YMINT OF BODY -1000.00
 YMAX OF BODY -2000.00
 BODY(2)
 ANOMALOUS DENSITY .00
 SUSCEPTIBILITY: 250E-01
 YMIN -1000.00 YMAX 2000.00
 1 27745.71 68.57 ANOMALOUS DENSITY
 2 27497.14 188.57 SUSCEPTIBILITY OF BODY
 3 27415.71 831.43 REMANENCE (Q-FACTOR) OF BODY
 4 27711.43 797.14 YLOCATION OF BODY
 5 27767.14 64.29 YMINT OF BODY
 ANOMALOUS MASS=.000 MTON
 TOTAL MASS=.000 MTON
 BODY(3)
 ANGLE OF BODY 45.0
 ANOMALOUS DENSITY .00
 SUSCEPTIBILITY: 250E-01
 YMIN -1000.00 YMAX 2000.00
 1 27938.57 68.57 ANOMALOUS DENSITY
 2 27711.43 141.43 SUSCEPTIBILITY OF BODY
 3 27724.23 792.86 REMANENCE (Q-FACTOR) OF BODY
 4 28508.57 788.57 YLOCATION OF BODY
 5 28495.71 330.00 YMINT OF BODY
 6 28311.43 72.86 YMAX OF BODY
 7 28255.71 90.00 ANOMALOUS DENSITY
 8 28157.14 68.57 SUSCEPTIBILITY OF BODY
 ANOMALOUS MASS=.000 MTON
 TOTAL MASS=.000 MTON
 REMANENCE (Q-FACTOR) OF BODY
 YLOCATION OF BODY .00
 YMINT OF BODY -1000.00
 YMAX OF BODY -2000.00
 DO YOU WANT TO CHANGE ANY PARAMETERS?
 ***COMMAND:L
 FROM BODY ? 1
 TO BODY ? 4
 SURROUNDING DENSITY:
 ALL DISTANCES ARE TO BE GIVEN IN METERS
 BODY(1)
 ANGLE OF BODY 45.0
 ANOMALOUS DENSITY .00
 SUSCEPTIBILITY: 250E-01
 YMIN -1000.00 YMAX 2000.00
 1 27711.43 141.43 ANGLE OF BODY
 2 27724.23 792.86 ANOMALOUS DENSITY
 3 28508.57 788.57 SUSCEPTIBILITY OF BODY
 4 28495.71 330.00 REMANENCE (Q-FACTOR) OF BODY
 5 28311.43 72.86 YLOCATION OF BODY
 6 28255.71 90.00 YMINT OF BODY
 7 28157.14 68.57 YMAX OF BODY
 ANOMALOUS MASS=.000 MTON
 TOTAL MASS=.000 MTON
 REMANENCE (Q-FACTOR) OF BODY
 YLOCATION OF BODY .00
 YMINT OF BODY -1000.00
 YMAX OF BODY -2000.00
 DO YOU WANT TO CHANGE ANY PARAMETERS?
 ***COMMAND:

kbl. 2033-4 Tešjákka
PROFIL ⑤

COMMANDS

500 500 400

卷之三



***COMMAND:U
FROM BODY # 1
TO BODY # 1
MAGNETIC PARAM
BODY(1)
ANGLE OF BODY
ANOMALOUS DENS
SUSCEPTIBILITY
REMANENCE (Q-F
LOCATION OF S
YMIN OF BODY
YMAX OF BODY
DO YOU WANT TO

kbl. 2033-4. Iesjåkka
PROFIL ⑥

Variant 1

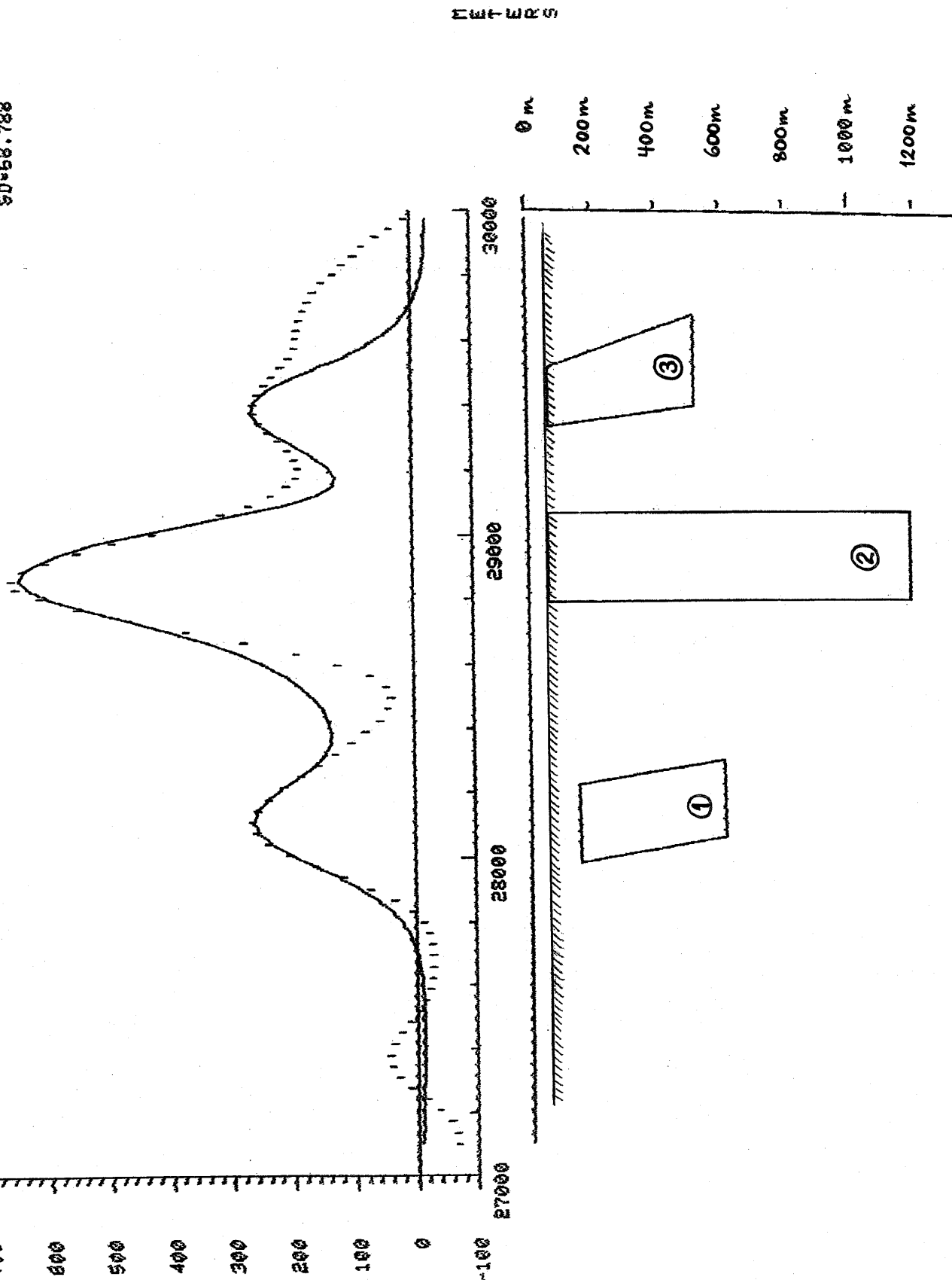
***Companhia:

N S N S T D S S - S S

700
600
500
400
300
200
100
0

-100
27000
28000
29000
30000

SDv63.788



****COMMAND:L

FROM BODY ? 1

TO BODY ? 3

XXXXNOT DEFINED COMMANDXXXX
XXXXCOMMAND:

XXXXNOT DEFINED COMMANDXXXX

XXXXCOMMAND:I

MAGNETIC PARAMETERS
DEVIATION OF FIELD DATA 5.00
TYPE OF LENGTH N=1, KM=2 .1
SURROUNDING DENSITY .00
FIELD TO BE CALCULATED: TF
TOTAL FIELD: 52800.
INCLINATION: 77.49
DECLINATION: 82.00
XMIN: 27102. XMAX: 29976.

DO YOU WANT TO CHANGE ANY PARAMETERS ?

XXXXCOMMAND:U

FROM BODY ? 1

TO BODY ? 3

MAGNETIC PARAMETERS :

BODY(1)
ANGLE OF BODY -30.00
ANOMALOUS DENSITY .00
SUSCEPTIBILITY OF BODY .40E-01
REMANENCE (Q-FACTOR) OF BODY .00
YLOCATION OF BODY .00
YMIN OF BODY -200.00
YMAX OF BODY 300.00
BODY(2)
ANGLE OF BODY 65.00
ANOMALOUS DENSITY .00
SUSCEPTIBILITY OF BODY .54E-01
REMANENCE (Q-FACTOR) OF BODY .00
YLOCATION OF BODY .00
YMIN OF BODY -800.00
YMAX OF BODY 300.00
BODY(3)
ANGLE OF BODY 65.00
ANOMALOUS DENSITY .00
SUSCEPTIBILITY OF BODY .30E-01
REMANENCE (Q-FACTOR) OF BODY .00
YLOCATION OF BODY -300.00
YMIN OF BODY 800.00
YMAX OF BODY 800.00

DO YOU WANT TO CHANGE ANY PARAMETERS ? N

SURROUNDING DENSITY: .00
ALL DISTANCES ARE TO BE GIVEN IN METERS

BODY(1)

ANGLE OF BODY -30.0

ANOMALOUS DENSITY .00

SUSCEPTIBILITY: .400E-01

YMIN -200.00 YMAX 300.00

1 27977.14 152.86

2 28050.00 602.86

3 28294.29 600.00

4 28217.14 150.00

ANOMALOUS MASS=.000 MTON

TOTAL MASS=.000 MTON

BODY(2)

ANGLE OF BODY 65.0

ANOMALOUS DENSITY .00

SUSCEPTIBILITY: .540E-01

YMIN -800.00 YMAX 300.00

1 28788.57 59.86

2 28788.57 1182.71

3 29062.86 1182.86

4 29062.86 60.00

ANOMALOUS MASS=.000 MTON

TOTAL MASS=.000 MTON

BODY(3)

ANGLE OF BODY 65.0

ANOMALOUS DENSITY .00

SUSCEPTIBILITY: .300E-01

YMIN -300.00 YMAX 800.00

1 29331.43 60.00

2 29391.43 517.86

3 29674.29 514.29

4 29511.43 60.00

ANOMALOUS MASS=.000 MTON

TOTAL MASS=.000 MTON

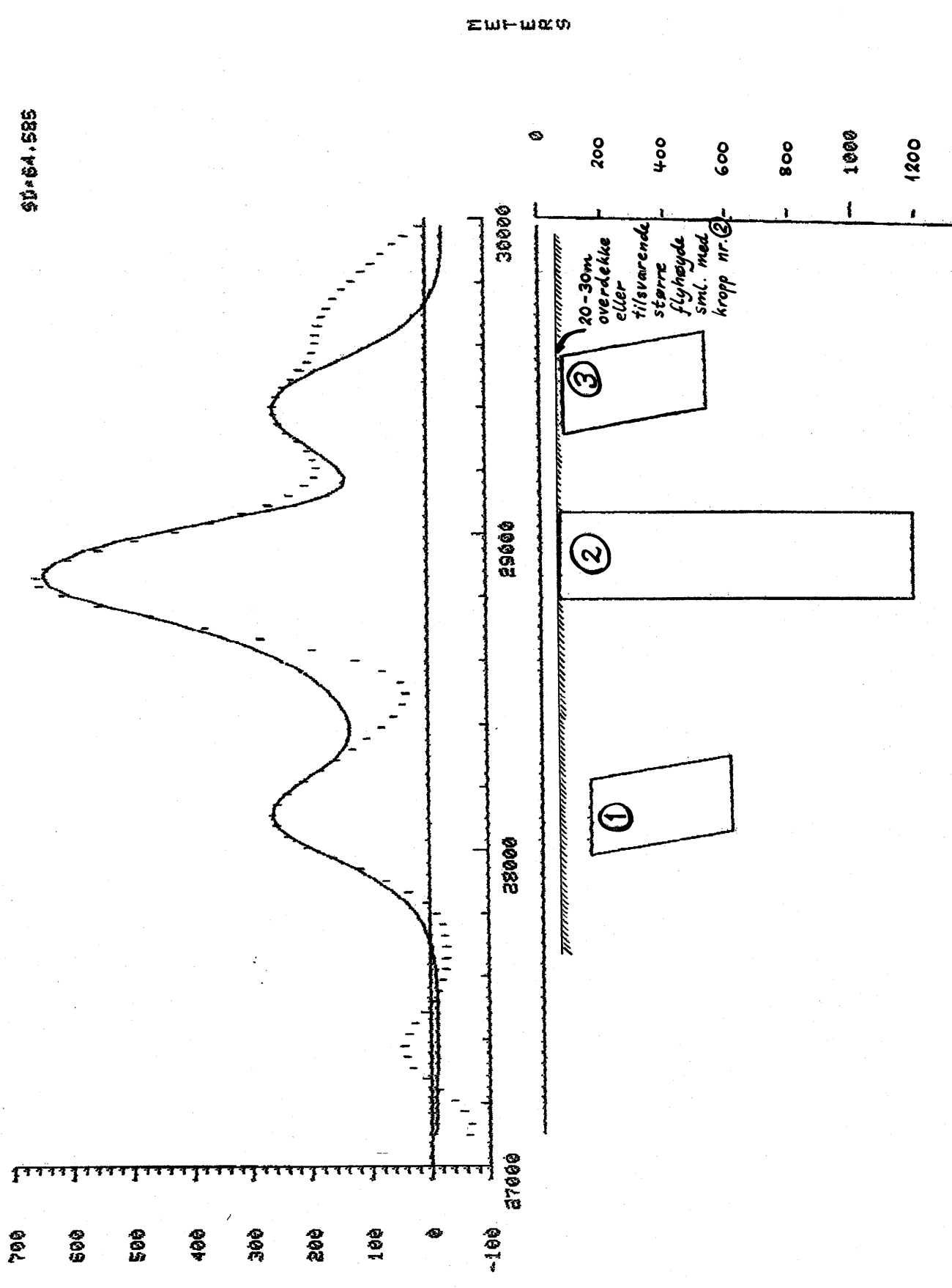
****COMMAND:

Kgl. 2034-4 Iesjøkka
PROFIL ⑥ - variant nr. 2.

XXXXCOMMAND:

METERS

\$P=64.585



1
NOT DEFINED COMMAND
***COMMAND:U

FROM BODY ? 1

TO BODY ? 3

MAGNETIC PARAMETERS :

BODY(1)	ANGLE OF BODY	65.0
	ANOMALOUS DENSITY	.00
	SUSCEPTIBILITY	.540E-01
	YMIN	-800.00
	1	28788.57
	2	28788.57
	3	29062.86
	4	29062.86
	ANOMALOUS MASS	.000 MTON
	TOTAL MASS	.000 MTON

***COMMAND:L

FROM BODY ? 1

TO BODY ? 3

SURROUNDING DENSITY:
ALL DISTANCES ARE TO BE GIVEN IN METERS
BODY(1)
ANGLE OF BODY -30.0
ANOMALOUS DENSITY .00
SUSCEPTIBILITY: .400E-01
YMIN -200.00 YMAX 300.00
1 27977.14 152.86
2 28050.00 602.86
3 28294.29 690.00
4 28217.14 150.00
ANOMALOUS MASS .000 MTON
TOTAL MASS .000 MTON

BODY(2)
ANGLE OF BODY 65.0
ANOMALOUS DENSITY .00
SUSCEPTIBILITY .540E-01
REMANENCE (Q-FACTOR) OF BODY .00
YLOCATION OF BODY .00
YMIN OF BODY -200.00
YMAX OF BODY -300.00
BODY(2)
ANGLE OF BODY 65.00
ANOMALOUS DENSITY .00
SUSCEPTIBILITY .540E-01
REMANENCE (Q-FACTOR) OF BODY .00
YLOCATION OF BODY .00
YMIN OF BODY -800.00
YMAX OF BODY -300.00
BODY(3)
ANGLE OF BODY 65.00
ANOMALOUS DENSITY .00
SUSCEPTIBILITY .300E-01
REMANENCE (Q-FACTOR) OF BODY .00
YLOCATION OF BODY .00
YMIN OF BODY -300.00
YMAX OF BODY 800.00
DO YOU WANT TO CHANGE ANY PARAMETERS ?

***COMMAND:
***COMMAND:

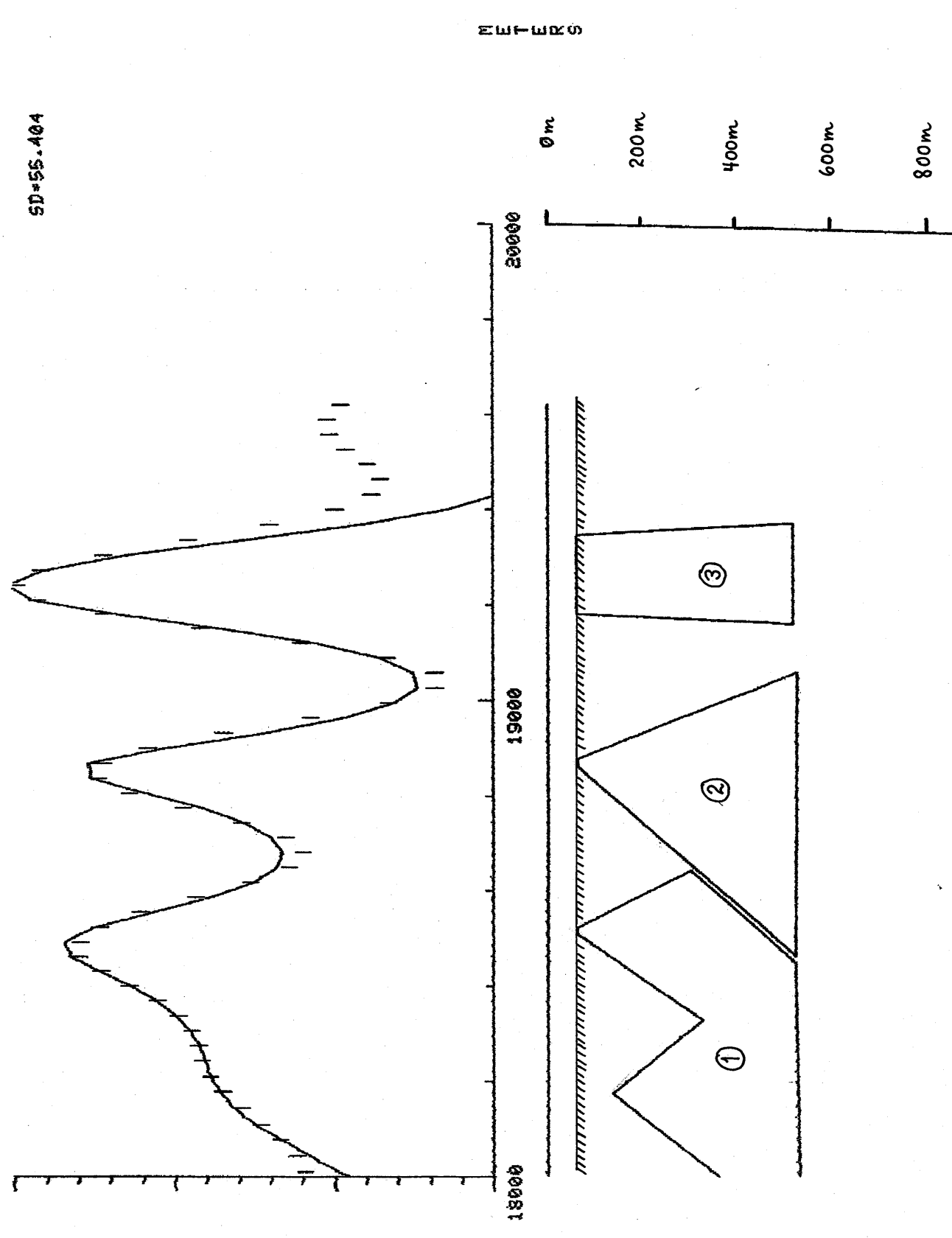
BODY(3)
ANGLE OF BODY 65.0
ANOMALOUS DENSITY .00
SUSCEPTIBILITY .300E-01
YMIN 1 -300.00 YMAX 800.00
2 29314.29 73.57
3 29391.43 527.86
4 29562.86 523.57
ANOMALOUS MASS .000 MTON
TOTAL MASS .000 MTON

kbl. 2033-4 Tešjakka
PROFIL ⑦

**ZONALISATION:

METERS

SD=55.404



ANGLE OF BODY -20.0
 ANOMALOUS DENSITY .00
 SUSCEPTIBILITY .300E-01
 YMIN -150.00 YMAX 700.00
 1 18860.00 62.86
 2 18460.00 525.71
 3 19057.14 528.57
 4 18877.14 62.86
 ANOMALOUS MASS - .000 MTON
 TOTAL MASS - .000 MTON

BODY(3) ANGLE OF BODY 45.0
 ANOMALOUS DENSITY .00
 SUSCEPTIBILITY .300E-01
 YMIN -125.00 YMAX 500.00
 1 19182.86 60.00
 2 19162.86 520.00
 3 19371.43 520.00
 4 19345.71 60.00
 ANOMALOUS MASS - .000 MTON
 TOTAL MASS - .000 MTON

*****COMMAND:U
 MODEL ? Y
 OUTPUT FILE ? LPNPR7MO
 HOW MANY BODIES ARE THERE IN YOUR MODEL ? 3
 *****COMMAND:I
 MAGNETIC PARAMETERS
 DEVIATION OF FIELD DATA 5.00
 TYPE OF XLENGTH M-1, KM-2 .1
 SURROUNDING DENSITY .00
 FIELD TO BE CALCULATED: TF
 TOTAL FIELD: 52800.
 INCLINATION: 77.49
 DECLINATION: 82.00
 XMIN: 13000. XMAX: 20000.
 DO YOU WANT TO CHANGE ANY PARAMETERS ?
 *****COMMAND:L
 FROM BODY ? 1
 TO BODY ? 3
 SURROUNDING DENSITY: .00
 ALL DISTANCES ARE TO BE GIVEN IN METERS
 BODY(1)
 ANGLE OF BODY 45.0
 ANOMALOUS DENSITY .300E-01
 SUSCEPTIBILITY .300E-01
 YMIN -500.00 YMAX 500.00
 1 18505.71 62.86
 2 18388.57 328.57
 3 18174.89 137.14
 4 17860.00 534.29
 5 18448.57 525.71
 6 18642.86 362.86
 ANOMALOUS MASS - .000 MTON
 TOTAL MASS - .000 MTON
 BODY(2)
 ANGLE OF BODY 45.00
 ANOMALOUS DENSITY .00
 SUSCEPTIBILITY .300E-01
 REMANENCE (Q-FACTOR) OF BODY .00
 YLOCATION OF BODY .00
 YMIN OF BODY -500.00
 YMAX OF BODY 500.00
 BODY(3)
 ANGLE OF BODY -20.00
 ANOMALOUS DENSITY .00
 SUSCEPTIBILITY .300E-01
 REMANENCE (Q-FACTOR) OF BODY .00
 YLOCATION OF BODY .00
 YMIN OF BODY -150.00
 YMAX OF BODY 700.00
 ANGLE OF BODY 45.00
 ANOMALOUS DENSITY .00
 SUSCEPTIBILITY .300E-01
 REMANENCE (Q-FACTOR) OF BODY .00
 YLOCATION OF BODY .00
 YMIN OF BODY -125.00
 YMAX OF BODY 500.00
 DO YOU WANT TO CHANGE ANY PARAMETERS ?
 *****COMMAND:

* ***COMMAND:

N S
E O T B S I R S
500
400
300
200
100
0
-100

kbl. 2033-4 Iesjäkka
PROFIL (8)

METERS

SD=46.543

METRES

21000
20000

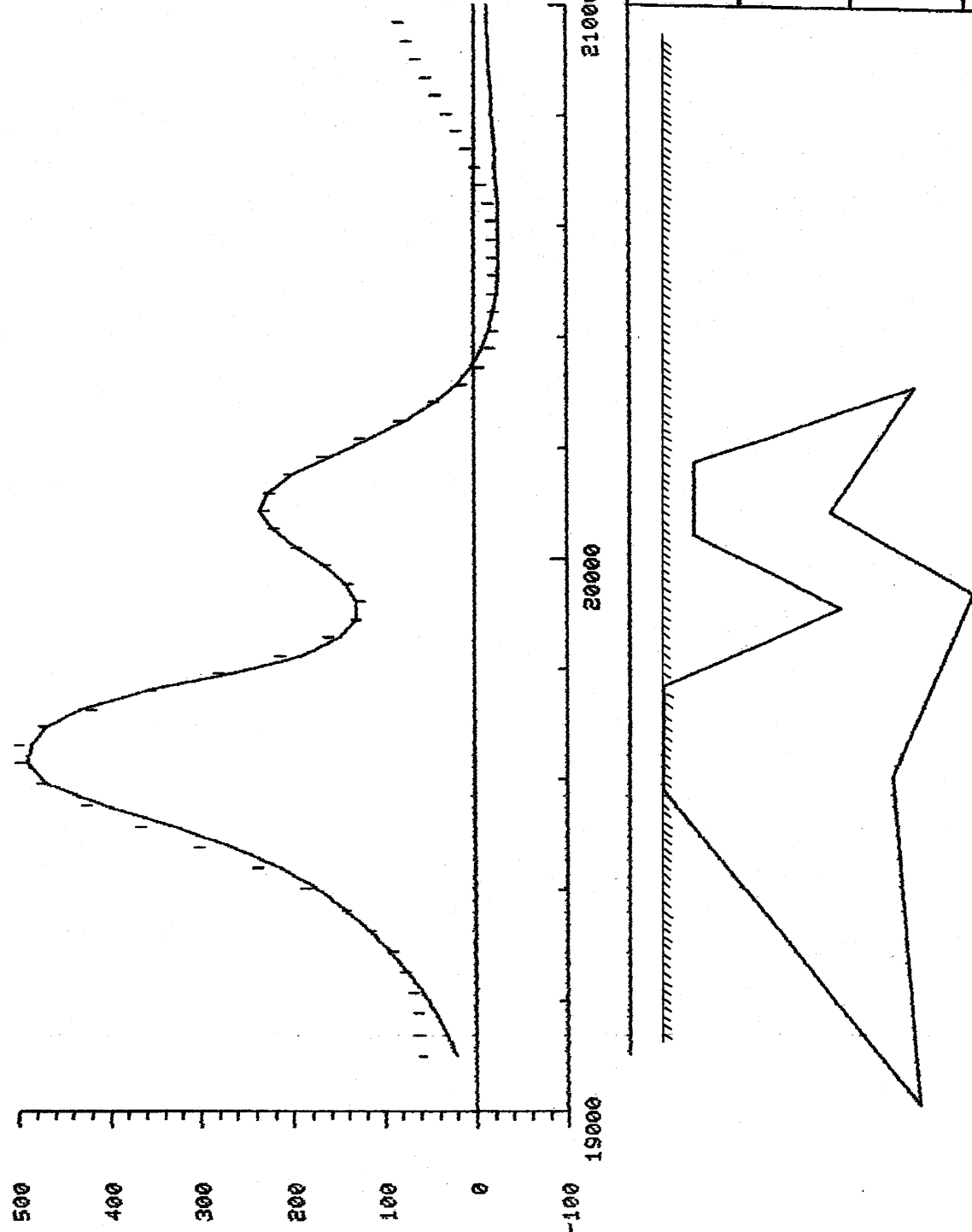
0 m

200m

400m

600m

800m



MAGNETIC PARAMETERS :
 BODY(1)
 ANGLE OF BODY .00
 ANOMALOUS DENSITY .00
 SUSCEPTIBILITY .01
 REMANENCE (A-FACTOR) OF BODY .27E-01
 LOCATION OF BODY .00
 YMIN OF BODY -400.00
 YMAX OF BODY 400.00
 DO YOU WANT TO CHANGE ANY PARAMETERS ?

*****COMMAND:I

MAGNETIC PARAMETERS
 DEVIATION OF FIELD DATA 5.00
 TYPE OF XLENGTH N=1, KM=2 .1
 SURROUNDING DENSITY .00
 FIELD TO BE CALCULATED: TF 52800.
 TOTAL FIELD: 77.40
 INCLINATION: 82.00
 DECLINATION:
 XMIN: 19000. XMAX: 21000.

DO YOU WANT TO CHANGE ANY PARAMETERS ?

*****COMMAND:L

FROM BODY ? 1

TO BODY ?

SURROUNDING DENSITY;
 ALL DISTANCES ARE TO BE GIVEN IN METERS
 BODY(1)
 ANGLE OF BODY .0
 ANOMALOUS DENSITY .00
 SUSCEPTIBILITY .270E-01
 YMAX .400.00 YMIN -400.00
 1 19577.14 60.00
 2 190008.57 522.86
 3 196000.00 472.14
 4 19934.29 617.14
 5 200082.86 357.86
 6 20308.57 511.43
 7 20174.29 114.29
 8 20042.86 114.29
 9 19908.57 377.14
 10 19765.71 60.00
 ANOMALOUS MASS- .000 MTON
 TOTAL MASS- .000 MTON

*****COMMAND:

kbl. 2033-4 Iesjåkka
PROFIL (1)

***COMMANDE:

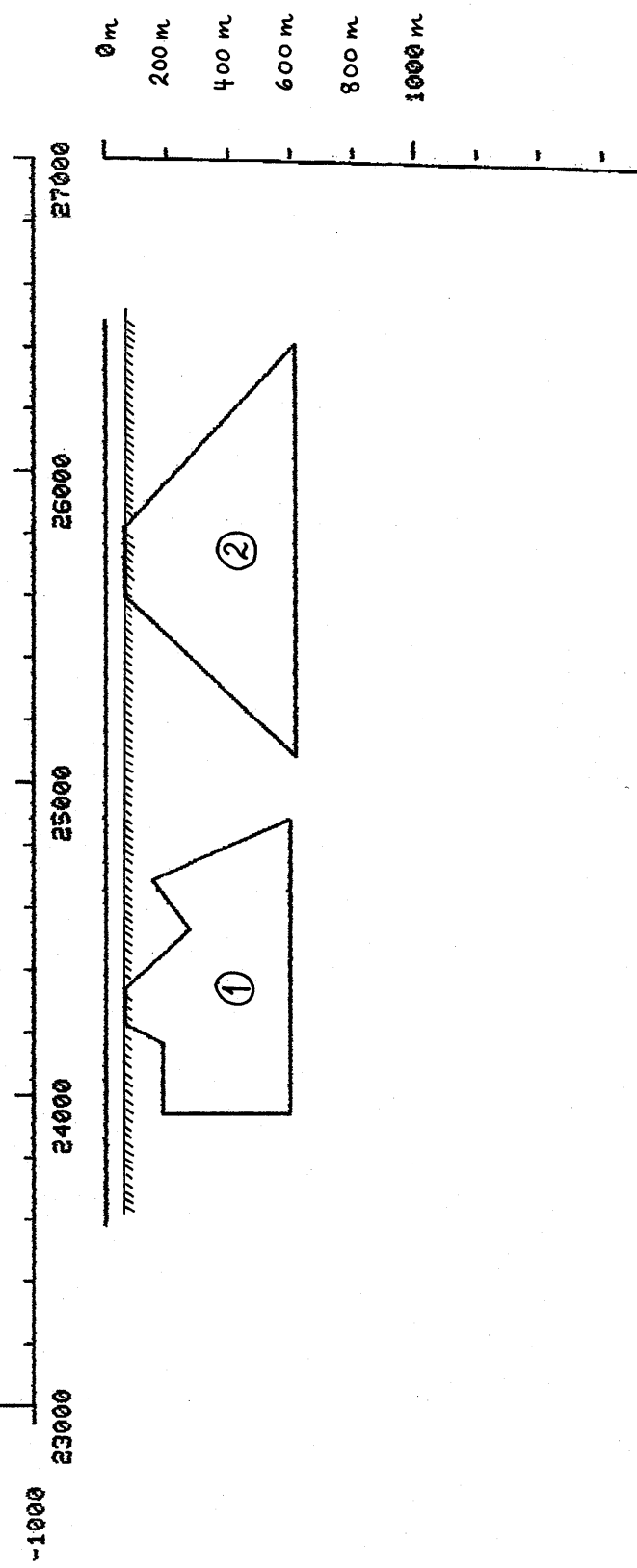
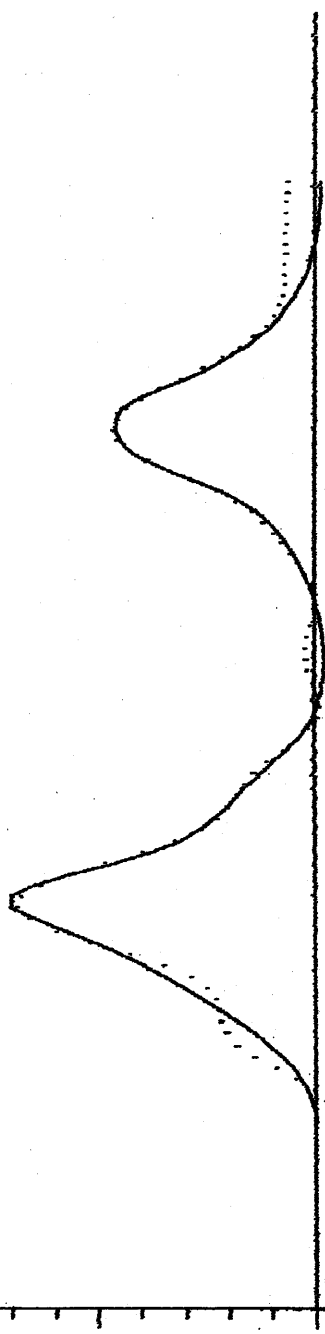
2000

1000

0

METERS

SD=65.149



NOT DEFINED COMMAND
 ***COMMAND:

NOT DEFINED COMMAND
 ***COMMAND:U

FROM BODY ? 1
 TO BODY ? 2

MAGNETIC PARAMETERS :

BODY(1)	ANGLE OF BODY	50.00
	ANOMALOUS DENSITY	.80E-01
	SUSCEPTIBILITY (Q-FACTOR) OF BODY	.80E-01
	REMANENCE (Q-FACTOR) OF BODY	.00
	LOCATION OF BODY	.00
	YMIN OF BODY	-400.00
	YMAX OF BODY	300.00

BODY(2)	ANGLE OF BODY	-33.00
	ANOMALOUS DENSITY	.48E-01
	SUSCEPTIBILITY (Q-FACTOR) OF BODY	.00
	REMANENCE (Q-FACTOR) OF BODY	.00
	LOCATION OF BODY	.00
	YMIN OF BODY	-400.00
	YMAX OF BODY	300.00

DO YOU WANT TO CHANGE ANY PARAMETERS ? N
 DO YOU WANT TO INPUT DATA ?
 DO YOU WANT TO CHANGE THE 0-LEVEL ?
 DO YOU WANT TO SAVE THIS ON A FILE ?
 DO YOU WANT TO CHANGE ANY PARAMETERS ?

***COMMAND:L

FROM BODY ? 1
 TO BODY ? 2

SURROUNDING DENSITY:
 ALL DISTANCES ARE TO BE GIVEN IN METERS
 BODY(1)

ANGLE OF BODY	50.0
ANOMALOUS DENSITY	.00
SUSCEPTIBILITY:	.800E-01
YMIN	-400.00
1	24225.71
2	24160.00
3	23942.86
4	23942.86
5	24882.86
6	24685.71
7	24528.57
8	24340.00

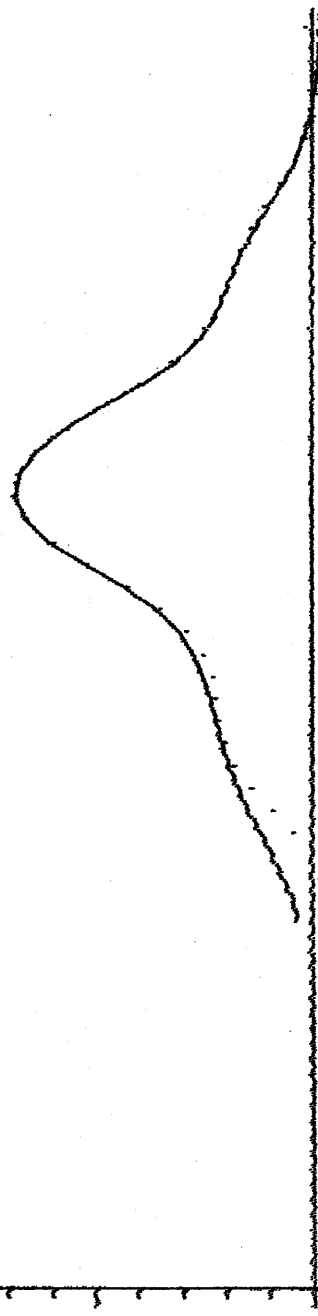
ANOMALOUS MASS:	.000 MTON
TOTAL MASS:	.000 MTON

BODY(2)	ANGLE OF BODY	-33.0
	ANOMALOUS DENSITY	.00

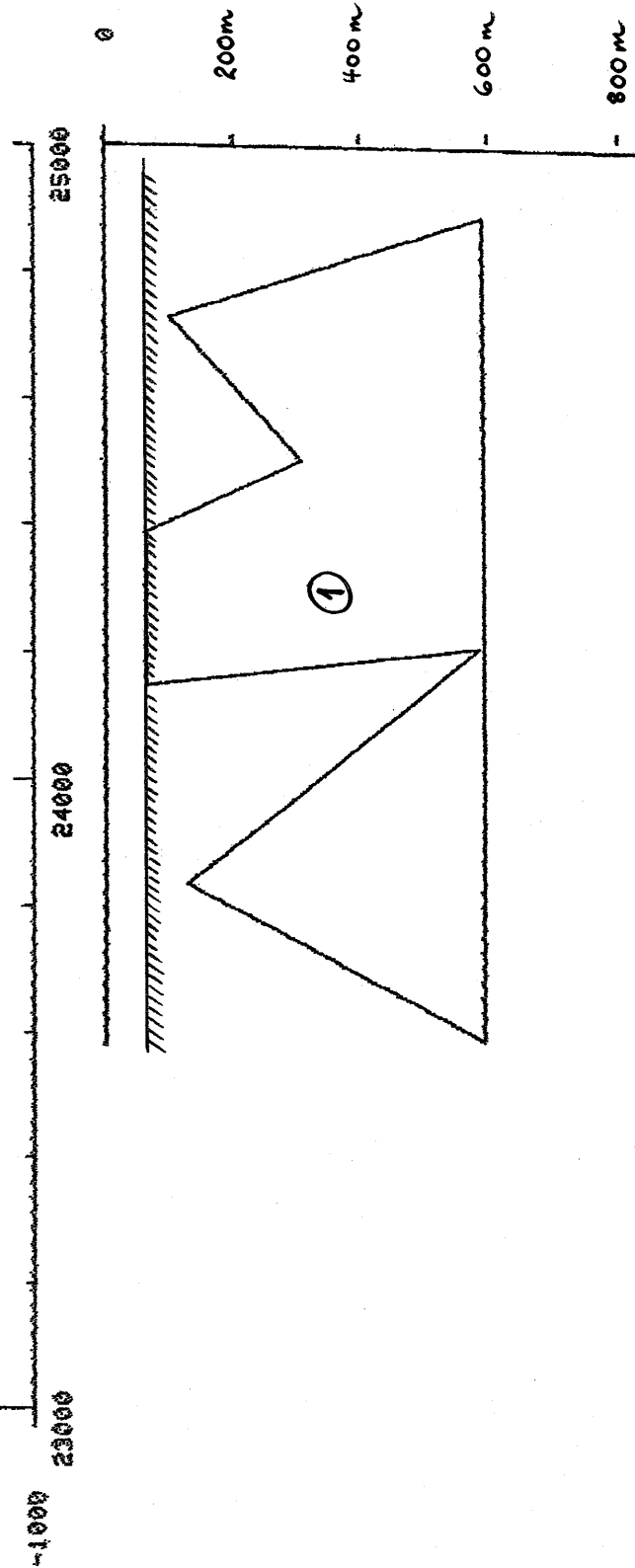
kbl. 2033-4 İeşjikka
PROFIL ⑨
vestre legeme

xxxxx commandi
2000
n a n o t s - s - s

SD*****



M E T E R S



TO BODY ?

MAGNETIC PARAMETERS :

BODY(1)
ANGLE OF BODY
ANOMALOUS DENSITY OF BODY
SUSCEPTIBILITY OF BODY
REMANENCE (G-FACTOR) OF BODY
RELATIONSHIP OF BODY
YMIN OF BODY
YMAX OF BODY
DO YOU WANT TO CHANGE ANY PARAMETERS ?

****COMMAND:U

MODEL ? Y

OUTPUT FILE ? LPNPRGMO

HOW MANY BODIES ARE THERE IN YOUR MODEL ? 4

****COMMAND:L

FROM BODY ? 1

TO BODY ? 1

SURROUNDING DENSITY: .000

ALL DISTANCES ARE TO BE GIVEN IN METERS

BODY(1)

ANGLE OF BODY 50.0

ANOMALOUS DENSITY .00

SUSCEPTIBILITY: .000E-01

YMIN -400.00 YMAX 400.00

1 24148.57 62.86

2 24200.00 588.57

3 23831.43 125.71

4 23582.86 597.14

5 24882.86 591.57

6 24725.71 100.00

7 24497.14 302.86

8 24388.57 662.86

ANOMALOUS MASS: .000 MTON

TOTAL MASS: .000 MTON

****COMMAND: I

MAGNETIC PARAMETERS

DEVIATION OF FIELD DATA .00

TYPE OF XLENGTH M=1, KM=2 1

SURROUNDING DENSITY .00

FIELD TO BE CALCULATED:

TOTAL FIELD: 52800.

INCLINATION: 77.16

DECLINATION: 82.00

XMIN: 23000. XMAX: 35000.

DO YOU WANT TO CHANGE ANY PARAMETERS ?

****COMMAND:U

FROM BODY ?

KBL. 2033-4 Ies:äkka
PROFIL (10)

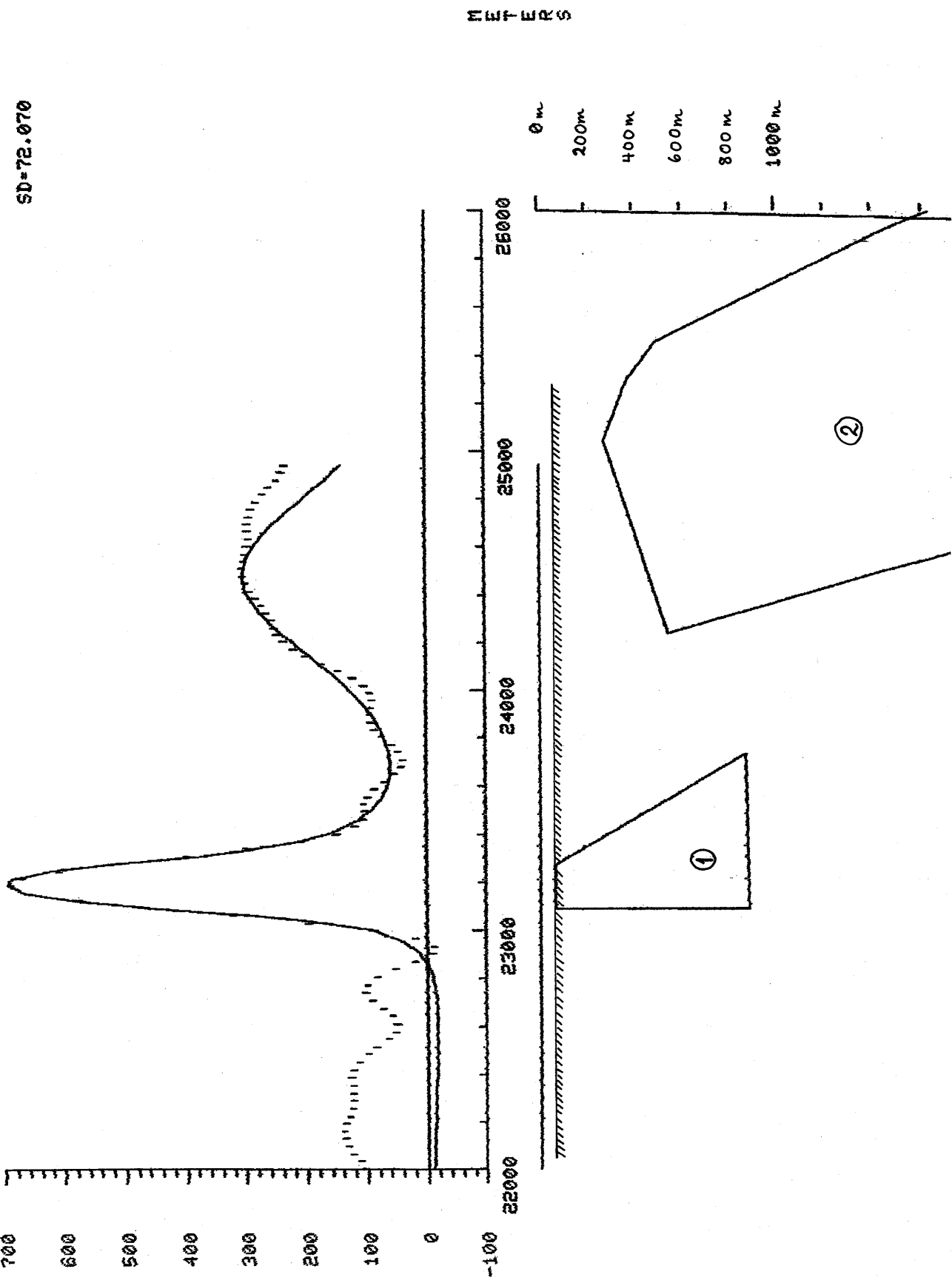
YKSKOMMAND:

700 600 500 400 300 200 100 0

-100 22000 23000 24000 25000 26000

METERS

SD=72.070



*****COMMAND:U

FROM BODY ? 1

TO BODY ? 2

MAGNETIC PARAMETERS :

BODY(1)	ANGLE OF BODY	-8.00
ANOMALOUS DENSITY	SUSCEPTIBILITY	.45E-01
REMANENCE (Q-FACTOR) OF BODY	YLOCATION OF BODY	.00
YMIN OF BODY	YMAX OF BODY	-150.00
		350.00
BODY(2)	ANGLE OF BODY	45.00
ANOMALOUS DENSITY	SUSCEPTIBILITY	.80E-01
REMANENCE (Q-FACTOR) OF BODY	YLOCATION OF BODY	.00
YMIN OF BODY	YMAX OF BODY	-250.00
		150.00

DO YOU WANT TO CHANGE ANY PARAMETERS ? P

BODY(2)	ANGLE OF BODY	45.00
ANOMALOUS DENSITY	SUSCEPTIBILITY	.80E-01
REMANENCE (Q-FACTOR) OF BODY	YLOCATION OF BODY	.00
YMIN OF BODY	YMAX OF BODY	-250.00
		150.00
		530.00
		1748.57
		17451.43
		25291.43
		371.43
		274.29
		274.00
		0.00
		ANOMALOUS MASS - .000 MTON
		TOTAL MASS - .000 MTON

*****COMMAND:I

MAGNETIC PARAMETERS	
DEVIATION OF FIELD DATA	5.00
TYPE OF XLENGTH M=1, KM=2	1
SURROUNDING DENSITY	.00
FIELD TO BE CALCULATED:	TF
TOTAL FIELD:	53800
INCLINATION:	77.40
DECLINATION:	82.00
XMIN: 2200.	XMAX: 2600.

DO YOU WANT TO CHANGE ANY PARAMETERS ? L

*****COMMAND:L

FROM BODY ? 1

TO BODY ? 2

SURROUNDING DENSITY: ⁰⁰
 ALL DISTANCES ARE TO BE GIVEN IN METERS
 BODY(1)
 ANGLE OF BODY -8.0
 ANOMALOUS DENSITY .00
 SUSCEPTIBILITY .450E-01
 YMIN -150.00 YMAX 350.00

kbl. 2033-4 Žesjákka
 PROFIL (11) VARIANT 1.
 ***COMMAND: N S N O T S S I S S

METERS

400

300

200

100

0

METERS

SD = 47,925

METERS

24000

23000

22000

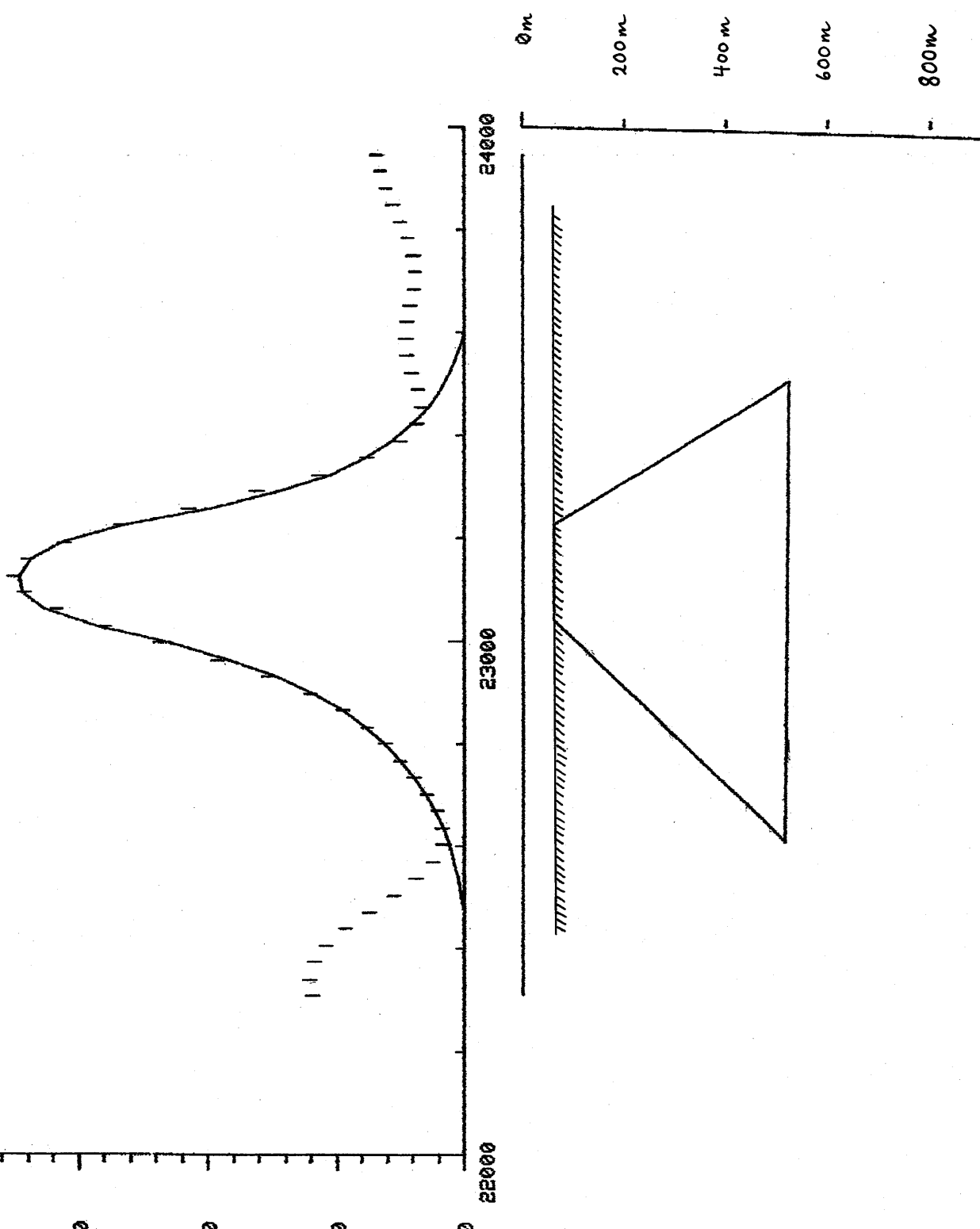
0m

200m

400m

600m

800m



*****NOT DEFINED COMMAND*****

FROM BODY ? 1

TO BODY ? 1

*****MAGNETIC PARAMETERS :

BODY(1)	ANGLE OF BODY	-8.00
ANOMALOUS DENSITY	SUSCEPTIBILITY OF BODY	.00
REMANENCE (Q-FACTOR) OF BODY	TYPE OF LENGTH M=1, KM=2	.18E-01
YLOCATION OF BODY	SURROUNDING DENSITY	1
YMIN OF BODY	FIELD TO BE CALCULATED:	.00
YMAX OF BODY	TOTAL FIELD:	52800
DO YOU WANT TO CHANGE ANY PARAMETERS ?	INCLINATION:	77.49
	XMIN:	82.00
	XMAX:	23948.

*****COMMAND:I

MAGNETIC PARAMETERS	DEVIATION OF FIELD DATA	5.00
	TYPE OF LENGTH M=1, KM=2	.00
	SURROUNDING DENSITY	1
	FIELD TO BE CALCULATED:	TF
	TOTAL FIELD:	52800.
	INCLINATION:	77.49
	XMIN:	82.00
	XMAX:	23948.

DO YOU WANT TO CHANGE ANY PARAMETERS ?

*****COMMAND:L

FROM BODY ? 1

TO BODY ? 1

SURROUNDING DENSITY: .00
ALL DISTANCES ARE TO BE GIVEN IN METERS

BODY(1)

ANGLE OF BODY -8.0

ANOMALOUS DENSITY .00

SUSCEPTIBILITY: .180E-01

YMAX -350.00

YMIN 1 23040.00

2 22605.71

3 23508.57

4 23225.71

ANOMALOUS MASS: .000 MTON

TOTAL MASS: .000 MTON

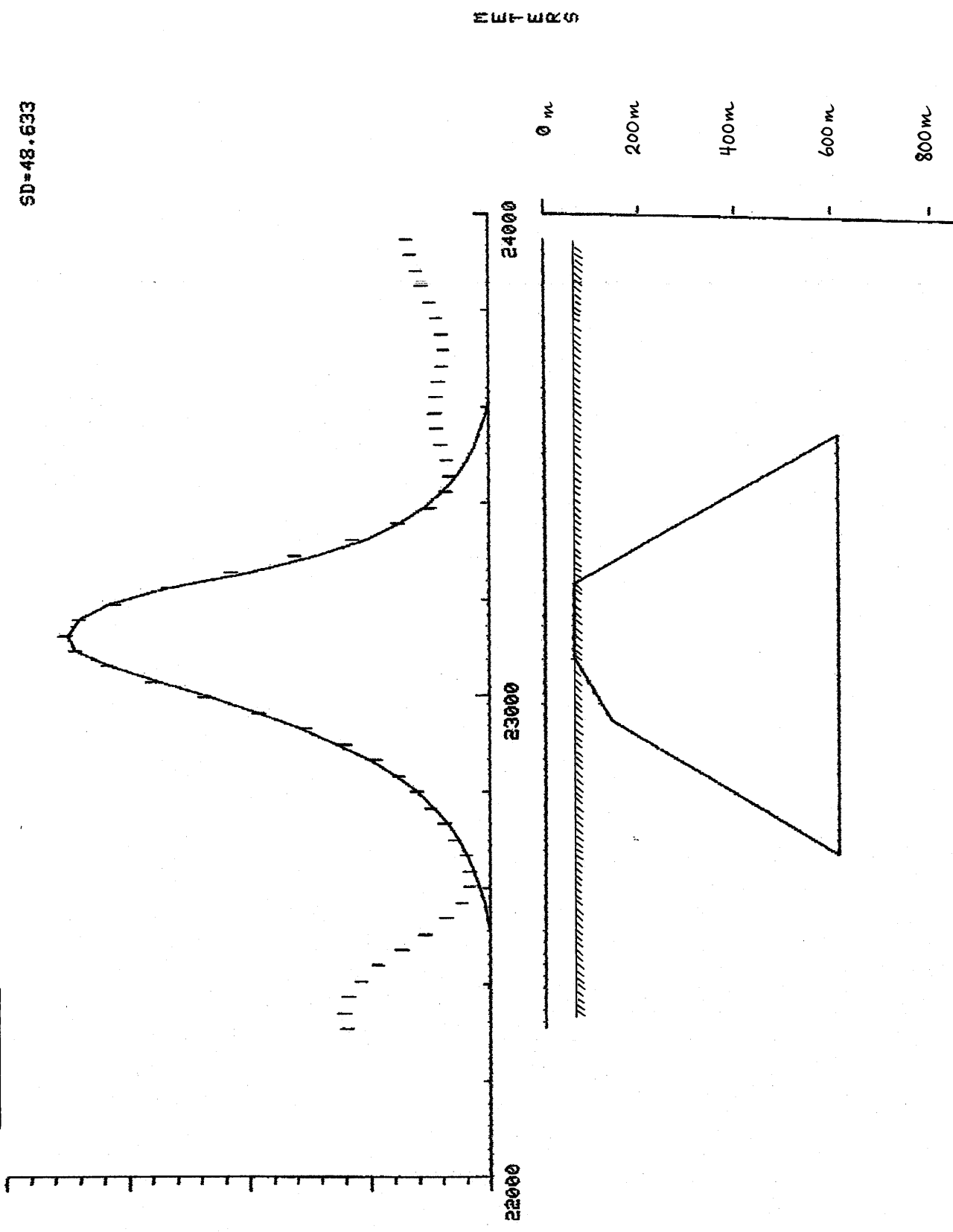
*****COMMAND:

Kbl. 2033-4 Tešjäkka
PROFIL (1) METERS

VARIANT 2.

*****COMMAND:
N S N O T B S - M S

SD=48.633



*****COMMAND:I

MAGNETIC PARAMETERS
 DEVIATION OF FIELD DATA 5.00
 TYPE OF XLENGTH M=1. KM=2 .1
 SURROUNDING DENSITY .00
 FIELD TO BE CALCULATED: TF .00
 TOTAL FIELD: 52800
 INCLINATION: 77.40
 DECLINATION: 82.00
 XMIN: 22309. XMAX: 23948.

DO YOU WANT TO CHANGE ANY PARAMETERS ?

*****COMMAND:U

FROM BODY ? 1
 TO BODY ? 1

MAGNETIC PARAMETERS :

BODY(1)	ANGLE OF BODY	.00
	ANOMALOUS DENSITY	.00
	SUSCEPTIBILITY OF BODY	.18E-01
	REMANENCE (Q-FACTOR) OF BODY	.00
	YLOCATION OF BODY	.00
	YMIN OF BODY	-300.00
	YMAX OF BODY	300.00

DO YOU WANT TO CHANGE ANY PARAMETERS ?

*****COMMAND:L

FROM BODY ? 1
 TO BODY ? 1

SURROUNDING DENSITY: .00
 ALL DISTANCES ARE TO BE GIVEN IN METERS

BODY(1)	ANGLE OF BODY	.0
	ANOMALOUS DENSITY	.00
	SUSCEPTIBILITY:	1800E-01
	YMIN	-300.00
1	YMAX	300.00
	1	23077.14
2	22948.57	137.14
3	22665.71	614.29
4	22342.86	614.29
5	22231.43	60.00
	ANOMALOUS MASS= .000 MTON	
	TOTAL MASS= .000 MTON	

kbl. 2033-4 Tiesikkä
PROFIL (12)

VARIANT 1.

*****COMMAND:

400

300

200

100

0

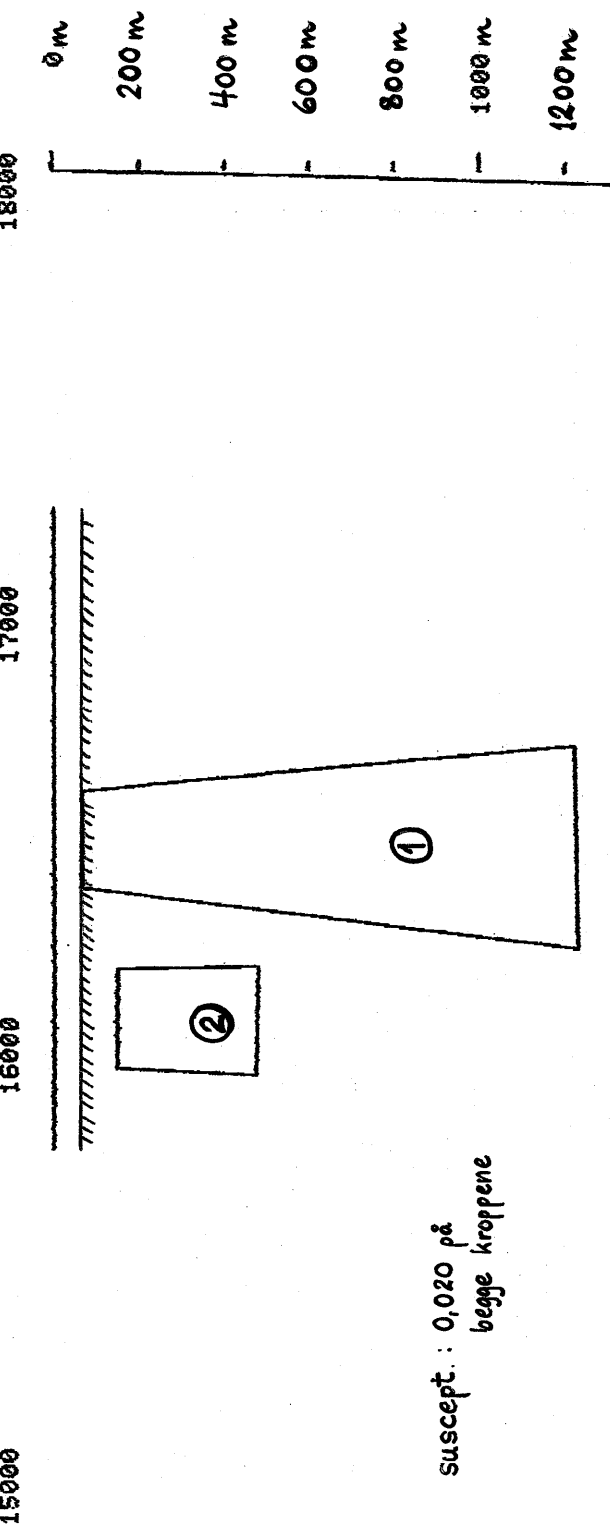
n o t e s

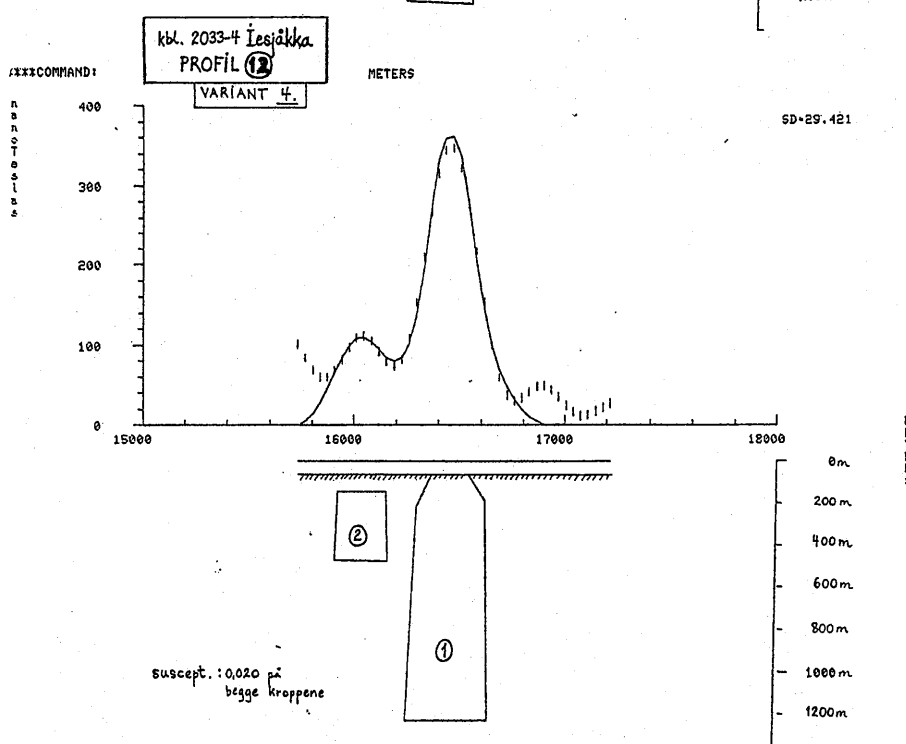
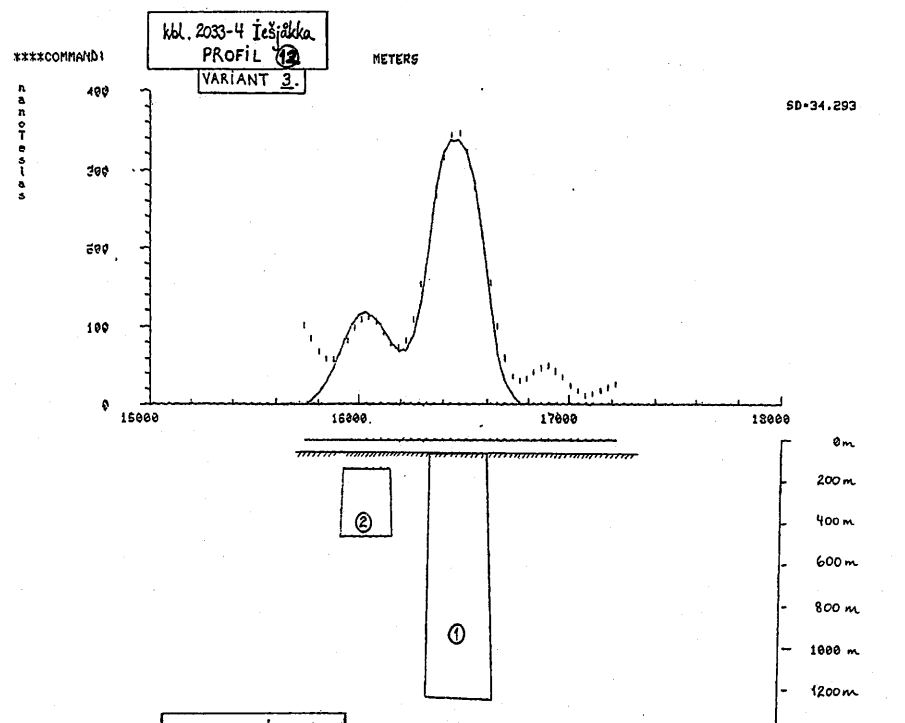
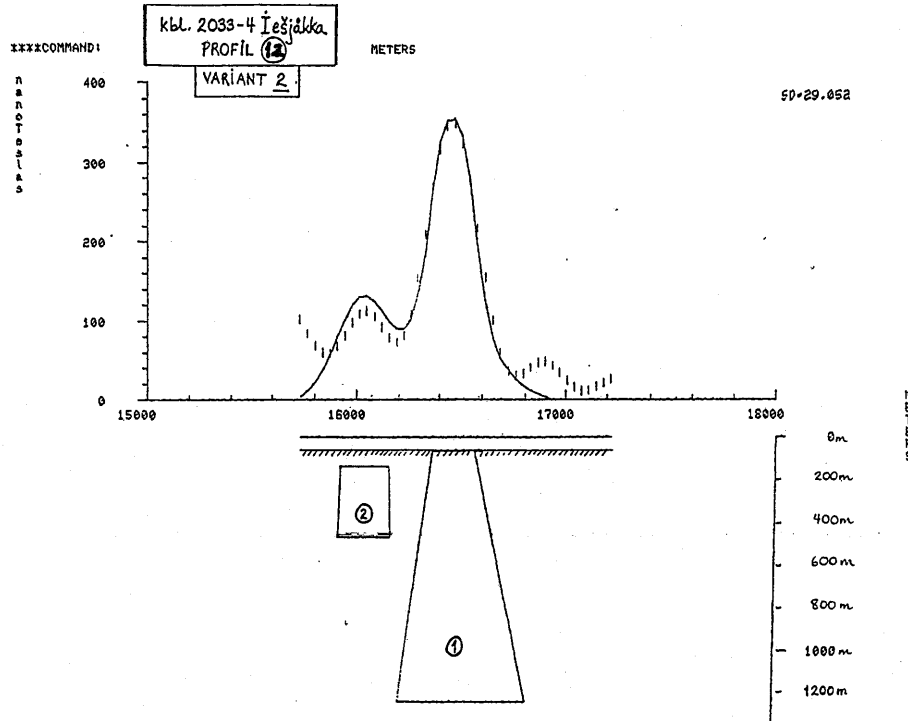
METERS

SD=28.814

METERS

(86)





****COMMAND:I

MAGNETIC PARAMETERS
 DEVIATION OF FIELD DATA 5.00
 TYPE OF XLENGTH M1,KM=2 .1
 SURROUNDING DENSITY .00
 FIELD TO BE CALCULATED: TF
 TOTAL FIELD: 52800.
 INCLINATION: 77.40
 DECLINATION: 82.00
 XMIN: 15731. XMAX: 17219.

DO YOU WANT TO CHANGE ANY PARAMETERS ? V

****COMMAND:U

FROM BODY ? 1

TO BODY ? 2

MAGNETIC PARAMETERS :
 BODY(1)
 ANGLE OF BODY 1.00
 ANOMALOUS DENSITY .00
 SUSCEPTIBILITY OF BODY .19E-01
 REMANENCE (Q-FACTOR) OF BODY .00
 YLOCATION OF BODY .00
 YMIN OF BODY -500.00
 YMAX OF BODY 900.00
 BODY(2)
 ANGLE OF BODY -20.00
 ANOMALOUS DENSITY .00
 SUSCEPTIBILITY OF BODY .20E-01
 REMANENCE (Q-FACTOR) OF BODY .00
 YLOCATION OF BODY .00
 YMIN OF BODY -150.00
 YMAX OF BODY 250.00
 DO YOU WANT TO CHANGE ANY PARAMETERS ?

****COMMAND:L

FROM BODY ? 1

TO BODY ? 2

SURROUNDING DENSITY: .00
 ALL DISTANCES ARE TO BE GIVEN IN METERS
 BODY(1)
 ANGLE OF BODY 1.0
 ANOMALOUS DENSITY .00
 SUSCEPTIBILITY: .190E-01
 YMIN -500.00 YMAX 900.00

Profil 12,
 variant 2

****COMMAND:I

MAGNETIC PARAMETERS
 DEVIATION OF FIELD DATA 3.00
 TYPE OF XLENGTH M1,KM=2 .1
 SURROUNDING DENSITY .00
 FIELD TO BE CALCULATED: TF
 TOTAL FIELD: 52800.
 INCLINATION: 77.40
 DECLINATION: 82.00
 XMIN: 15731. XMAX: 17219.

DO YOU WANT TO CHANGE ANY PARAMETERS ?

****COMMAND:L

FROM BODY ? 1

TO BODY ? 2

SURROUNDING DENSITY: .00
 ALL DISTANCES ARE TO BE GIVEN IN METERS
 BODY(1)
 ANGLE OF BODY 1.0
 ANOMALOUS DENSITY .00
 SUSCEPTIBILITY: .200E-01
 YMIN -500.00 YMAX 900.00
 1 15337.14 66.00
 2 15311.43 123.00
 3 15615.71 123.57
 4 16598.57 66.00
 5 16882.86 66.29
 6 16597.14 66.57
 ANOMALOUS MASS=.000 MTON
 TOTAL MASS=.000 MTON

BODY(2)
 ANGLE OF BODY -20.0
 ANOMALOUS DENSITY .00
 SUSCEPTIBILITY: .200E-01
 YMIN -150.00 YMAX 250.00
 1 15921.43 135.71
 2 15904.29 460.00
 3 16152.86 461.43
 4 16148.57 135.71
 ANOMALOUS MASS=.000 MTON
 TOTAL MASS=.000 MTON

****COMMAND:

NOT DEFINED COMMAND

****COMMAND:U

FROM BODY ? 1

TO BODY ? 2

MAGNETIC PARAMETERS :
 BODY(1)
 ANGLE OF BODY 1.00
 ANOMALOUS DENSITY .00
 SUSCEPTIBILITY OF BODY .20E-01
 REMANENCE (Q-FACTOR) OF BODY .00
 YLOCATION OF BODY .00
 YMIN OF BODY -500.00
 YMAX OF BODY 900.00
 BODY(2)
 ANGLE OF BODY -20.00
 ANOMALOUS DENSITY .00
 SUSCEPTIBILITY OF BODY .20E-01
 REMANENCE (Q-FACTOR) OF BODY .00
 YLOCATION OF BODY .00
 YMIN OF BODY -150.00
 YMAX OF BODY 250.00
 DO YOU WANT TO CHANGE ANY PARAMETERS ?

Profil 12,
 variant 3.

METERS

kbl. 2033-4 Iešjäkka
PROFIL (13)

*****COMMAND:

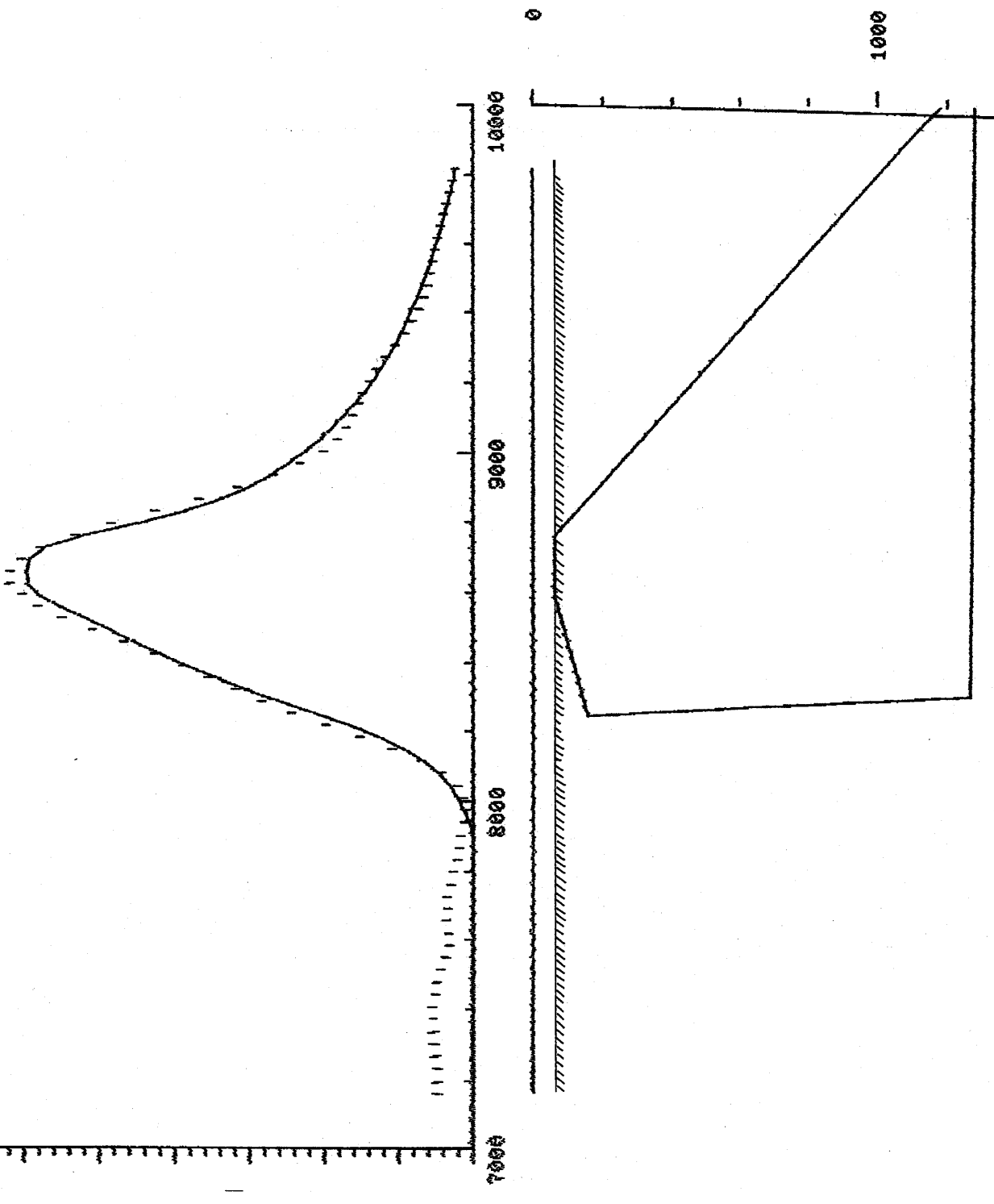
n d n o t e s l a s
750 600 500 400 300 200 100 0
m m m m m m m m

SD=30.589

METERS

10000
9000
8000
7000
6000
5000
4000
3000
2000
1000
0

1000



****COMMAND:U

FROM BODY ? 1
TO BODY ? 1

MAGNETIC PARAMETERS :

BODY(1)
ANGLE OF BODY .1.00
ANOMALOUS DENSITY .000
SUSCEPTIBILITY .25E-01
REMANENCE (Q-FACTOR) OF BODY .00
YLOCATION OF BODY .00
YMIN OF BODY -.500 .00
YMAX OF BODY .400 .00
DO YOU WANT TO CHANGE ANY PARAMETERS ? 1

****COMMAND:I

MAGNETIC PARAMETERS
DEVIATION OF FIELD DATA 5.00
TYPE OF XLENGTH M-1.KM-2 1
SURROUNDING DENSITY .00
FIELD TO BE CALCULATED: TF
TOTAL FIELD: 52800.
INCLINATION: 77.40
DECLINATION: 82.00
XMIN: ?161. XMAX: 9819.

DO YOU WANT TO CHANGE ANY PARAMETERS ?

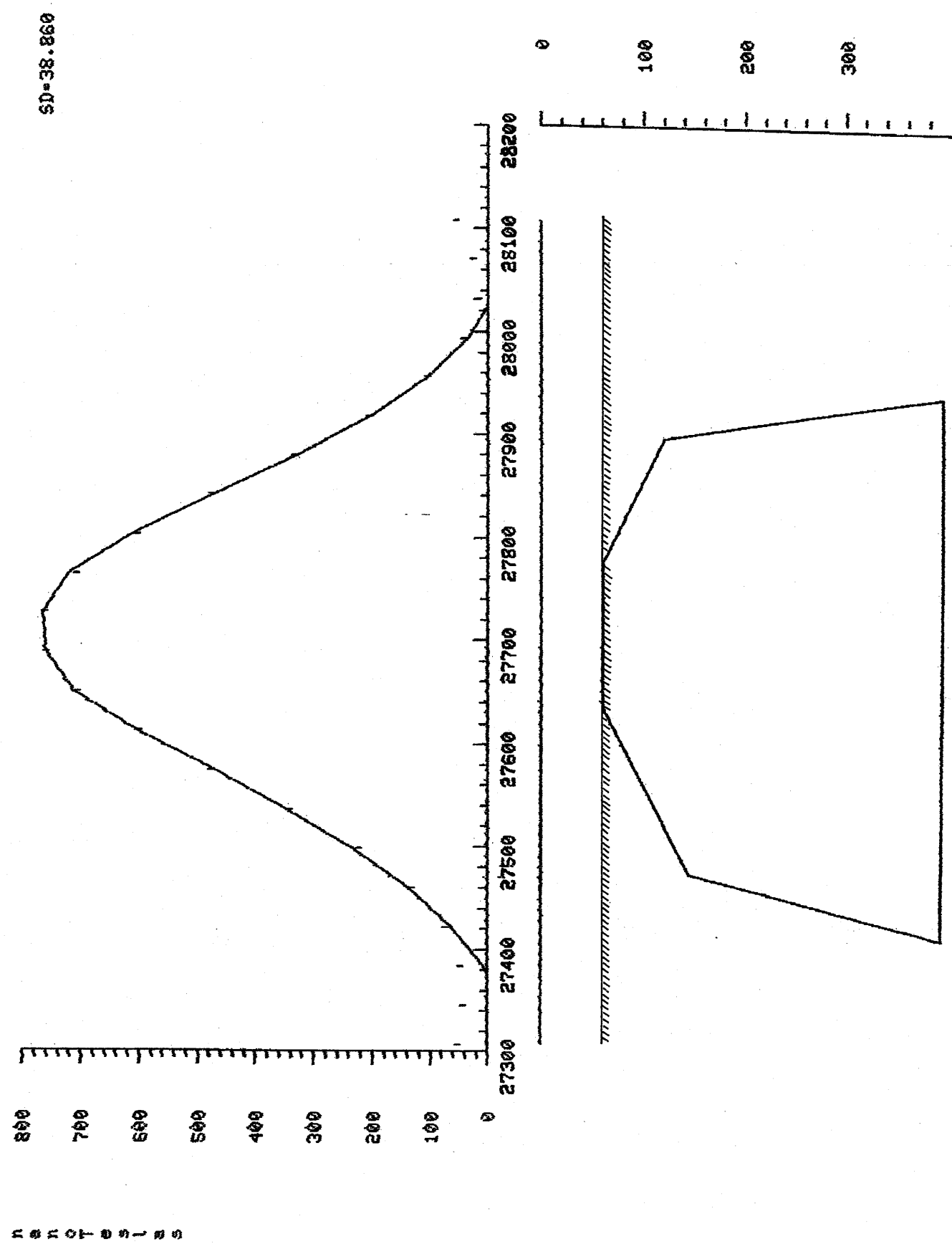
****COMMAND:L

FROM BODY ? 1
TO BODY ? 1

SURROUNDING DENSITY: .00
ALL DISTANCES ARE TO BE GIVEN IN METERS
BODY(1)
ANGLE OF BODY 1.0
ANOMALOUS DENSITY .250E-01
SUSCEPTIBILITY .00
YMIN -.500 .00 YMAX .400 .00
1 8594.29 59.71
2 8242.86 154.00
3 8298.57 1259.71
4 10107.14 1276.86
5 8757.14 59.71
ANOMALOUS MASS = .000 MTON
TOTAL MASS = .000 MTON

ΣΕΛΙΔΑ 9

91



****COMMAND: I

MAGNETIC PARAMETERS DATA
 DEVIATION OF FIELD DATA 5.00
 TYPE OF LENGTH M-1, KM-2 1
 SURROUNDING DENSITY .00
 FIELD TO BE CALCULATED: TF .00
 TOTAL FIELD: 52800.
 INCLINATION: 77.40
 DECLINATION: 82.00
 XMIN: 2730? . XMAX: 2810?

DO YOU WANT TO CHANGE ANY PARAMETERS ?

****COMMAND: L

FROM BODY ? 1

TO BODY ? 1

SURROUNDING DENSITY: .00
 ALL DISTANCES ARE TO BE GIVEN IN METERS
 BODY(1)

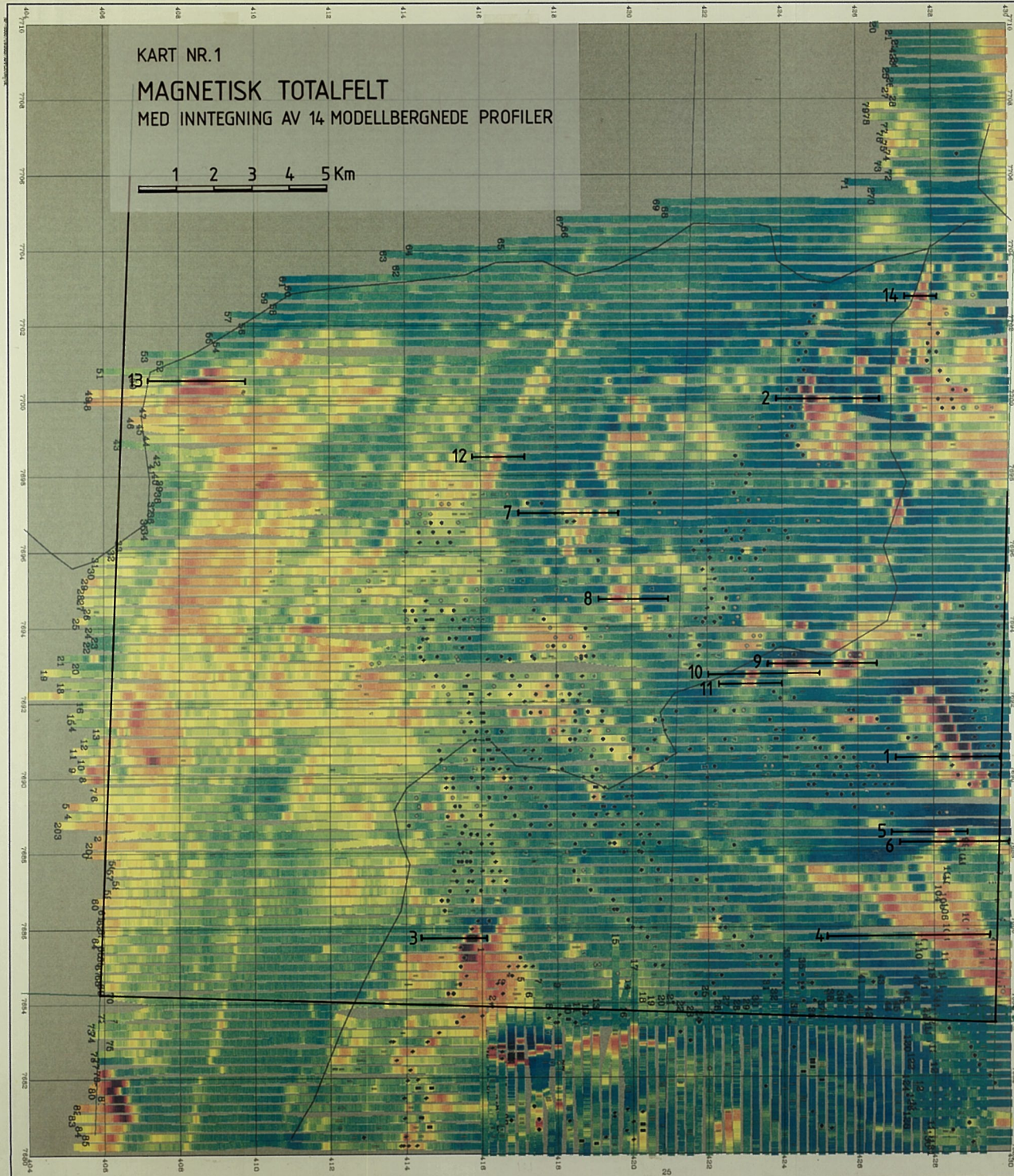
	ANGLE OF BODY	-20.0
1	ANOMALOUS DENSITY	.00
	SUSCEPTIBILITY:	500E-01
	YMIN	-600.00
	YMAX	600.00
2	27472.29	69.43
3	27466.71	142.71
4	27935.14	390.86
5	27895.29	392.14
6	27774.43	119.57
	ANOMALOUS MASS:	69.43
	TOTAL MASS:	.000 MTON

KART NR.1

MAGNETISK TOTALFELT

MED INNTEGNING AV 14 MODELLBERGNDE PROFILER

1 2 3 4 5 Km



MAGNETISK TOTALFELT

HELIKOPTERDATA 1980–1983

KARASJOK–omr. sør

FINNMARK fylke

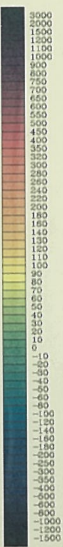
UTM-zone 35

UTM-zone 35

Hver 2. registrering benyttes

Regional gradient fjernet

TILLEGGET EM-indikasjoner

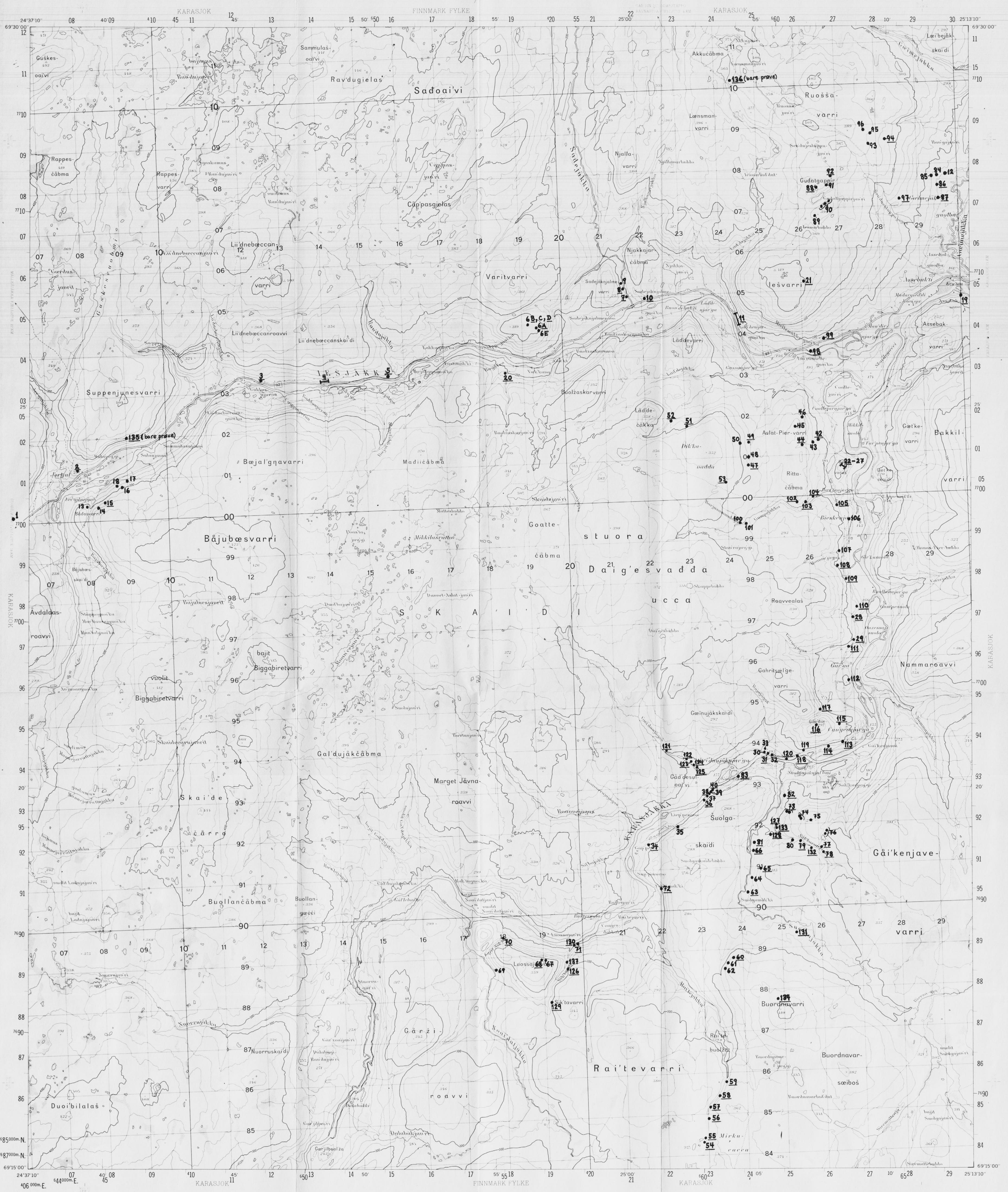


ORTOGNOSTISK KART

NGU 1984

IEŠJÄKKA

2033 IV



Målestokk, Scale 1:50 000

NGU - FINNMARKSPROGRAMMET
LOKALITETER FOR IN-SITU MAGNETISKE
SUSCEPTIBILITETSMÅLINGER OG KNAKKPRØVER
TIL SUSCEPTIBILITETS OG TETTHETSMÅLINGER
I PETROFYSISK LABORATORIUM.
PROVLEOKALITETENE ER UNDERSTREKET.
KBL. IEŠJÄKKA, FINNMARK

MÅLESTOKK	OBS.RB,JS,LPN	1985
TEGN.LPN		1985
1: 50 000	TRAC.	1988
	KFR.	

NORGES GEOLGIKSE UNDERSØKELSE
TRONDHEIM

TEGNING NR. KARTBLAD NR.
KART NR. 2 2033 IV

TOLKNING AV MAGNETISKE STRUKTURER OG ELEKTROMAGNETISKE LEDERE

MAGNETISKE BÅND

- distinkte overflatenære
- dype
- diffuse
- diskordante (ganglike anomalimønstre)

INTERNE STRUKTURER I OMRÅDER MED UREGELMESSIGE ANOMALIMØNSTRE

- diffuse, sterke
- diffuse, svake

0 1 2 3 4 5 km

MAGNETISKE KONTAKTER

- distinkte
- diffuse
- diskordante

E.M. LEDERE

- distinkte
- diffuse

STRØK / FALL

- modellberegnet verdi
- fallretning tolket ut fra kurveform

